#### BENEDITO GUIMARÃES AGUIAR NETO

# MULTIPLEX ADAPTATIVO POR DIVISÃO EM CÓDI GOS COM CONTROLE HÍBRIDO DE ERROS ARQ/FEC

Tese de Mestrado apresentada à Coordenação Setorial de Pós-Graduação e Pesquisa da Pró-Reitoria para Assuntos do Interior da Universidade Federal da Paraíba, em cumprimento às exigências para obtenção do Grau de Mestre em Ciências.



A282m Aguiar Neto, Benedito Guimarães.

Multiplex adaptativo por divisão em códigos com controle híbrido de erros Arq/Fec / Benedito Guimarães Aguiar Neto. - Campina Grande, 1982. 160 f.

Dissertação (Mestrado em Ciências) - Universidade Federal da Paraíba, Centro de Ciências e Tecnologia, 1982. "Orientação: Prof. Dr. Ivan Rocha Neto". Referências.

1. Sistema de Multiplexação. 2. Sistemas de Comunicação. 3. Controle Híbrido de Erros. 4. Multiplexação Digital. 5. Ciências - Dissertação. I. Rocha Neto, Ivan. II. Universidade Federal da Paraíba - Campina Grande (PB). III. Título

CDU 004.312.24(043)



# CPOEE/CCT-UFP6

COORDENAÇÃO DE PÓS-GRADUAÇÃO EM ENGENHARIA ELÉTRICA CENTRO DE CIÊNCIAS E TECNOLOGIA UNIVERSIDADE FEDERAL DA PARAÍBA

# PARECER FINAL DO JULGAMENTO DA DISSERTAÇÃO DO MESTRANDO BENEDITO GUIMARÃES AGUIAR NETO

TITULO: "Multiplex Adaptativo por Divisão em Códigos com Controle Híbrido de Erros".

CONCEITO: APROVADO COM DISTINÇAS

COMISSÃO EXAMINADORA:

PROF. IVAN ROCHA NETO - Ph.D

- Presidente -

PROF. JOBERTO SERGIO BARBOSA MARTINS - M.Sc

PROF. GURDIP SINGH DEEP - Ph.D

PROFI JOSÉ HOMERO FEITOSA CAVALCANTI - M.SC

Campina Grande, 04 de fevereiro de 1982.

Aos meus Pais.

A minha esposa Virginia
e ao meu filho Cristhiano,
dedico este trabalho.

Os que com lagrimas semeiam com jübilo ceifarão. Quem sai andando
e chorando enquanto se
meia voltara com jübilo
trazendo os seus feixes.

(Salmos 126: 5,6)

#### AGRADECIMENTOS

Aos professores Dr. Ivan Rocha Neto e Joberto Sérgio Barbosa Martins, os mais sinceros agradecimen tos pelo incentivo, apoio e amizade demonstrados na orientação deste trabalho. Ainda ao Prof. José Homero F. Cavalcanti pela ajuda prestada no desenvolvimento do Software.

#### **ABSTRACT**

This thesis presents the hardware and software implementation of a Coding Division Multiplexing System with hybrid error control. An adaptative exchange of channel capacity and error control capability is used in order to avoid the allocation of extra redundant bits. A greater NDT with respect to ARQ systems and a greater reliability with respect to FEC systems is achieved. A walsh function variable redundant code is used.

The hardware and software details together with the theoretical conceptsion and results obtained for the system are presented.

#### **RESUMO**

Este trabalho apresenta a implementação em "Hardware" e "Software "de um sistema de multiplexação por Divisão em Códigos com Controle Híbrido de Erros. É feita uma troca adaptativa da capacidade de canal por capacidade de controle de erros, de modo a evitar-se alocações extras no tempo de transmissão. É obtido um sistema com maior NDT que um sistema ARQ e maior confiabilidade que um sistema FEC. É utilizado um código de redundância variável baseado nas funções de Walsh.

É apresentada uma descrição do "hardware" e "software" juntamente com a concepção teórica do sistema e resultados ob tidos.

#### INDICE

		Página		
CAPÍTULO	I - INTRODUÇÃO	01		
CAPÍTULO	II - MULTIPLEXAÇÃO DIGITAL	04		
2.1 -	Introdução			
2.2 -	Multiplexação por Divisão em Freqüência	06		
2.3 -	Multiplexação por Divisão em Tempo 2.3.1 - Multiplexação por Divisão em Tempo Sín	08		
	crona	10		
	sincrona	11		
2.4 -	Multiplexação por Divisão em Códigos	13		
CAPÍTULO	III - CONTROLE DE ERROS	16		
3.1 -	Introdução	16		
3.2 -	Considerações sobre Códigos	17		
	3.2.1 - Proteção da Informação 3.2.2 - Considerações sobre Códigos-Bloco Li	17		
	neares	18		
	3.2.3 - Capacidade de Deteção e/ou Correção de Erros	20		
	3.2.4 - Eficiência de Códigos-Bloco	20		
2 2		23		
3.3 -	Técnicas de Controle de Erros  3.3.1 - Correção por Retransmissão - ARQ	23		
	3.3.1.1 - Sistemas Transmite-e-Espera	25		
	3.3.1.2 - Sistemas Continuos	27		
	i) Sistemas "GO-BACK-N"	28		
	ii) Sistemas Seletivos	30		
	3.3.2 Correção Direta - FEC	31,		
	3.3.3 - ARO versus FEC	32		

CAPÍTULO I	TV - MULTIPLEX ADAPTATIVO POR DIVISÃO EM CÓ	
46	DIGOS COM CONTROLE HÍBRIDO DE ERROS	
	ARQ/FEC	34
4.1 - 1	Introdução	34
	Processo Utilizado para Codificação e Deco-	
	dificação	35
4	4.2.1 - Codificação	35
4	1.2.2 - Decodificação	38
4.3 - 0	Controle Hibrido de Erros	43
4.4 - D	Descrição Geral do Sistema Proposto	47
	Descrição Geral do Funcionamento e Operação do Centro	51
	Descrição Geral do Funcionamento e Operação	54
CAPÍTULO V	/ - CONSIDERAÇÕES SOBRE A IMPLEMENTAÇÃO DO HARDWARE	57
5.1 - 1	Introdução	57
5.2 - A	Arquitetura do Sistema	58
5	5.2.1 - Unidade Central de Processamento	61
	5.2.1.1 - O Microprocessador	61
	5.2.1.2 - Circuito de "Clock"	63
	5.2.1.3 - Circuito de Auto-Reset	64
	5.2.1.4 - Interface das Vias	64
5.3 - t	Unidade de Memória	64
5.4 - 1	Interface de Entrada e Saida (E/S)	68
5	5.4.1 - Interface Paralela	68
	5.4.2 - Interface Serial	69
5.5 - 1	Interface de Linha	72

CAPITULO	VI - CONSIDERAÇÕES SOBRE A IMPLEMENTAÇÃO DO
	SOFTWARE
6.1 -	Introdução
6.2 -	Descrição do "Software" da Remota
	6.2.1 - Programa de Controle (PGCONT)
	6.2.2 - Subrotina de Inicialização (INICIO)-
	6.2.3 - Subrotina de Identificação do Siste-
	ma (MUXADP)
	6.2.4 - Subrotina de Transmissão de Tabela (TRXTAB)
	6.2.5 - Subrotina de Deteção de Sincronismo
	(DETSIN)
	6.2.6 - Subrotina de Transmissão de Sinaliza
	ção para Terminal (TXSNLZ)
	6.2.7 - Subrotina que Inicializa Contador de "Frame" (INCONT)
	6.2.8 - Programa de Recepção de Atividade I
	nicial (ESPATV)
	6.2.9 - Subrotina de Recepção de Atividade
	(RXATVD)
	6.2.10- Programa que Testa Paridade (TSTPAR)
	6.2.11- Subrotina de Transmissão de Caracter
	(TRXCHT)
	6.2.12- Subrotina de Transmissão de Controle
	(TRXCNT)
	6.2.13- Subrotina de Transmissão de Sincro -
	nismo (TXSINC)
	6.2.14- Subrotina de Retransmissão de Coman-
	do (RTXCNT)
	6.2.15- Programa de Contagem de "Frame"
	(CTFRME)
	6.2.16- Subrotina de Transmissão de Dados
	(TXDADO)

	6.2.17 - Programa de Recepção de Comandos	
	(RXCOMA)	83
	6.2.18 - Programa de Identificação de Coman-	
	do (IDFCOM)	84
	6.2.19 - Programa de Atendimento a um IRQ	
	(ATDIRQ)	84
	6.2.20 - Subrotina de Decodificação de Coman	
	do (DCDCOM)	85
	6.2.21 - Programa de Atendimento a um ARQ	
	(ATDARQ)	85
	6.2.22 - Programa de Codificação de Dados	
	(CDFDAD)	86
6.3 -	Descrição do "Software" do Centro	86
	6.3.1 - Programa de Entrada de Atividade I-	
	nicial (ENATVI)	102
	6.3.2 - Programa de Entrada de Atividade	
	(ENTATV)	102
	6.3.3 - Programa de Espera de Reconhecimento	
	de Atividade (ESPACK)	102
	6.3.4 - Subrotina de Pedido de Retransmissão	
	de Controle (RTXCNT)	103
	6.3.5 - Programa de Entrada de Comando	
	(ENTCOM)	103
	6.3.6 - Programa de Atendimento a um NMI	
	(ATDNMI)	104
	6.3.7 - Subrotina de Entrada de Endereços	
	(ENTEND)	104
	6.3.8 - Subrotina de Codificação de Comandos	
	(CDFCOM)	104
	6.3.9 - Subrotina de Transmissão de Comandos	
	(TRXCOM)	104
	6.3.10- Programa de Atendimento a um TRQ	
	· (ATDIRO)	105

•

6.3.11 - Programa de Identificação de Contro	
le (IDFCNT)	105
6.3.12 - Programa de Identificação de Carac-	
ter (IDFCHT)	105
6.3.13 - Subrotina de Pedido de Retransmissão	
de Dados (PEDARQ)	106
6.3.14 - Programa de Decodificação de Dados	- 38
(DCDADO)	106
6.4 - Endereços Especiais do Centro e Remota	117
CAPÍTULO VII - COMENTÁRIOS E CONCLUSÕES	120
BIBLIOGRAFIA	124
APÊNDICE I - DIAGRAMAS DOS CIRCUITOS	
A I.1 - Circuitos da UCP	
A I.2 - Circuitos da Unidade de Memória	
A I.3 - Circuitos das Interfaces de E/S e de Linha	
APÊNDICE II - LISTAGEM DO "SOFTWARE"	
A II.1 - Software da Remota	

A II.2 - Software do Centro

## CAPÍTULO I

# INTRODUÇÃO

No dimensionamento de sistemas de comunicações de da dos, dentre os diversos fatores a serem considerados, cam-se: economia, eficiência e confiabilidade. A economia um fator de bastante peso no dimensionamento do sistema e quase sempre, existe um compromisso considerável com relação à ficiência e à confiabilidade. No que diz respeito à economia, o uso de técnicas de multiplexação, em sistemas onde tem-se vá rios terminais remotos e um processador, tem despertado bastan te interesse. De uma maneira geral, a economia é obtida, por transmitir-se vários sinais independentes em um único canal de comunicação. A eficiência quanto à utilização dos meios de co municação disponíveis, tem sido também, objeto de interesse. Desta forma, esforços têm sido empreendidos no sentido de possibilitar novos métodos de compressão de dados, incluindo o de senvolvimento de vários métodos de interpolação de voz, diminuir a demanda de capacidade de canal por usuário. aspecto, os sistemas convencionais de multiplexação, por divi são em frequência e por divisão em tempo deterministicos, são ineficientes para aplicações onde as fontes de informação tipicamente inativas, pois os intervalos reservados aos canais inativos estarão ociosos. Portanto, tem-se que a NDT ("Net Data Throughput" - NDT) nesses sistemas são bem menores que as ca pacidades de canal disponíveis. Ainda mais, na maioria das aplicações em comunicações de dados, exige-se o emprego de controle de erros sobre a informação, de tal maneira, que se possa assegurar uma determinada confiabilidade sobre as informações transmitidas. A incorporação de técnicas de controle de erros levam também, a uma redução da NDT.

A inatividade pode, entretanto, ser utilizada tanto para um aumento de NDT quanto para um aumento de confiabilida de. Há basicamente duas formas de aproveitamento da inatividade das fontes de informação que compartilham um único meio de comunicação, através de um sistema de multiplexação: Aloca ção Dinâmica de Capacidade de Canal, através de um Sistema Estatístico de Multiplexação por Divisão em Tempo ou Troca de Capacidade de Canal por Capacidade de Correção de Erros atra vés de um Sistema de Multiplexação por Divisão em Códigos. Estas duas formas de aproveitamento da inatividade têm sido pesquisadas e sistemas têm sido propostos e/ou desenvolvidos (Rocha Neto, I., - 1975), (Vilar França, R.M. - 1978), (Giozza, W.F., - 1979), (Morais, M.E.- 1980), (Camelo, M.F. e Rocha Neto, I. - 1981).

Este trabalho apresenta a concepção e desenvolvimen to de um multiplex por divisão em códigos (MDC), com um con trole híbrido de erros ARQ/FEC (Automatic Repeat Request/ For ward Error Correction).

Na maioria das aplicações em sistemas de comunicações de dados deseja-se uma alta confiabilidade, associada a uma alta NDT. Entretanto, estes objetivos são conflitantes, pois à medida que aumenta-se a confiabilidade, ou seja, a capacidade de controle de erros, decresce a NDT do sistema, pois esta confiabilidade é conseguida através de aumento na redundância introduzida.

Este trabalho apresenta a concepção e desenvolvimen

to de um sistema de multiplexação por divisão em códigos, on de através de um controle híbrido de erros ARQ/FEC (Automatic Repeat Request / Forward Error Correction), pode-se obter um sistema com maior NDT que um sistema ARQ, e maior confiabilidade que um sistema FEC isoladamente. O sistema desenvolvido, utiliza um novo código de redundância variável, baseado nas funções de Walsh (Camelo, M.F. e Rocha Neto, I. - 1981).

O sistema foi implementado a microprocessador (MC 6800 - Motorola), devido à grande flexibilidade que este oferece. Tem-se um sistema de comunicação "full-duplex" no modo sincrono, onde dados são transmitidos de uma estação Remota a um Centro. Do Centro à estação Remota são transmitidos comandos que são executados em tempo real.

O segundo capítulo deste trabalho apresenta comentários sobre a importância do uso da técnica de multiplexação e concentração e várias técnicas de multiplexação existentes. No terceiro capítulo tem-se algumas considerações sobre os códigos-bloco lineares e técnicas de controle de erros. No quarto capítulo é apresentado o sistema MDC, com controle híbrido de erros e feita uma descrição geral do seu processo de operação e funcionamento. No quinto capítulo é descrita a implementação do hardware do sistema. No sexto capítulo é apresentada a implementação do Software do sistema. Por fim, no sétimo capítulo são feitos comentários gerais sobre o sistema de senvolvido e apresentadas sugestões sobre a continuidade des ta pesquisa.

## CAPÍTULO II

# MULTIPLEXAÇÃO DIGITAL

### 2.1 - INTRODUÇÃO

O alto custo das linhas de comunicações é, atualmen te, um dos maiores problemas na implementação de uma rede de comunicação de dados. Quando tem-se um computador central e deseja-se interligá-lo a vários terminais distantes, a interligação direta pode ser inviável, pois o custo dos cabos pode não compensar a este tipo de ligação. E ainda mais, se a distância é considerável, a principal vantagem desta ligação pode ser perdida, pois teremos limitações quanto à velocidade de transmissão da informação, caindo portanto a eficiência do sistema. Outro aspecto a ser considerado é o fato de que a atividade média de cada um dos terminais, normalmente é exces sivamente baixa. Embora a atividade média de um terminal de penda do tipo de sistema, uma carga normal pode ser considera da como oriunda de 10 a 20% dos terminais (Tarouco - 1977).

Uma técnica que é comumente utilizada com vistas à utilização de apenas um meio de comunicação, para a transmissão de informação de vários canais independentes é a MULTIPLE

XAÇÃO ou CONCENTRAÇÃO.

A multiplexação é caracterizada pelo fato de possuir uma capacidade de transmissão de informação do canal de saída maior ou igual à soma das capacidades dos canais de en trada do multiplex. Considerando C a taxa de transmissão do canal de saída e c<sub>i</sub> a taxa dos canais de entrada tem-se:

$$c \geq \sum_{i=1}^{n} c_{i}$$

A concentração se dá quando a soma das capacidades dos canais de entrada pode exceder à soma da capacidade de transmissão de informação do canal de saída. Nos concentra dores é utilizado um processo de gerência da taxa de informação dos canais de entrada, de forma a possibilitar um armaze namento das informações antes de enviá-las, toda vez que es ta taxa ultrapassar a da saída. O dimensionamento da capacidade de saída é decorrente da estatística de atividade dos canais de entrada. Para o concentrador tem-se:

$$\mathbf{c} \leq \sum_{i=1}^{n} c_{i}$$

Um concentrador aproveita o tempo ocioso de um sistema convencional de MDT decorrente dos possíveis canais inativos, elevando desta forma a eficiência do sistema.

Existem vários métodos de multiplexação. A utilização deste ou daquele método está relacionada com os objetivos do sistema a ser implementado, apresentando-se, o custo, considerações sobre capacidade de canal, considerações sobre controle de erros e eficiência de uma maneira geral, como fatores que determinal a escolha.

De uma forma geral pode-se dividir os tipos de mul

tiplexação em dois tipos (Vilar França, R. - 1978):

- 1 Multiplexação por Divisão Ortogonal MDO Baseia-se na ortogonalidade de conjuntos de funções para obter a reversibilidade do processo.
- 2 Multiplexação por Divisão em Codigos MDC São todos os tipos de multiplexação que não utilizam da ortogonalidade de conjuntos de funções para obter a reversibilidade.

Dentre os tipos de MDO, serão discutidos apenas os tipos mais comuns, quais sejam:

- 1 MULTIPLEXAÇÃO POR DIVISÃO EM FREQUÊNCIA MDF
- 2 MULTIPLEXAÇÃO POR DIVISÃO EM TEMPO SÍNCRONO MDTS
- 3 MULTIPLEXAÇÃO POR DIVISÃO EM TEMPO ASSÍNCRONO MDTA

## · 2.2 - MULTIPLEXAÇÃO POR DIVISÃO EM FREQÜÊNCIA - MDF

A multiplexação por divisão em frequência se constitui em um dos métodos mais comuns ainda hoje e foi o primeiro método a ser utilizado. Neste método, os vários sinais são alocados em faixas de frequência bem definidas, dentro do espectro de frequência do canal de transmissão. Há necessidade da existência de um espaçamento entre cada canal com vistas a evitar-se possíveis interferências por superposição de canais. Estas surgem devido às não-linearidades nos diversos amplifi-

cadores produzindo distorção harmônica pela multiplexação de fregüência. A alocação dos diversos canais ao longo do canal de transmissão é mostrada na fig. 2.1. O espaçamento entre os canais é representado por  $\mathbf{F}_{\mathbf{G}}$  (Faixa de Guarda).

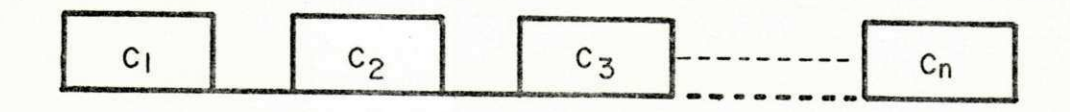


Fig. 2.1 - Alocação de canais em um sistema MDF.

A existência da faixa de guarda ( $F_G$ ) leva a uma  $1\underline{i}$  mitação quanto à eficiência em um sistema MDF. Tipicamente temos uma baixa utilização da faixa disponível do canal de transmissão (Doll - 1972).

Com relação ao aspecto prático nos sistemas MDF uma das grandes desvantagens, é o custo da implementação dos cir cuitos, principalmente quando o número de canais aumenta, pois é necessário gerar portadoras diferentes para cada canal. Ain da mais, cada canal utiliza uma faixa de freqüência diferente sendo, portanto, necessário um projeto diferente de filtro passa faixa para cada canal (Lathi - 1979). Uma das vantagens dos sistemas MDF é a relativa facilidade de inserir-se ou desviar-se determinados canais dentro do canal de transmissão. Isto se apresenta bastante atrativo em redes multiponto (Smith - 1976).

O diagrama de blocos de um sistema MDF é ilustrado na fig. 2.2.

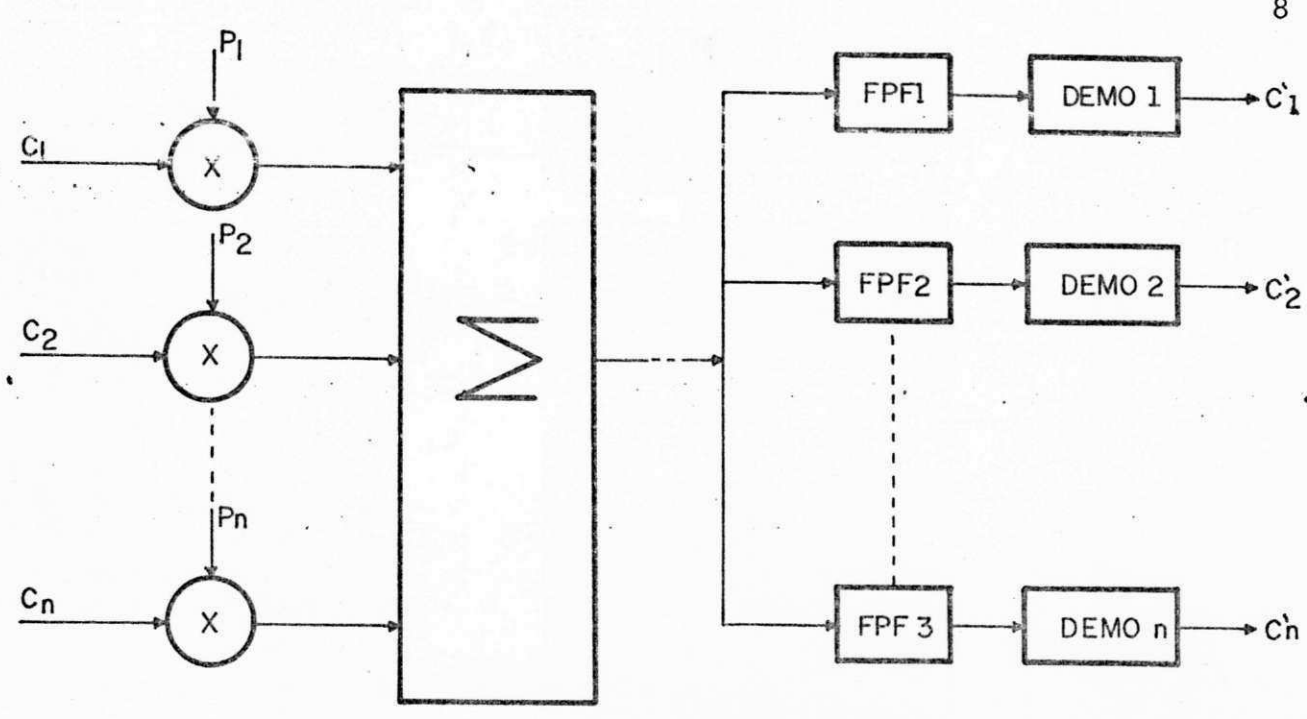


Fig. 2.2 - Diagrama de Blocos de um Sistema MDF.

### 2.3. MULTIPLEXAÇÃO POR DIVISÃO EM TEMPO - MDT

Neste método são tiradas amostras de vários canais de informação que se intercalam, partilhando todos de um mesmo canal de transmissão em uma mesma frequência (Davies e Barber -1973).

Nos sistemas MDF tem-se que todos os sinais vam a sua identidade quanto à frequência, mas estão mistura dos no dominio do tempo. Nos sistemas MDT ocorre justamente o contrário, as amostras de cada canal de entrada permanecem distintas no domínio do tempo e podem ser reconhecidas e sepa radas, mas no domínio da frequência, ocupam todas o mesmo es pectro.

De maneira geral, os sistemas MDT constituem-se de uma chave que varre continuamente os canais de entrada, alocan do a informação de cada canal sequencialmente no tempo, em uma palavra em formação que é enviada via modem ao outro ex tremo da linha. A informação captada de cada canal pode tan to ser um único bit quanto um "byte" (grupo de bits). A deremultiplexação consiste em separar a sequência recebida em bits ou bytes e colocá-los à disposição dos respectivos destinatá rios. Na fig. 2.3 tem-se uma ilustração da operação básica de um sistema MDT.

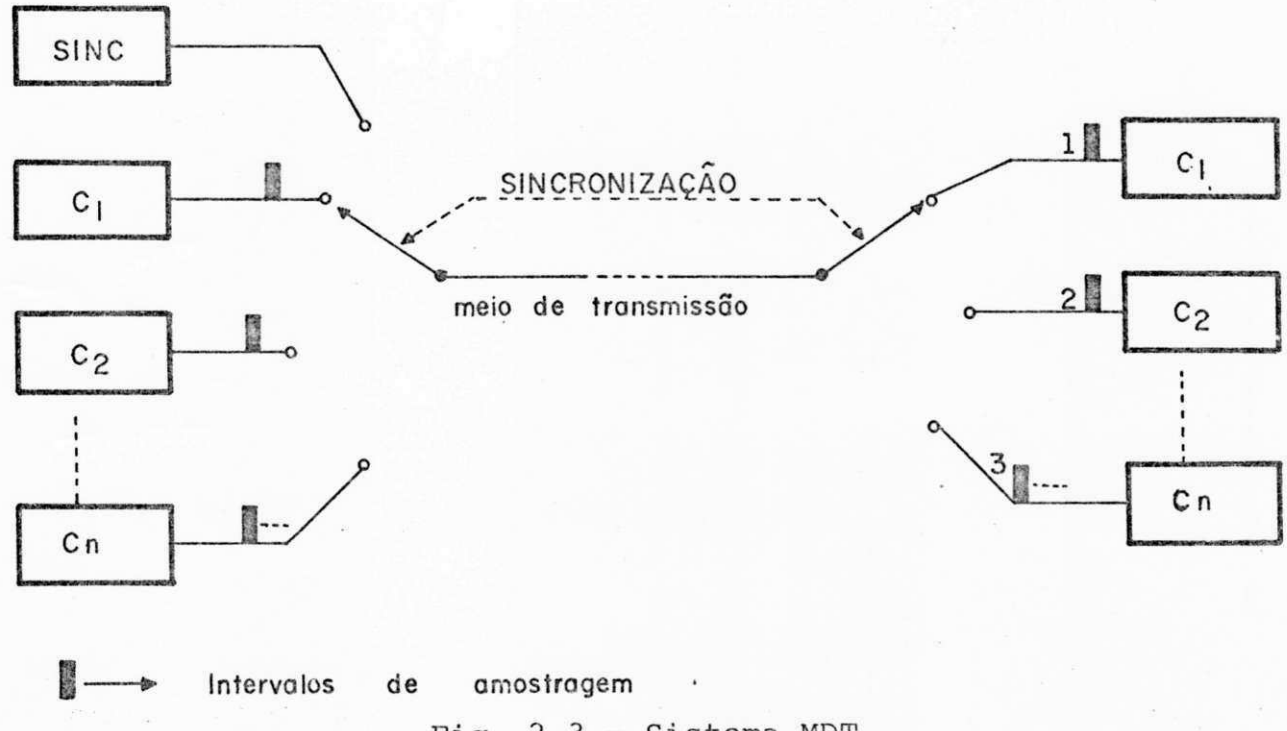


Fig. 2.3 - Sistema MDT

O ciclo de varredura dos canais a serem multiplexa dos pode ser fixo ou variável. Quando o ciclo de varredura é fixo, isto é, para cada canal se tem um intervalo de tempo de finido para ser ocupado com a informação do respectivo canal, teremos o MULTIPLEX POR DIVISÃO EM TEMPO SÍNCRONO (STDM). Quan do o ciclo de varredura é variável, ou seja, qualquer interva

lo de tempo pode servir a qualquer um dos canais a serem multiplexados, o sistema é denominado MULTIPLEX POR DIVISÃO EM TEMPO ASSÍNCRONO. Em qualquer um dos dois tipos mencionados, há necessidade de transmitir-se um padrão conhecido de bits (sincronismo) após um determinado número de palavras transmitidas constituindo o frame (Davies e Barber - 1973).

## 2.3.1 - MULTIPLEXAÇÃO POR DIVISÃO EM TEMPO SÍNCRONA - MDTS

Os sistemas MDTS são utilizados quando os canais a serem multiplexados são normalmente ativos ou as taxas de transmissão de informação destes não variam. Estes sistemas são frequentemente denominados de sistemas por divisão em tem po estáticos ou determinísticos (Morais, M. - 1980).

O frame nos sistemas MDTS tem um tamanho bem definido, uma vez que a seqüência de varredura é fixa. O frame é normalmente dividido em campos onde são alocadas informações de sinalização dos canais, padrão de sincronismo e os dados, conforme vê-se ilustrado na fig. 2.4. O padrão de sincronismo pode ser uma única palavra, um conjunto de palavras ou a repetição de uma determinada palavra. A recepção do padrão de sincronismo indica ao receptor um início de frame. O padrão de sincronismo indica ao receptor um início de frame. O padrão de sincronismo é periodicamente transmitido para assegurar o sincronismo.

	-	and the second s
SINC	SINALIZAÇÃO	DADOS

Fig. 2.4 - Formato de Frame em um sistema MDTS.

Os sistemas MDTS são transparentes quanto ao forma to dos dados dos canais de entrada. Podem ser multiplexados

de igual modo, tanto canais síncronos quanto assíncronos. ou ainda, uma combinação de ambos. A escolha entre a multiplexa ção bit a bit ou byte a byte está relacionada com o formato dos dados dos canais. Por exemplo, se estamos interessados em obter compressão de banda e o formato dos dados de entrada é assíncrono, a multiplexação byte a byte deve ser utilizada (Doll - 1972). No aspecto de confiabilidade este tipo de in terpolação possibilita uma resincronização mais difícil, en tretanto é menos sensível a erros de burst.

### 2.3.2 - MULTIPLEXAÇÃO POR DIVISÃO EM TEMPO ASSÍNCRONA

Em sistemas onde as fontes de informação são tipica mente inativas, os sistemas de multiplexação em tempo determi nísticos apresentam-se bastante ineficientes, isto se dá pelo fato de que, nestes sistemas, em cada ciclo de varredura tem-se intervalos de tempo deterministicamente divididos para canal. Desta forma, quando se tem canais de baixa tem-se intervalos de tempo ociosos, uma vez que durante os tervalos de tempo correspondentes aos canais inativos, nenhuma informação é transmitida. Tem-se portanto, uma NDT bastante baixa nestes sistemas. Entretanto, pode-se aproveitar a tividade dos canais com vistas a um aumento de NDT, fazendo-se uma alocação dinâmica da capacidade de canal, através de sistema estatístico de multiplexação por divisão em (Doll, D.R. - 1972). Desta forma, os intervalos de tempo no ciclo de varredura são reservados apenas aos canais ativos e independentes da posição no ciclo, podendo serem utilizados por qualquer um dos canais. Tem-se, portanto, uma sequência varredura variável.

Os sistemas que utilizam esta alocação dinâmica são

chamados de MULTIPLEX DINÂMICOS POR DIVISÃO EM TEMPO ou MULTIPLEX POR DIVISÃO EM TEMPO ASSÍNCRONOS (MDTA). Nestes sistemas, há necessidade de se definir alguns mecanismos de identificação dos respectivos canais ativos, como também uma estratégia de redistribuição do tempo extra disponível (Morais, M. E. - 1980).

Uma grande vantagem do sistema MDTA sobre o MDTS é possibilidade de operar com canais de diversas taxas de infor mação na entrada (Giozza, W.F. - 1979). Os sistemas MDTA de sempenham o papel de multiplexação e concentração (Doll-1972).

Existem varios modelos quanto a formatação dos da dos, como resultado da utilização do tempo ocioso dos canais inativos. Na fig. 2.5 é mostrado um modelo onde tem-se o com primento do quadro variável, entretanto é fixa a organização

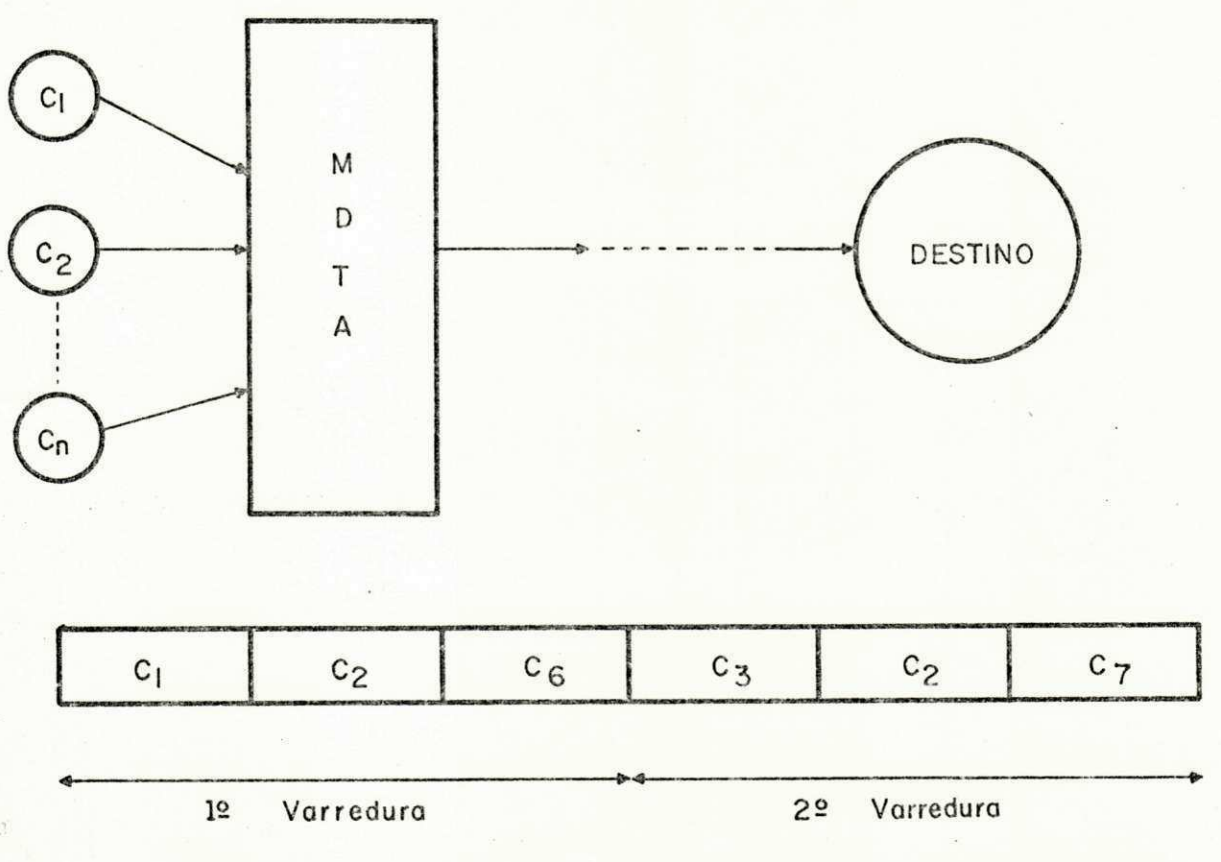


Fig. 2.5 - Modelo de formatação dos Dados em um sistema MDTA.

da informação dentro do quadro. Neste modelo será transmitido um veter atividade sempre que houver transição do mesmo (Morais, M.E. - 1980). No exemplo é assumido que estão ativos na primeira varredura os canais  $C_1$ ,  $C_2$  e  $C_6$  e que na varredura seguinte estão ativos os canais  $C_3$ ,  $C_2$  e  $C_7$ .

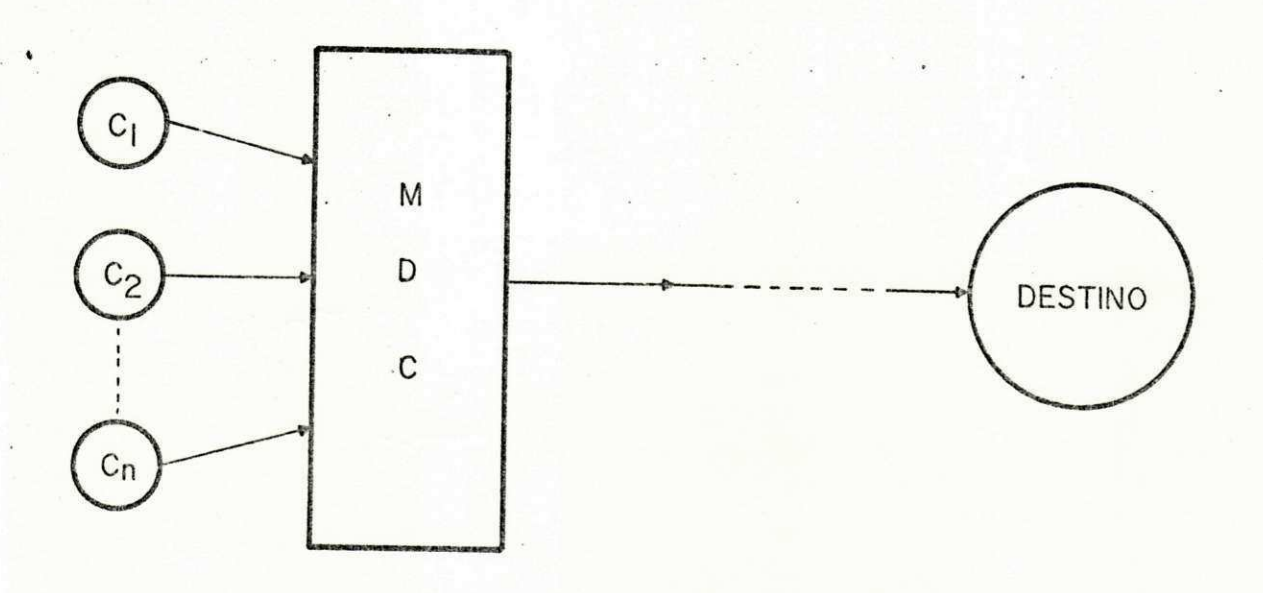
### 2.4 - MULTIPLEXAÇÃO POR DIVISÃO EM CÓDIGOS - MDC

Em canais de natureza intermitente, além da possibilidade de aproveitar-se a inatividade para uma alocação dinâmica da capacidade de canal, a inatividade pode ser utilizada para um aumento de confiabilidade, fazendo-se uma troca de capacidade de canal por capacidade de controle de erros (Peterson, W.W. e Weldon, Jr., - 1972). Nesta técnica, os intervalos correspondentes aos canais inativos são aproveitados para introdução de redundância por interpolação de bits em cada palavra após a varredura. É formada, então, uma palavra código com redundância variável que é transmitida. Estes sistemas são denominados de MULTIPLEX POR DIVISÃO EM CÓDIGOS (MDC).

Os sistemas MDC apresentam sobre os MDT, a vantagem de conseguir-se controle de erros sem a necessidade de uma alocação extra no tempo de transmissão. No capítulo IV apresenta-se um sistema MDC que de maneira adaptativa incorpora um controle de erros por ARQ (AUTOMATIC REPEAT REQUEST) e FEC (FORWARD ERROR CORRECTION). O método é linear e é baseado nas funções de Walsh.

São também usados códigos cíclicos de redundância variável.

Uma ilustração do sistema MDC é mostrada na fig.2.6. É assumido, no exemplo, que estão ativos os canais  $\mathbf{C}_1$ ,  $\mathbf{C}_4$  e .  $\mathbf{C}_7$ .



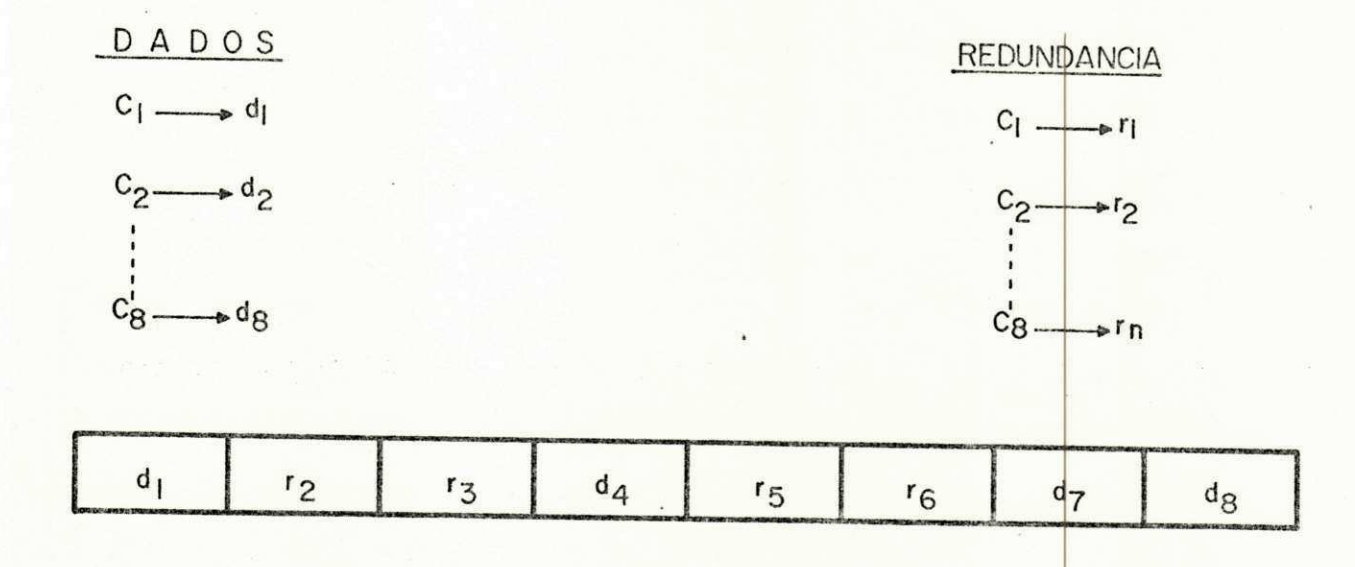


Fig. 2.6 - Formatação de Dados em um sistema MDC.

## CAPÍTULO III

#### CONTROLE DE ERROS

### 3.1 - INTRODUÇÃO

Em um sistema de comunicação, o bloco que seleciona os símbolos a serem transmitidos é chamado de FONTE DE INFOR-MAÇÃO. Há um determinado grau de liberdade exercido por es te bloco na seleção dos seus símbolos. Existe portanto, uma certa probabilidade de ocorrência para cada símbolo dentro do conjunto de símbolos possíveis (alfabeto fonte). Matematicamente pode-se representar por:

$$I(S_i) = \log \frac{1}{P(S_i)}, \quad (Abramson - 1963)$$

onde P(S) é a probabilidade de ocorrência de um dado símbolo, de uma fonte de informação  $S = \left\{s_1, s_2, \dots, s_q\right\}$ .

A escolha da base logarítmica define a unidade para I. Se a base é 2, teremos o resultado em bits.

Pode-se caracterizar melhor uma fonte de informação pela quantidade média de informação associada ao seu conjunto de símbolos. Esta quantidade média de informação é chamada de ENTROPIA (H) (Abramson - 1963)

$$H(S) = \sum_{S} P(S_i) \log \frac{1}{P(S_i)}$$

$$H(S) = \sum_{S} P(S_i) I(S_i)$$

Quando fontes de mesma entropia geram diferentes quantidades de informação por unidade de tempo, diz-se que possuem uma TAXA DE INFORMAÇÃO (R) diferentes. A taxa de informação é uma medida de quão rapidamente as informações são geradas. Tem-se que:

$$R = H/\phi$$
 bits/seg,

onde ф é a duração de cada símbolo.

As limitações físicas do canal levam a uma limitação da máxima taxa de informação que pode ser transmitida no mesmo. Desta forma, é definida CAPACIDADE DE CANAL (C) como a medida da quantidade de informação transmitida pelo canal na unidade de tempo. Seja uma fonte com N símbolos equiprováveis com du ração ¢, tem-se que a entropia será dada por:

$$H = log_2 N$$

então a capacidade de canal pode ser expressa como sendo:

$$c = \frac{1}{\phi} \log_2 N \text{ bits/seg}$$

pode-se verificar intuitivamente que  $1/\phi$  está relacionado com a banda-passante (B) do canal, e N está relacionado com a relação sinal/ruído. Tem-se mostrado que:

$$C = B \log_2(1 + S/N)$$
 (Lei de Shannon-Hartley)

O 29 teorema de Shannon estabelece que se um canal tem capacidade C e uma fonte tem taxa de informação R, se

 $R \le C$  existiră sempre um código tal que possa ser utilizado para controle de erros, de forma a assegurar uma transmissão praticamente sem erros.

De uma maneira geral os códigos são utilizados para introdução sistemática de redundância com vistas a obter-se <u>u</u> ma maior confiabilidade nas mensagens transmitidas, possibil<u>i</u> tando a deteção ou até correção de possíveís erros introduzidos no meio de comunicação pelo ruído.

#### 3.2 - CONSIDERAÇÕES SOBRE CÓDIGOS

### 3.2.1 - PROTEÇÃO DA INFORMAÇÃO

Dois trabalhos de grande relevância para a teoria das comunicações foram publicados por Claude Shannon: "A Matematical Theory of Communications" e "Communications in the presence of noise". Com estes trabalhos, através de modelos matemáticos, Shannon contribuiu bastante para resolver o grande problema dos sistemas de comunicações: Proteger mensagens transmitidas através de um meio de comunicações, na presença de ruído, de maneira a poder-se recuperá-las com segurança. Esta proteção é normalmente conseguida através da introdução de redundância na informação, por meio de um processo de codificação, de forma a no receptor, poder-se detetar e/ou corrigir os possíveis erros introduzidos no canal de transmissão. Há entretanto, sistemas de comunicações, como por exemplo fac símile, onde por si mesmo a informação já é rica em redundância, sendo portanto desnecessário codificarmos a informação

transmitida (Burton e Sullivan - 1972).

Os sistemas de comunicações estão sempre sujeitos a erros que são introduzidos por ruído nos canais. O ruído apresenta-se das mais diversas formas. De uma maneira geral, para fins de estudo de proteção da informação são considera - dos: o ruído BRANCO (Aleatório) e o ruído IMPULSIVO (butst).

Ruído Branco - Possui uma distribuição espectral Gaussiana.Os erros introduzidos durante um certo intervalo não afetam o desempenho no intervalo subsequente (Tarouco - 1977).

Ruído Impulsivo - São produzidos diretamente ou por indução. A ocorrência é imprevisível e aparecem por curtos intervalos de tempo (μs a ms). Caracterizam-se por intervalos de alta densi dade de erros (Sastry - 1975).

É imprescindível fazer-se um estudo estatístico da incidência de erros no canal, de forma a incluir maior ou me nor redundância na informação, de maneira a assegurar-se a ne cessária confiabilidade exigida para deteção ou correção des tes erros, com a maior eficiência possível.

### 3.2.2 - CONSIDERAÇÕES SOBRE CÓDIGOS-BLOCO LINEARES

Uma seçüência de símbolos de uma fonte de informa ção pode ser codificada de maneira que a cada K-dígitos de informação, sejam associadas seqüências de n-dígitos denomina das palavras-código, que são obtidas pela introdução de dígitos redundantes segundo uma lei bem definida. Tem-se, portanto, a introdução de (n - K) dígitos redundantes, estabelecen-

do uma influência intersimbólica, que pode ser utilizada para decidir ambiguidades em mensagens atacadas por ruído. Os có digos onde tem-se um número fixo de dígitos por palavra, ou ainda, aqueles cuja introdução de redundância diz respeito a apenas os dígitos de um determinado bloco, são chamados de Có digos-Bloco. Se nesses códigos cada uma das 2<sup>K</sup> palavras-código podem ser expressas como combinações lineares dos K veto res-código, teremos códigos-bloco lineares. Em geral, nos có digos lineares obtem-se um conjunto de K vetores linearmente independentes, onde através de combinações lineares, pode-se obter todos os elementos do alfabeto código representado pelo subespaço formado pelas 2<sup>K</sup> n-uplas do espaço de todas as n-uplas. Pode-se representar este resultado de forma matricial. A matriz [G] é denominada de MATRIZ GERADORA do código.

$$G = \begin{bmatrix} x_1 \\ x_2 \\ x_3 \\ \vdots \\ x_K \end{bmatrix}$$

onde  $X_1, X_2, \ldots, X_K$ , são K n-uplas linearmente independentes do subespaço. Todas as palavras-código são geradas pela matriz [G], desta forma no codificador só precisa-se armazenar a matriz [G] e através de combinações lineares com a se quência de dígitos de informação, gerar os dígitos redundantes.

Os códigos bloco-lineares podem ser sistemáticos ou não sistemáticos. Os sistemáticos são aqueles onde, as posições ocupadas pelos dígitos redundantes e as ocupadas por dígitos de informação são definidas.

Na decodificação precisamos verificar se todas as

palavras-código recebidas foram geradas no codificador a par tir da matriz [G], desta forma é definida a matriz [H] denomi nada MATRIZ PARIDADE. É investigado portanto, se o espaço ve torial gerado por G é ortogonal a [H], ou seja:

$$[X] \cdot [H]^t = 0$$
 (Peterson e Weldon - 1972).

Se uma palavra-código é transmitida em um canal rui doso, tem-se no processo de decodificação que recuperar a palavra-código a partir da mensagem recebida. Seja Y a sequência recebida onde,

$$Y = X + R$$

tem-se que recuperar X a partir de Y. Se R = 0 (sem ruído) tem-se que:

$$Y \cdot [H]^t = 0$$

Entretanto, pode-se também obter S = 0 se o número de erros é tal que, transforma a palavra em uma outra palavra válida do código. Por outro lado, se houve erro, tem-se,

$$S = Y \cdot [H]^t \neq 0$$

O vetor S é denominado de Sindrome. A sindrome pode, portan to, ser usada para detetar e/ou corrigir erros.

### 3.2.3 - CAPACIDADE DE DETEÇÃO E/OU CORREÇÃO DE ERROS

Chama-se PESO DE HAMMING de uma n-upla X, ao número de componentes não nulos em X. É representado por W(X).

Dadas duas n-uplas  $X_1$  e  $X_2$  é chamado DISTÂNCIA DE

HAMMING ao número de posições em que estas diferem. É representado por  $d(X_1, X_2)$ .

Dentre um conjunto de palavras-código a distância entre as respectivas palavras não é constante. Define-se mínima distância (d), à menor distância entre qualquer par des tas palavras-código. Pode-se demonstrar que a menor distância de um código bloco linear é igual ao mínimo peso de uma palavra não nula do código (Peterson, 1972).

Em uma decodificação por máxima semelhança, dada uma palavra y recebida, o decodificador procura dentre as 2<sup>K</sup> palavras-código a que tem menor distância de Hamming em relação à palavra recebida, ou seja, a palavra que difere da palavra recebida no menor número de posições. É portanto aceita esta palavra como a palavra que foi transmitida. Nesse tipo de decodificação, a distância mínima de Hamming (d) pode ser utilizada para especificar a capacidade de correção e/ou deteção de erros.

Em um CANAL SIMÉTRICO BINÁRIO, onde tem-se que aprobabilidade de um "0" se transformar em "1" é a mesma que o contrário, pode-se mostrar que o número de erros D que podem ser detetados para uma dada distância mínima (d) de um código-blo co é dado por,

$$D = d - 1$$
 (Shu Lin - 1970)

E ainda, o número de erros que podem ser corrigidos é,

$$C = \frac{\hat{a} - 1}{2}$$
 (Shu lin - 1970)

Se o código é usado para deteção e correção, tem-se que a distância (d) deve ser:

$$d = D + C + 1$$

Apresenta-se no Capítulo IV um sistema que utiliza um código com redundância variável, com capacidade para correção e/ou deteção dependendo da inatividade dos canais de entrada.

#### 3.2.4 - EFICIÊNCIA DE CÓDIGOS-BLOCO

Um dos grandes problemas na codificação de uma dada informação diz respeito à utilização de códigos que introduzam redundância para assegurar uma boa capacidade de controle de erros com a máxima eficiência possível. Existirá sempre um compromisso bastante grande entre eficiência e confiabilidade.

Seja q o número de níveis que os elementos das pala vras-código podem assumir, N o número total de palavras e n o comprimento das palavras-código; de uma maneira geral, podese definir eficiência de um código-bloco (n, K) por,

$$\eta = \frac{\log_2 N}{\log_2 q^n} ,$$

onde N =  $2^{K}$  palavras-código e q = 2 para um código binário. Tem se portanto,

$$\eta = \frac{K}{n}$$

## 3.3 - TÉCNICAS DE CONTROLE DE ERROS

Foi visto que os códigos podem ser utilizados para proteção da informação através de um canal ruidoso, entretanto a escolha da estratégia de utilização destes códigos definirá a forma de controle de erros no respectivo canal.

De uma maneira geral existem basicamente duas técn $\underline{i}$  cas de controle de erros:

- CORREÇÃO POR RETRANSMISSÃO ARQ (AUTOMATIC REPEAT REQUEST)
- CORREÇÃO DIRETA FEC (FORWARD ERROR CORRECTION)

#### 3.3.1 - CORREÇÃO POR RETRANSMISSÃO

As técnicas de controle de erros por retransmissão, mais conhecidas por ARQ, são as técnicas mais comumente utilizadas em sistemas de comunicações (Yu e Shu Lin - 1981). Es tas técnicas são normalmente de mais simples implementação, pois a redundância introduzida deve ser suficiente apenas para deteção e não correção. Os sistemas ARQ são inerentemente bastante confiáveis, proporcionando uma baixa probabilidade de erros não detetados.

De uma forma geral, os sistemas ARQ podem ser divididos em duas categorias:

- SISTEMAS TRANSMITE-E-ESPERA O transmissor envia um dado bloco e espera reconhecimento.
- SISTEMAS CONTÎNUOS Os blocos de dados são enviados con tinuamente até ser recebido um pedido de retransmissão.

Em sistemas ARQ a "throughput" cai bastante quando a probabilidade de erros aumenta, devido ao número de repetições sucessivas de informação no canal de transmissão. Ainda mais, se o caminho de retorno é grande, como no caso de comunicação por satélite, o atraso introduzido para recebimento de um pedido de repetição agrava mais ainda a eficiência do sistema. Em geral, os sistemas ARQ se apresentam bastante ineficientes em canais onde tem-se uma alta taxa de dados e de erros.

Na fig. 3.1 vê-se um diagrama de blocos bastantesim plificado de um sistema ARQ. No bloco "terminal transmissor" é feita a aquisição, formatação em blocos, controle de protocolos, codificação etc. No Buffer, os dados transmitidos, ficam armazenados para eventuais retransmissões. No terminal receptor tem-se a decodificação dos dados e quando detetado er ro é utilizado o canal de retorno para um pedido de retransmissão.

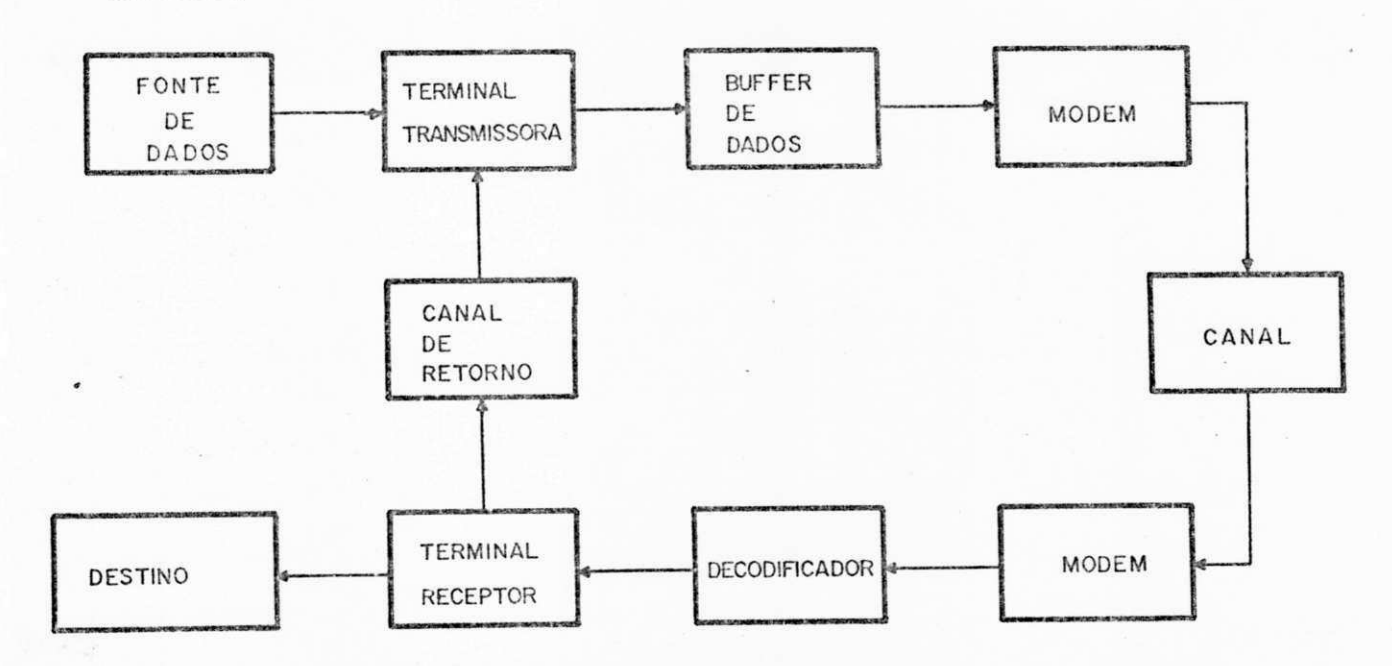


Fig. 3.1 - Diagrama de Blocos de um Sistema ARQ Genérico.

## 3.3.1.1 - SISTEMAS TRANSMITE-E-ESPERA (TEE)

Nos sistemas TRANSMITE-E-ESPERA, também conhecidos por "Para e espera", após a transmissão de cada bloco de da dos, o transmissor fica um determinado tempo ocioso a espera de um padrão de reconhecimento (ACK/NACK). Se a mensagem é recebida corretamente, o receptor envia uma mensagem (ACK) ao transmissor sinalizando-o. Se a mensagem é recebida com erro, uma outra mensagem (NACK) é enviada ao transmissor, indicando que o último bloco transmitido deve ser retransmitido.

Se o padrão de reconhecimento ACK/NACK é recebido com erro, normalmente é assumido que foi recebido um NACK (Towsley e Wolf - 1979).

Um dos dois padrões de reconhecimento pode ser assumido como um determinado tempo de espera. Se por exemplo, após a transmissão de uma mensagem, o transmissor espera um determinado tempo T e se neste espaço não é recebido um "ACK", as sume-se que foi recebido um "NACK", ou seja, um pedido de retransmissão e então o último bloco é retransmitido. Este processo continua até que seja recebido um ACK (Fayolle, Gelenbe e Pujolle - 1978).

Os parâmetros mais predominantes quanto ao desempenho de sistemas ARQ são o tamanho do bloco, a probabilidade de erros por blocos e o tempo total de atraso entre a transmissão de um bloco e o recebimento de um "ACK"/"NACK".

De uma maneira geral a eficiência de um sistema ARQ é definida pela razão entre o número de bits de informação(K) e o número total de bits transmitidos (n). A eficiência para o sistema TRANSMITE-E-ESPERA é definida por:

$$\eta = \frac{K}{(n + RT)E}$$
 (Benice e Frey - 1964)

onde,

Té o tempo entre o fim da transmissão de um bloco e o recebimento do "ACK" correspondente (Mc.Gruther-1972)

R é a taxa de transmissão

E é o número de retransmissões previstas.

Se se admitir que qualquer bloco tem a mesma probabilidade de ser recebido com erro, E será dado por:

$$E = \frac{1}{\Delta}$$
 (Benice e Frey - 1964)

onde  $\Delta$  é a probabilidade de uma mensagem ser recebida sem er ro. Se é assumido que o canal de retorno é livre de erros tem-se,

$$\Delta = 1 - (P_d + P_u)$$

onde,

P<sub>d</sub> é a probabilidade de erros detetados por bloco.

 $\mathbf{P}_{\mathbf{u}}$  é a probabilidade de erros não detetados por bloco.

Os sistemas ARQ-TEE apresentam baixo "throughput" quando o tamanho dos blocos (n) é relativamente pequeno. Estes sistemas só se tornam atrativos para blocos com tamanho maior ou igual a 10Kbits (Mc.Gruther - 1972). Entretanto, a taxa de erros por blocos cresce linearmente à medida que o com primento do bloco aumenta. É portanto importante, com vistas à obtenção de maior "throughput", determinar-se o comprimento ótimo do bloco para as características específicas de um da do canal. Considerando-se uma distribuição exponencial de tempos entre erros de butst, obtém-se que,

$$n_{\text{otm}} = \sqrt{\frac{T}{4} + \frac{T}{P(n)} - \frac{T}{2}}$$
 (Mc.Gruther - 1972)

Em canais com alta taxa de erros, a eficiência cai, uma vez que, o atraso T aumenta, devido às sucessivas retrans missões. A eficiência pode ser melhorada, enviando-se sempre que, um pedido de retransmissão for recebido, um número finito de retransmissões contínuas do bloco requisitado, sem esperar por reconhecimento (Sastry-1975). Um "NACK" só será recebido se nenhuma das i retransmissões for recebida correta mente, portanto melhorando a eficiência.

Pode ser mostrado que se um conjunto de i retransmissões é utilizado com blocos de comprimento n e atraso to tal T, a eficiência fica então a seguinte:

$$\eta_{i} = \frac{K}{(n + RT) + (in + RT)P / (1 - p^{i})}$$
 (Sastry-1975)

este sistema será superior ao sistema anterior (i = 1) se,

$$\eta_i - \eta > 0$$

Os sistemas ARQ-TEE podem ser utilizados em canais "half-duplex" ou "full-duplex", evidentemente a eficiência para o primeiro é bem menor que no segundo, uma vez que, o canal de retorno é normalmente obtido por reversão da direção de transmissão. O processo de reversão requer tipicamente 150 ms (Burton e Sullivan - 1972) que comparado com o atraso de propagação em um enlace (60 ms) se torna bastante considerável. Como em sistemas "half-duplex" necessita-se de duas reversões o tempo total T = 60 + 2(150) = 360 ms. Em sistemas de comunicação via satélite, o atrado de propagação é cerca de 540 ms (Balkovic e Muench - 1969).

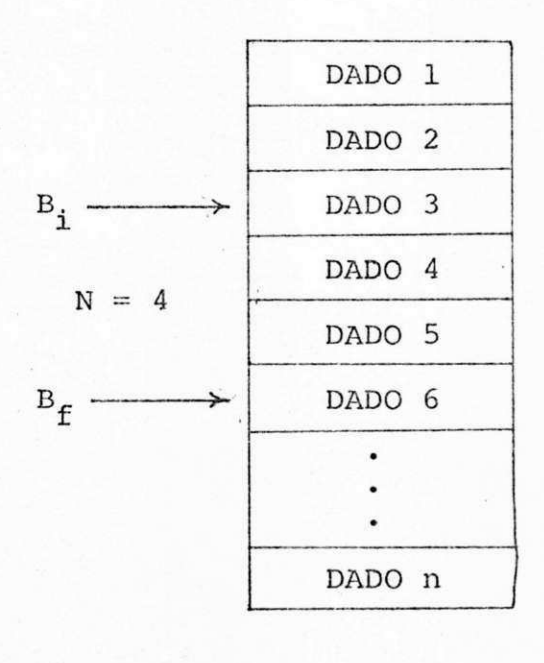
### 3.3.1.2 - SISTEMAS CONTINUOS

Nos sistemas contínuos os blocos de dados são trans

mitidos continuamente. O transmissor não espera por um reconhecimento (ACK) do receptor após enviar um dado bloco; quan do é completada a transmissão de um bloco, imediatamente é transmitido o próximo. Este processo se repete continuamente até que um pedido de retransmissão (NACK) é recebido. Os sistemas contínuos apresentam, em relação aos sistemas TRANSMITE -E-ESFERA, uma maior eficiência, uma vez que, não se tem um tempo ocioso à espera de reconhecimento.

#### i) - SISTEMA "GO-BACK-N"

Um tipo de sistema ARQ contínuo, bastante utilizado é conhecido por "GO-BACK-N". Nestes sistemas, após o trans missor receber um "NACK" indicando que um determinado bloco foi recebido errado, outros N-l blocos foram também transmitidos, mas ignorados, pelo receptor. O transmissor volta N blocos no buffer de dados e os retransmite sucessivamente.



B<sub>i</sub> - Bloco Requisitado

B<sub>f</sub> - Último bloco transmi tido antes de ser re cebido o NACK.

O valor de N normalmente é fixo e depende do atraso

total gerado no enlace. No Cap. IV apresenta-se uma modifica ção no protocolo convencional de um sistema "GO-BACK-N" onde o valor de N se acomoda adaptativamente ao atraso do enlace.

A eficiência de um sistema GO-BACK-N é dada por,

$$\eta = \frac{K}{(n + PRT)E}$$
 (Sastry - 1975)

onde K, n, R, T e E são definidos da mesma maneira do caso an terior e  $P = P_d + P_u$ .

Se é assumido que, a taxa de erros não detetados  $(P_u)$  é desprezível diante da taxa de erros detetados  $(P_d)$ , tem se que,

$$\eta = \frac{K}{(n + P_d^{RT}) \cdot 1/(1 - P_d)}$$

pode-se escrever como,

$$\eta = \frac{K}{n} \left[ 1 + \left( 1 + \frac{T}{n/R} \right) \frac{P_d}{1 - P} \right]^{-1}$$
$$= \frac{K}{n} \left( 1 + \frac{NP_d}{1 - P_d} \right)^{-1}$$

onde,

$$N = 1 + \frac{T}{n/R}$$
 (Sastry - 1975)

deve-se escolher n/R de maneira a ter-se valores inteiros (N=2, 3...). Se é feito, por exemplo, n/R = T, obtém-se N=2. Significa que, para cada pedido de retransmissão, o transmissor retransmite dois blocos anteriores ao último bloco transmitido.

Os sistemas "GO-BACK-N" proporcionam boa "throughput"

em sistemas com tamanhos de blocos relativamente pequenos (n < 1000 bits), entretanto, para simplicidade de projeto, no sentido de minimizar o número de blocos transmitidos ou re transmitidos ao ser recebido um "NACK", são usados blocos maio res. O tamanho do bloco deve ser tal que, o recebimento de um "NACK" relativo a um determinado bloco transmitido, se dê antes que a transmissão de um próximo bloco seja completada. Desta forma, só será necessário a retransmissão de dois blocos. O tamanho do bloco deve ser, portanto, de maneira tal que, o tempo para sua transmissão seja maior que o "delay" proporcionado para recebimento de um "NACK" (Mc.Grunther-1972).

#### ii) - SISTEMAS SELETIVOS

Os sistemas ARQ SELETIVOS (ARQ-S) se caracterizam por retransmitirem apenas aqueles blocos em que foi detetado erro. Estes sistemas se mostram bem mais eficientes que os sistemas ARQ-GBN. A ineficiência nos sistemas ARQ-GBN é causada pela retransmissão de vários blocos corretos seguindo os blocos requisitados.

Nos sistemas ARQ-S a "throughput" não é afetada pe lo tempo total de atraso (T), considerado para os casos anteriores. Desta forma, tem-se uma eficiência maior comparada com a dos sistemas anteriores em enlaces onde T é grande e uma alta taxa de erros ataca o canal: Entretanto, para encontrar se a eficiência ideal, deve-se ter um buffer muito grande (teo ricamente infinito) (Yu e Shu Lin - 1981).

Estes sistemas envolvem maior complexidade na imple mentação que os sistemas ARQ-GBN, uma vez que os blocos precisam ser numerados sequencialmente para que o receptor possa identificá-los. Há no processo de identificação, a necessida de de o receptor saber quando um bloco recebido é um dado nor

mal ou um dado retransmitido. Ao ser detetado erro em um blo co no receptor, um NACK é recebido no transmissor após o tem po de atraso total (T). O NACK deve ser capaz de informar precisamente ao transmissor o determinado bloco que deve ser retransmitido. Durante este intervalo de tempo N - 1 outros blocos terão sido transmitidos e o bloco retransmitido segui rá imediatamente aos N - 1 blocos. Serão recebidos portanto no receptor N blocos, dentre os quais um deles é o bloco requisitado, desta forma é imprescindível uma identificação por seqüências de blocos recebidos, de forma a poder-se identificar dentre estes, o bloco retransmitido.

A eficiência para um sistema ARQ-S é dada por,

$$\eta_s = \frac{KE}{n}$$
 (Sastry - 1975)

onde, 
$$E = \frac{1}{\Delta} = \frac{1}{1 - (P_d + P_u)}$$

então,

$$\eta = \frac{K}{n} \cdot \frac{1}{1 - (P_d + P_u)}$$

## 3.3.2 - CORREÇÃO DIRETA - FEC

Esta técnica de controle de erros é mais conhecida por "FORWARD ERROR CORRECTION" (FEC). A redundância introduzida no processo de codificação é tal que, na decodificação, um número máximo de erros possa ser automaticamente corrigido. São muitos os códigos que podem ser utilizados na implementação de sistemas que utilizam esta técnica.

Os sistemas FEC são inerentemente pouco eficientes, por necessitarem de um número relativamente grande de bits redundantes para proporcionarem a correção de erros. A taxa líquida de informações (NDT), nesses sistemas, decresce bastante, à medida que é desejada a possibilidade de correção de um maior número de bits por palavra. E ainda mais, o sistema torna-se por demais sofisticado e de custo bastante elevado.

A confiabilidade nos sistemas FEC torna-se bastante baixa quando a capacidade de correção é ultrapassada, entretanto, a taxa líquida de informação (NDT), permanece constante independente da probabilidade de erros.

### 3.3.3 - ARQ VERSUS FEC

Na concepção de um determinado sistema, a escolha da técnica de controle de erros a ser utilizada implica nor malmente em considerações sobre os seguintes fatores: Os tipos de erros que agem sobre o canal e as probabilidades de ocorrência dos mesmos, a taxa líquida de informação (NDT -NET DATA THROUGHPUT) e a tolerância quanto à probabilidade de erros não detetados.

Em um canal com erros independentes (Ruído Aleatório) os sistemas FEC comparados com sistemas ARQ apresentam uma maior NDT, quando a probabilidade de erros é grande e uma menor NDT quando a probabilidade de erros é pequena. Entretanto, em ambos os casos, os sistemas ARQ asseguram uma menor probabilidade de erros não detetados (Benice e Frey - 1964).

Para o caso de erros burst (Ruído Impulsivo),os sistemas ARQ proporcionam uma menor probabilidade de erros por um fator de aproximadamente 2<sup>-b</sup>, onde b é o número de bits

redundantes para um dado comprimento de palavra-código, em sis temas de deteção (Benice e Frey - 1964). Na maioria das si tuações de interesse prático, os sistemas ARQ se mostram supe riores em relação aos sistemas FEC, no que diz respeito à con fiabilidade e eficiência, entretanto, há situações onde a uti lização dos sistemas ARQ se tornam impraticáveis, como por exemplo: rádio difusão, canais de comunicação unidirecionais ou sistemas que utilizam o espaço sideral, em que um enlace com realimentação é difícil ou até impossível de ser implementado; nesses casos somente sistemas FEC podem ser utilizados (Forney-1971).

## CAPÍTULO IV

# MULTIPLEX ADAPTATIVO POR DIVISÃO EM CÓDIGOS COM CONTROLE HÍ-BRIDO DE ERROS ARQ/FEC

## 4.1 - INTRODUÇÃO

Vários sistemas de multiplexação têm sido desenvol vidos e ultimamente aperfeiçoados no sentido de aumentar a eficiência de utilização dos meios de comunicações e diminuir os custos de transmissão da informação. Muito interesse tem sido demonstrado, nos recentes anos, em relação a sistemas de multiplexação por divisão em códigos (MDC). Estes se tornam bastante atrativos, devido a possibilidade de aproveitamento da inatividade de canais, fazendo-se uma troca de capacidade de canal por capacidade de controle de erros. Em sistemas con vencionais de multiplexação, quando as fontes de informação são intermitentes, tem-se uma baixa eficiência, uma vez que, os intervalos reservados aos canais inativos, são perdidos.

Neste capítulo é feita a descrição do proposto, Multiplex Adaptativo por Divisão em Códigos com Controle Híbrido de Erros, que de uma forma adaptativa permite a troca da capacidade ociosa de canal por uma capacidade dinâmica de controle de erros. O controle de erros é obtido com a introdução

de redundância nos intervalos reservados aos canais inativos. Esta redundância é obtida através de uma combinação linear de K bits de informação com vetores-código obtidos através de funções de Walsh. A redundância introduzida é suficiente para correção e/ou deteção de possíveis erros introduzidos no canal. Desta forma, tem-se um Sistema Híbrido de Controle de Erros ARQ/FEC. Dependendo da taxa de erros no canal, pode-se obter correção direta destes erros e, quando ultrapassada a capacidade de correção, estes serão detetados e corrigidos por retransmissão.

O sistema de multiplexação proposto, tem por objetivo a transmissão de dados de uma estação Remota de até oito fontes, a uma outra estação denominada Centro. Sendo que, pe lo menos uma das fontes deve ser considerada inativa para que seja providenciado um mínimo de controle de erros.

# 4.2 - PROCESSO UTILIZADO PARA CODIFICAÇÃO E DECODIFICAÇÃO

# 4.2.1 - CODIFICAÇÃO

Serão assumidos os dados a serem multiplexados, como provenientes de fontes  $F_i$ , onde cada fonte possui j elementos

$$F_{0} = \left\{ d_{00}, d_{01}, d_{02}, \dots d_{0j} \right\}$$

$$F_{1} = \left\{ d_{10}, d_{11}, d_{12}, \dots d_{1j} \right\}$$

$$F_{2} = \left\{ d_{20}, d_{21}, d_{22}, \dots, d_{2j} \right\}$$

$$\vdots$$

$$F_{i} = \left\{ d_{i0}, d_{i1}, d_{i2}, \dots, d_{ij} \right\}$$

tem-se pois, uma matriz  $F = [d_{ij}]$  ixj onde, i = (0, 1, 2...7) e j = (0, 1, 2...7)

Tem-se uma multiplexação bit a bit, onde em cada ciclo de varredura, um determinado intervalo de tempo é reserva do a cada uma das fontes. Desta forma, após a multiplexação, tem-se palavras formadas (D;) que sempre conterão bits de todas as fontes; onde os bits de determinada fonte ocupam sempre uma mesma posição dentro da palavra D;. Assim sendo, ter se-á portanto, transmitido uma palavra completa de uma deter minada fonte, após a j-ésima varredura, isto é, um número de palavras formadas (D;) correspondentes ao número de bits de cada fonte. Uma palavra completa de cada uma das fontes F; será obtida após a transmissão da seqüência,

a que chamaremos de quadro.

Como pode-se ter algumas fontes inativas, as posições correspondentes, na palavra D;, a estas fontes, serão ocu padas por bits redundantes. Cada palavra D; será portanto co dificada em função da atividade associada às fontes e de um vetor-código associado a cada posição.

É utilizado um conjunto de funções de Walsh, forman do a matrız geradora [G] do código. O conjunto de funções de

Walsh foi escolhido, devido a seus elementos terem peso constante (exceto o primeiro) o que significa uma proteção igual a todas as posições, da palavra-código, e ainda por serem mu tuamente ortogonais, o que leva a equações de paridade linear mente independentes (Camelo, F. e Rocha Neto, I. - 1981).

Cada linha de [G], ou seja,  $W_i$ , será utilizada para o cálculo de determinado bit de paridade associado à posição inativa i. Uma vez definida a Atividade (A), pode-se encontrar a palavra-código ( $C_i$ ) a ser transmitida.

As palavras de Atividade terão o seguinte formato

		1	 	 -	1
a <sub>1</sub>	a <sub>2</sub>	a <sub>3</sub>			ai

onde  $a_i \in \{0, 1\}$ . Se  $a_i = 0$  a respectiva posição que corres ponde a  $F_i$  será considerada inațiva.

É definido o vetor  $V_j$  como sendo o vetor que contém os bits de informação relativos à  $D_j$ .

$$V_j = D_j \cdot A$$

O bit de paridade  $p_i$  associado à i-ésima posição  $\underline{i}$  nativa é calculado da seguinte forma:

$$P_{\underline{i}} = \sum_{i=0}^{n} X_{\underline{i}}$$

onde  $X_i = V_j$ .  $W_i$  e néo número de canais inativos.

Por exemplo, considerando  $A = 0 \ 0 \ 1 \ 1 \ 1 \ 0 \ 1$ , tem se,

$$p_0 = d_{2j} \oplus d_{3j} \oplus d_{4j} \oplus d_{5j} \oplus d_{7j}$$

$$p_1 = d_{2j} \oplus d_{4j}$$

$$p_6 = d_{7j}$$

O conjunto de bits  $p_i$ 's calculados em função dos bits de informação da palavra  $D_j$ , formará a palavra  $P_j$  onde, as posições ativas serão zeradas. Portanto, a palavra-código  $C_j$  é obtida pela introdução dos bits  $p_i$ 's calculados, na palavra  $V_j$ .

$$C_{j} = V_{j} + P_{j}$$

## 4.2.2 - DECODIFICAÇÃO

O processo de decodificação, consiste basicamente, em recalcular os bits de paridade (p<sub>i</sub>'s) e compará-los com os p<sub>i</sub>'s da palavra recebida. A síndrome formada indica portanto, se a palavra foi recebida com erro.

É utilizada deteção por decisão abrupta, ou seja, existe apenas um nível de decisão entre "l" e "0".

A capacidade de deteção e/ou correção é variável,

uma vez que, depende do número de canais inativos (n). Como o processo é linear, a distância de Hamming é igual a 2 quan do apenas um canal é inativo. Obtém-se portanto, a capacidade mínima do código, ou seja, deteção de apenas um erro. A correção de um erro será obtida quando A ≤ 4.

Os passos para decodificação com decisão abruptasão os seguintes:

- a) Verificar o número de canais inativos
- b) Extrair bits de paridade da palavra recebida
- c) Recalcular bits de paridade
- d) Calcular sindrome
- e) Decidir, em função da atividade utilizada, se será utilizada correção direta (FEC) ou Retransmissão (ARQ), no caso de ser detetado erro.

Se n ≥ 4 e a síndrome indica erro, este é corrigido e é calculada nova síndrome (S'). Se S' indica presença de erro ainda, é então feito um pedido de retransmissão da respectiva palavra.

A síndrome terá tantos elementos quanto o número de inatividade (n). É assumido que a posição i = 0 da palavra  $\mathbf{C}_j$  será sempre inativa, o que implica em ter-se sempre alguma paridade introduzida nesta posição. Desta forma, a síndrome sempre conterá o elemento  $\mathbf{S}_0$ . Este primeiro elemento da síndrome é calculado a partir de  $\mathbf{W}_0$  (peso total), assima sendo, quando  $\mathbf{S}_0 \neq 0$  indicará que houve erro nos bits de informação. Entretanto, mesmo com  $\mathbf{S}_0 = 0$ , se outros elementos da síndrome forem diferentes de zero, pode ter havido um número par de erros ou erro nos próprios bits de paridade.

Veja-se um exemplo de codificação e decodificação de uma palavra D, onde,

$$A = 0 1 0 0 1 0 1 0$$

$$D_{j} = 1 1 1 0 1 0 1 0 1$$

tem-se portanto:

### CODIFICAÇÃO

$$V_{j} = 0 \ 1 \ 0 \ 0 \ 1 \ 0 \ 0 \ 0$$
 $X_{0} = 0 \ 1 \ 0 \ 0 \ 1 \ 0 \ 0 \ 0$ 
 $p_{0} = 0$ 
 $x_{2} = 0 \ 1 \ 0 \ 0 \ 1 \ 0 \ 0 \ 0$ 
 $p_{2} = 0$ 
 $x_{3} = 0 \ 0 \ 0 \ 0 \ 1 \ 0 \ 0 \ 0$ 
 $p_{3} = 1$ 
 $p_{5} = 0$ 
 $p_{7} = 0$ 

logo,

$$P_{j} = 0 \ 0 \ 0 \ 1 \ 0 \ 0 \ 0$$

então,

$$C_{j} = 0 1 0 1 1 0 0 0$$

#### DECODIFICAÇÃO

Será considerado que a palavra C transmitida, é recebida com erro na 4ª posição. A palavra C recebida é então,

$$C'_{j} = 0 1 0 1 0 0 0 0$$

onde, 
$$p_0 = 0$$
;  $p_2 = 0$ ;  $p_3 = 1$ ;  $p_5 = 0$  e  $p_7 = 0$ 

Cálculo da Síndrome,

$$s_0 = p_0 \oplus p_0' = 1$$
  
 $s_2 = p_2 \oplus p_2' = 1$   
 $s_3 = p_3 \oplus p_3' = 1$   
 $s_5 = p_5 \oplus p_5' = 0$   
 $s_7 = p_7 \oplus p_7' = 0$ 

tem-se portanto,

$$S = 1 0 1 1 0 0 0 0$$

Fazendo-se as posições correspondentes às fontes  $\underline{a}$  tivas em cada linha de [G] iguais a zero, obtém-se a matriz[G']

comparando a síndrome com cada uma das linhas da matriz [G], verifica-se que  $S = W_4$ , isto é, o erro está na  $4^a$  posição da palavra  $C_J^i$  recebida.

### 4.3 - CONTROLE HÍBRIDO DE ERROS

Um Sistema Hibrido de Controle de Erros ARQ/FEC se torna bastante atrativo, uma vez que, pode-se obter um sistema com características superiores a de um sistema ARQ ou FEC separadamente. É sabido que os sistemas ARQ constituem-se na maneira mais confiável de controle de erros, entretanto, NDT (Net Data Throughput) cai bastante, quando a taxa de er ros aumenta, ou quando o tempo total para recebimento de padrão de reconhecimento é grande (Sastry e Kanal - 1976). Por outro lado, nos sistemas FEC a NDT permanece constante, à medida que a taxa de erros aumenta, embora nestas situações, a confiabilidade seja bastante baixa, devido a um aumento probabilidade de erros não detetados. Desta forma, com um sis tema hibrido pode-se obter um sistema com maior NDT que um sis tema ARQ e maior confiabilidade que um sistema FEC (Sastry e Kanal - 1976). O aumento da NDT é obtido através da diminuição do número médio de repetições, ocasionado pelo controle direto (FEC).

A correção direta (FEC) e a deteção, quando ultra passada a capacidade de correção, são desempenhadas pelo código bloco linear de redundância variável (Camelo, F. e Rocha Neto, I. - 1981) já descrito. Na fig. 4.2 tem-se um fluxograma simplificado do controle de erros no receptor.

A técnica utilizada para controle de erros por retransmissão é a de Sistemas Contínuos de Retransmissão Seletiva. É utilizado um processo de identificação para cada pala vra transmitida ou recebida, de forma a quando for detetado er ro em uma determinada palavra, poder-se pedir ao transmissor que a retransmita.

A identificação da palavra é obtida através de uma sincronização entre o Buffer do transmissor e o Buffer do receptor. No início de operação do sistema, é assegurado que os apontadores de cada um dos Buffer's estejam apontando para a posição inicial. A cada palavra transmitida e/ou recebida, os apontadores são incrementados.

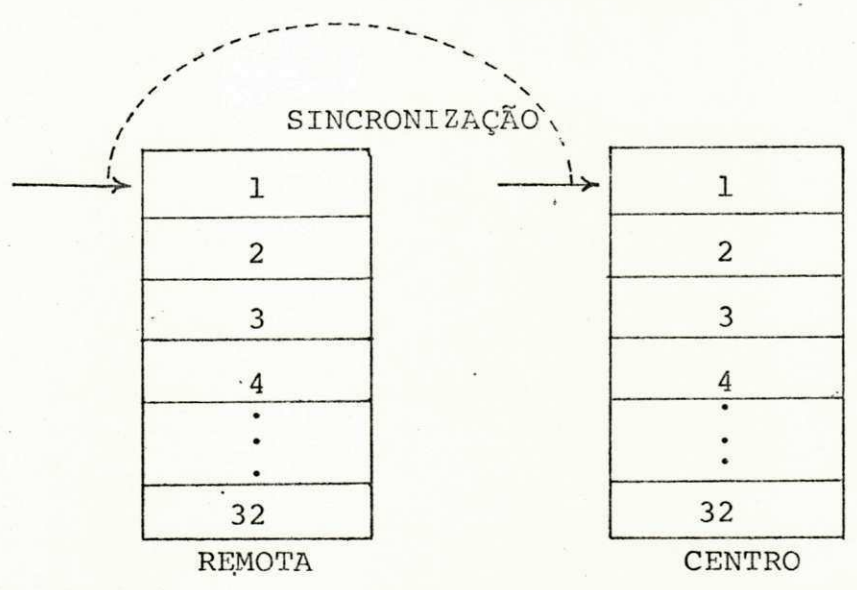


Fig. 4.1 - Ilustração da Sincronização dos Buffers.

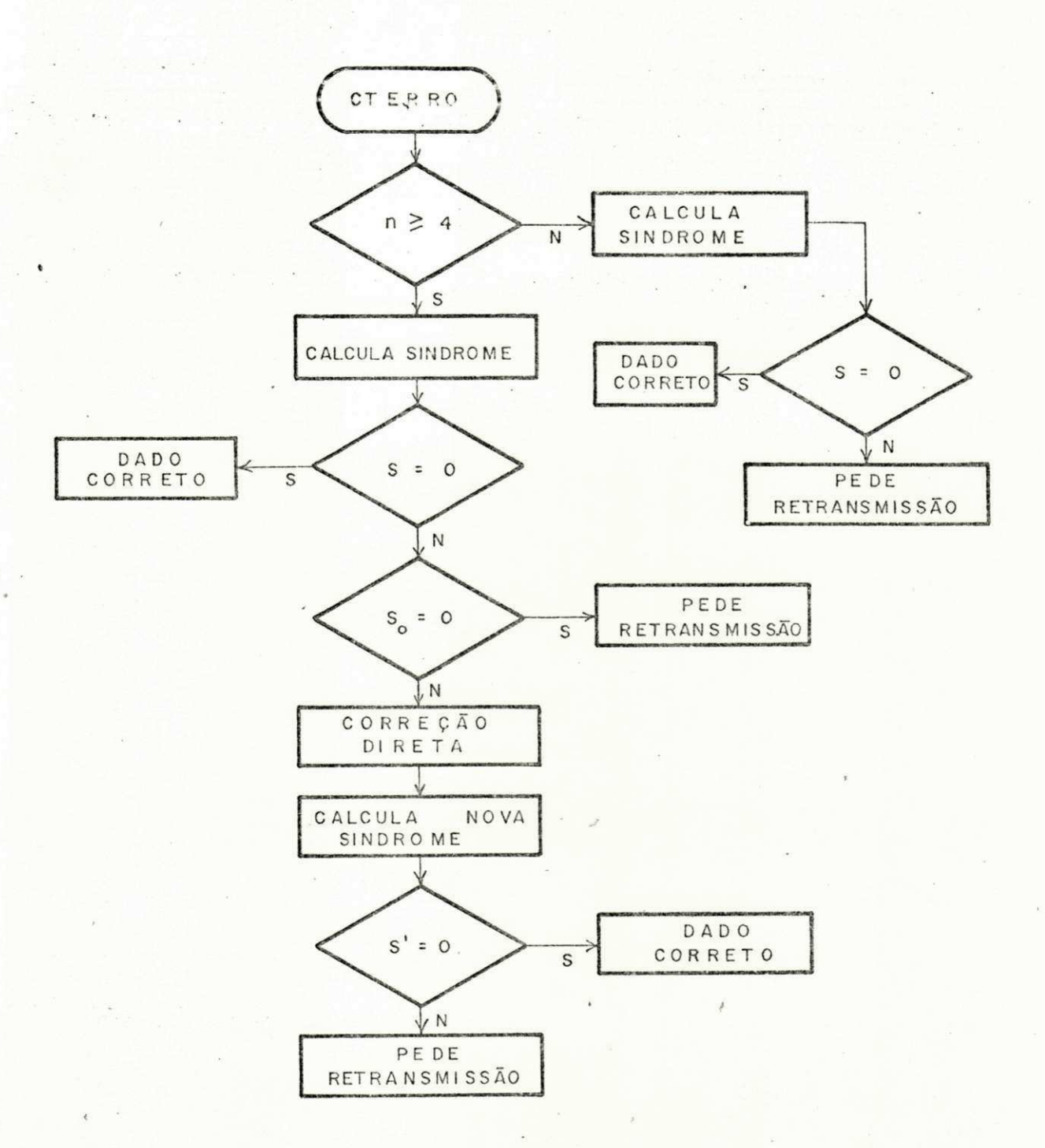
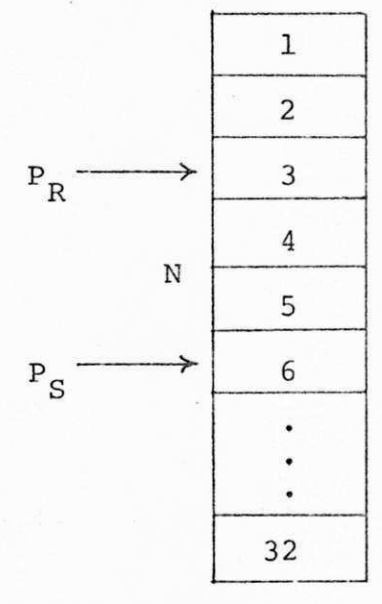


FIG. 4.1 - FLUXOGRAMA DO CONTROLE DE ERROS NO RECEPTOR

O pedido de retransmissão ("NACK") deve ser, de for ma tal, a informar ao transmissor que palavra específica está sendo requisitada. Entretanto, até o momento de recebimento de um "NACK", várias palavras poderão ter sido transmitidas e es tas não serão consideradas no receptor. Surge portanto, a ne cessidade de se saber não apenas a partir de que palavra deve o transmissor começar a retransmissão, mas também, até que palavra deve ser retransmitida. Isto é conseguido através do cálculo do OFF-SET entre a posição da palavra requisitada e a posição para a qual o apontador está indicando ao receber o "NACK". O valor do OFF-SET será o número N de palavras a se rem retransmitidas. Tem-se que o valor de N não é fixo e se acomoda adaptativamente em função do tempo de atraso total (T) de recebimento de um "NACK". Na fig. 4.3 é vista uma ilus tração deste processo de retransmissão.



 $\mathbf{P}_{\mathbf{R}}$  é a palavra requisitada

 $P_S$  é a última palavra transmitida até chegar o "NACK".

Fig. 4.3 - Ilustração do processo de retransmissão.

O "NACK" é codificado através do mesmo código util<u>i</u> zado para a codificação de dados. As três primeiras posições da palavra são ocupadas por bits de paridade. No processo de codificação é assumida uma palavra de atividade fixa

A = 0 0 0 1 1 1 1 1 onde as três primeiras posições são con sideradas inativas. Tem-se portanto,  $2^5$  palavras endereçaveis, o que corresponde a um Buffer de tamanho mínimo de 32 palavras.

## 4.4 - DESCRIÇÃO GERAL DO SISTEMA PROPOSTO

Na fig. 4.5 é mostrado o diagrama de blocos do sistema proposto. Na Remota os bits de informação são entregues simultaneamente pelas fontes  $F_0$ ,  $F_1$ , ...  $F_7$  de maneira serial e lidos paralela e ciclicamente pelo multiplex. Os dados agrupados em palavras de oito bits são então codificados, armazenados e entregues à interface de linha para serem transmitidos. No Centro os dados são recebidos através da interface de linha. Em seguida, são decodificados, demultiplexados e armazenados em um Buffen de recepção para posterior utilização.

O formato de transmissão de dados na direção REMOTA /CENTRO é mostrado na fig. 4.4.

	T T		1	 	
SINC	CONTROLE	C <sub>1</sub>	Co		C1024
		_	4		1 1024

Fig. 4.4 - Formato de transmissão REMOTA/CENTRO.

A primeira palavra do frame é uma palavra de sincro nismo que indica ao receptor o início de um ciclo de mensagens. Após o sincronismo, tem-se um campo para palavras de controle que indicam ao centro mudanças em situações normais de transmissão, tais como retransmissão de dados, mudança de atividade ou comando executado.

REMOTA CENTRO

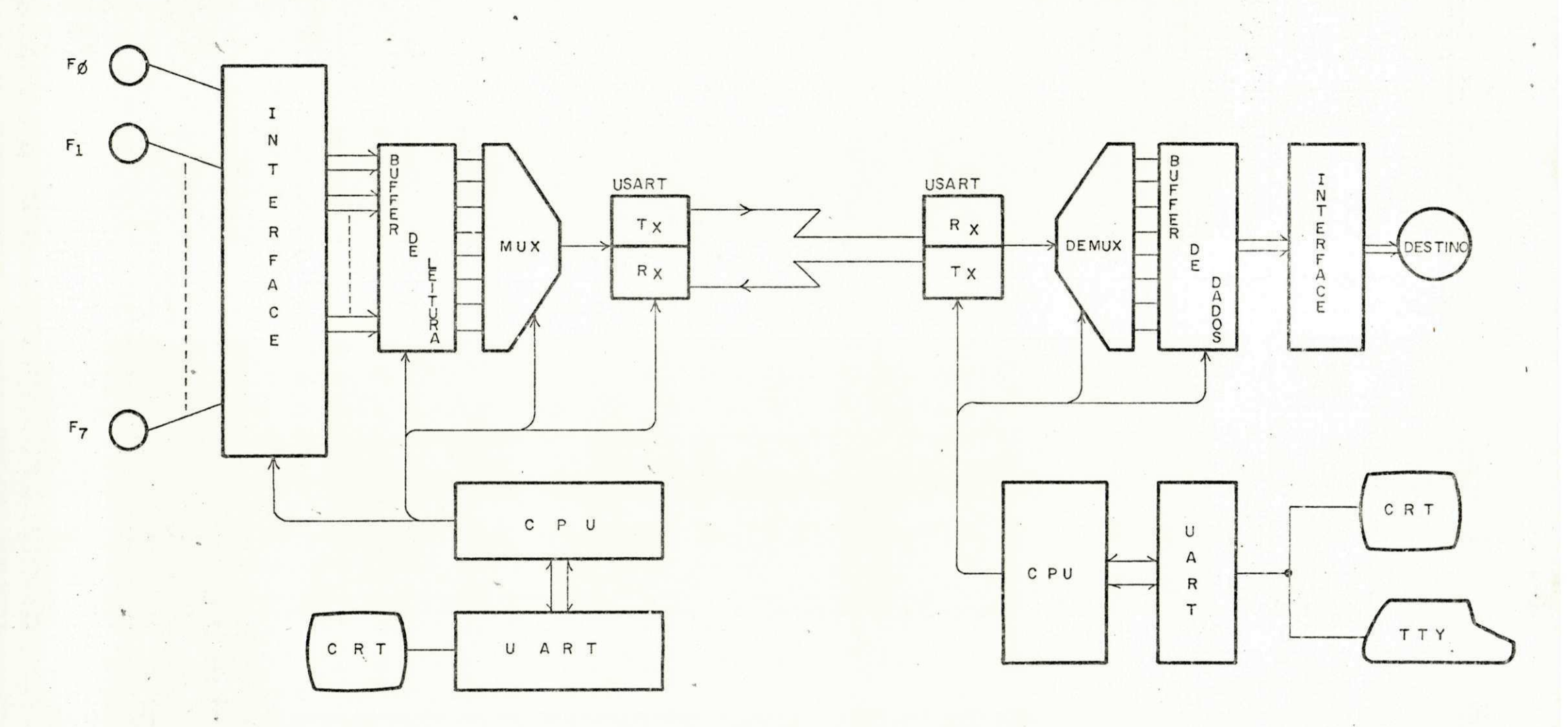


FIG. 4. 5 - DIAGRAMA DE BLOCOS DO SISTEMA

PALAVRAS DE CONTROLE

							-		
DENOMINAÇÃO		C	DD:	IF:	IC2	AÇÂ	CŽ		
TXNORM	1	1.	1	0	0	Q	0	0	
MUDATV	0	0	1	1	1	0	0	Q	
RPDADO	. 1	0	0	1	0	0	0	1	
CMEXTD	0	1	0	0	0	1	1	0	
RPCOM	0	0	0	0	1	1	1	0	
				-22					

Tab. 4.1 - Palavras de Controle

O processo de codificação das palavras de controle é tal que pelo menos quatro erros precisam ocorrer, por palavra, para que uma palavra se transforme em uma outra palavra válida.

Conforme é visto na fig. 4.4, após o cabeçalho (SINC + CONT.), tem-se a transmissão de um super quadro (1024 palavras) que correspondem a 128 quadros, ou seja, um igual número de palavras completas transmitidas de cada uma das fontes  $F_i$ 's.

O formato da transmissão de dados na direção CENTRO /REMOTA é visto na fig. 4.6.

	IDENTIFICAÇÃO	ENDEREÇO			
SINC	DO	DO			
	COMANDO	COMANDO			

Fig. 4.6 - Formato de Transmissão - CENTRO/REMOTA.

A palavra de sincronismo assegura o sincronismo na linha. Em seguida, é enviada uma palavra que define que comando está sendo transmitido, vindo logo após, o endereço ou

especificação do comando.

O Centro tem capacidade de transmissão de até 16 comandos. Dentre estes, 13 comandos podem ser utilizados para funções diversas, a serem definidas dependendo da aplicação. Temos que cada comando pode ser endereçado a até 32 pontos diferentes. Os três comandos restantes, são utilizados para controle entre o centro e a remota, tais como: controle de erros, controle de protocolo e definição de atividade.

A codificação de uma palavra de comando é feita forma semelhante à codificação de dados. É assumido uma pala vra de atividade A = 0 0 0 1 1 1 1 1 onde nas três primeiras posições é colocada a redundância. Vê-se portanto, que a dundância introduzida é suficiente apenas para deteção de ros e não correção. Desta forma ao ser detetado erro em um comando recebido na remota, é feito um pedido automático retransmissão. Os cinco últimos bits da palavra de endereçamento do comando são utilizados para o endereçamento propriamente dito. Tem-se portanto, uma capacidade de 2<sup>5</sup> endereços possíveis. Entretanto, o campo de endereçamento de um comando que define a atividade (CATV), tem características diferen tes. Nesta palavra de endereçamento, tem-se que, cada ção corresponde a uma determinada fonte de informação na remo ta. Assim sendo tem-se: à posição 0, corresponde Fo; à posi ção 1, corresponde  $F_1$  etc. A presença de um bit "0" em determinada posição corresponde a inatividade da respectiva fonte. Como é necessário que pelo menos uma fonte seja consi derada inativa, é fixada como inativa, sempre, a fonte Fo.Des ta forma, a primeira posição da palavra de atividade será uti lizada para introdução de redundância com vistas a controle de erros. Na fig. 4.7 é mostrado o formato de endereçamento de um Comando Atividade.

- 0	1	2	3	4	5	6	. 7
P	X.	Х	Х	· X	Х	Х	X

X = 0 fonte correspondente é Inativa

X = 1 fonte correspondente é Ativa.

Fig. 4.7 - Formato de Comando Atividade.

# 4.5 - DESCRIÇÃO DE FUNCIONAMENTO E OPERAÇÃO DO CENTRO

Na fig. 4.8 é mostrado um fluxograma geral de opera  $\tilde{c}$ ão e funcionamento do Centro.

O Centro é inicializado após um comando local de RESET. Após este comando, aparecerá na tela do terminal de video o seguinte,

#### MUX. ADAP. / CENTRO

primeira mensagem transmitida pelo Centro.

Em situação normal, a primeira mensagem recebida pelo Centro deve ser precedida da palavra de controle, MUDATV, indicando que a atividade transmitida foi recebida corretamente na estação Remota. Caso contrário, uma outra palavra de controle (RPCOM), será recebida indicando que o Centro deve retransmitir a atividade enviada. Entretanto, a própria palavra de controle pode ser recebida degenerada, portanto, nenhuma das duas palavras de controle possíveis é recebida. Neste caso, um novo comando é transmitido pelo Centro, solicitando a retransmissão do controle.

Após a confirmação de que a atividade foi recebida corretamente, o Centro espera a próxima palavra e testa se es ta é um dado ou um controle. Se é um controle, este é identificado e executado. Se é um dado, inicia-se um processo de decodificação em função da atividade enviada. Se é detetado um erro, este será corrigido automaticamente (FEC); caso o número de canais ativos seja menor ou igual a quatro (A  $\leq$  4). Se mais de um erro está presente por palavra, ou A > 4, o Centro fará um pedido automático de retransmissão (ARQ). Os dados recebidos corretamente ou corrigidos, serão armazenados no Buífer de recepção.

A qualquer instante o operador pode carregar, via Terminal de Video, novos comandos. Estes são atendidos por "polling", sempre após a recepção de um dado, corretamente.Os comandos atendidos são codificados, armazenados e transmitidos. Sempre que um comando não válido for carregado, o terminal se rá sinalizado. O Centro é também sinalizado quando um comando transmitido foi executado na Remota.

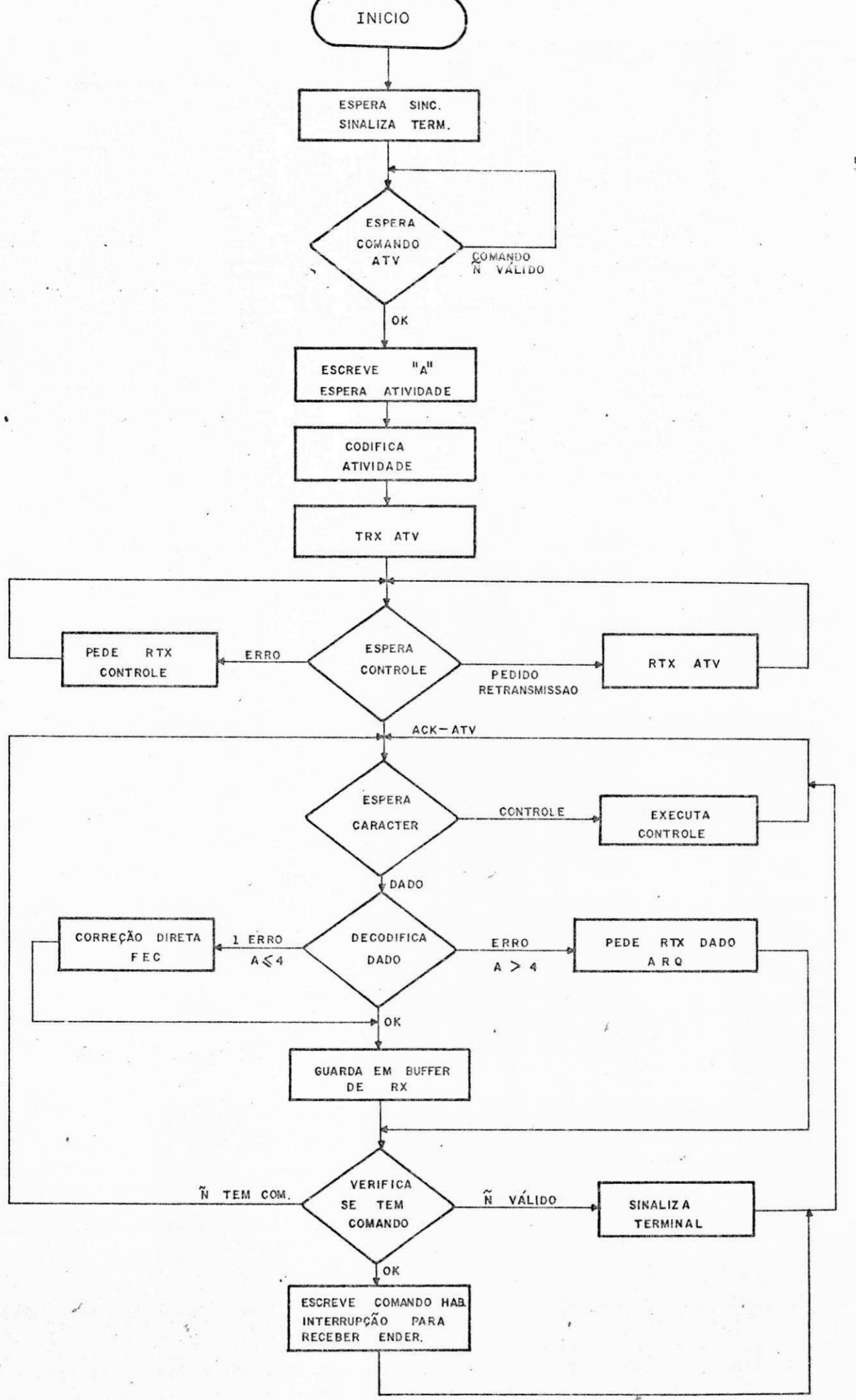


Fig. 4.8 - FLUXOGRAMA GERAL DE OPERAÇÃO-CENTRO

## 4,6 - DESCRIÇÃO DE FUNCIONAMENTO E OPERAÇÃO DA REMOTA

O funcionamento e operação da estação Remota é mos trado na fig. 4.9.

A inicialização se dá de maneira semelhante ao Centro, isto é, com um comando local de "RESET". Após este comando aparecerá no terminal de vídeo, o seguinte,

#### MUX. ADAPT. / REMOTA

Em seguida, a Remota espera sincronismo. O operador saberá da presença de sincronismo na linha, ao aparecer o caracter "S" na tela. Efetivado o sincronismo, é esperado um Comando Atividade (CATV). Este comando ao ser recebido, é então, decodificado. Se detetado erro, é feito um pedido automático de retransmissão, caso contrário, a atividade é armazenada para posterior utilização na codificação dos dados a serem transmitidos.

A primeira mensagem transmitida ao Centro é precedida da palavra de controle, MUDATV, indicando que a palavra de atividade foi recebida corretamente. Esta palavra de contro le será também sempre transmitida quando, já em regime normal de operação, houver uma mudança de atividade. Sempre após 1024 palavras de dados, será transmitida alguma palavra de controle. Se não houve nenhum comando recebido tal como nova a tividade (CATV) e pedido de retransmissão (CARQ), a palavra de controle transmitida é TXNORM, indicando uma situação normal de transmissão. Ao ser recebido um comando de nova atividade (CATV), a respectiva atividade é armazenada e após completado um ciclo de informações (1024 palavras), será utiliza da para codificação de novos dados. Só então sera transmitida a palavra de controle, MUDATV. Um comando de pedido de re

transmissão (CARQ), ao ser recebido, é atendido prontamente, não sendo portanto necessário, esperar que seja completado o ciclo de informações. A retransmissão dos dados é precedida pela palavra de controle RPDADO, indicando portanto que o ciclo normal de informações foi interrompido. A retransmissão se dará até a última palavra ignorada pelo Centro. A partir des te ponto, o ciclo de informações interrompido, será reiniciado no ponto de interrupção.

Cada dado, após codificado, é transmitido e armazenado com vistas a possíveis retransmissões.

Os dados iguais às palavras de sincronismo serão du plicados na linha de forma a que no Centro, sempre que forem recebidas duas palavras de sincronismo consecutivas, uma delas seja considerada um dado e a outra ignorada.

Após a transmissão de cada dado é verificado se foi recebido algum comando. Os comandos recebidos são decodifica dos e quando detetado erro, é feito um pedido automático de retransmissão. Os comandos recebidos corretamente são pronta mente atendidos.

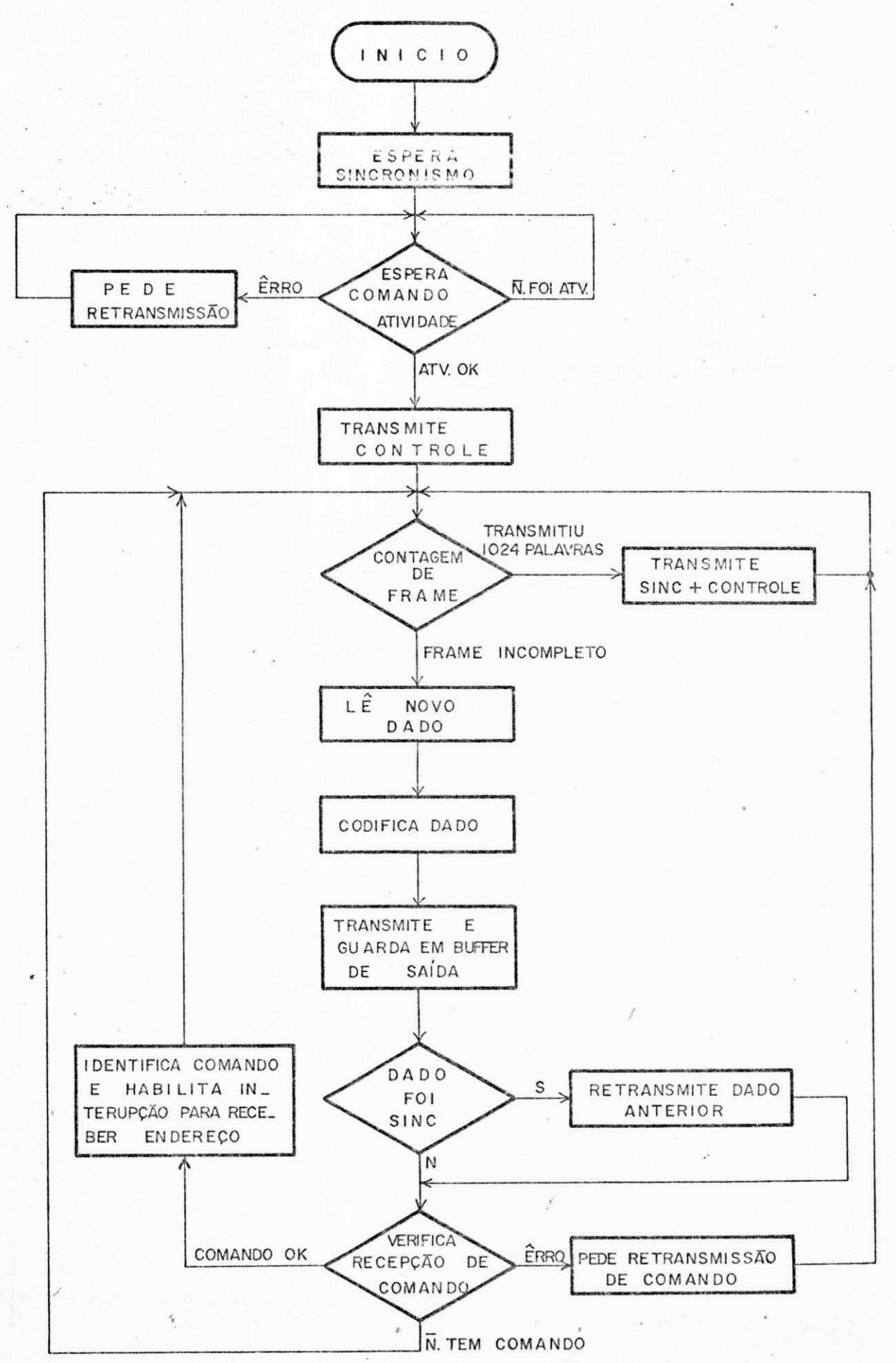


FIG. 4.9 - FLUXOGRAMA GERAL DE OPERAÇÃO - REMOTA

## CAPÍTULO V

# CONSIDERAÇÕES SOBRE A IMPLEMENTAÇÃO DO MARDWARE

## 5.1 - INTRODUÇÃO

A partir da década de 70, com o advento dos micro processadores, muitas aplicações que utilizavam minicomputado res ou até computadores de grande porte, puderam dispor das potencialidades dos microprocessadores, estas aplicações a cada dia se multiplicam, devido a sua versatilidade e baixo custo. Em algumas aplicações, tais como sistemas superviso rios e de controle de processos, os microprocessadores se mos tram bastante atrativos. Isto se da, pelas características de capacidade de aquisição de dados de sensores ou fontes diver sas, ativação de atuadores e a mais importante, qual seja a capacidade de processamento dos dados obtidos, com vistas a uma tomada de decisões. Esta última característica é bastante importante devido à tendência de utilização de sistemas des centralizados.

O processamento após a aquisição e/ou supervisão de dados em terminais remotos se constitui normalmente, em um fator de bastante necessidade, pois além da possibilidade de algumas decisões poderem ser tomadas pelo próprio microprocessa dor, existe sempre a necessidade de processamento dos dados

com vistas a um aumento de confiabilidade, quando os dados são transmitidos a um processador central à distância. Em sis temas de telemetria e telesinalização, por exemplo, os centros de coleta de informações encontram-se normalmente a distâncias consideráveis, sendo portanto necessário um processamento com vistas à introdução de redundância na informação, para obtenção de um controle de erros no canal.

Na implementação do sistema proposto de multiplexação com controle híbrido de erros, é utilizado o microprocessador MC-6800 da Motorola. Este microprocessador foi escolhido devido a fatores tais como: custo, disponibilidade no mercado e existência de uma infraestrutura de apoio a projetos. Neste capítulo é descrita a implementação do Hardware do sistema proposto.

### 5.2 - ARQUITETURA DO SISTEMA

O sistema de multiplexação proposto foi implementa do segundo a arquitetura mostrada nas figs. 5.1 e 5.2, onde se vê o diagrama de blocos do Centro e Remota, respectivamente. De uma maneira geral, tanto o Centro quanto a Remota são constituídos pelas seguintes unidades:

- UNIDADE CENTRAL DE PROCESSAMENTO (UCP)
- UNIDADE DE MEMÓRIA RAM/EPROM
- INTERFACE DE ENTRADA/SAÍDA
- INTERFACE DE LINHA
- BUFFER DE DADOS.

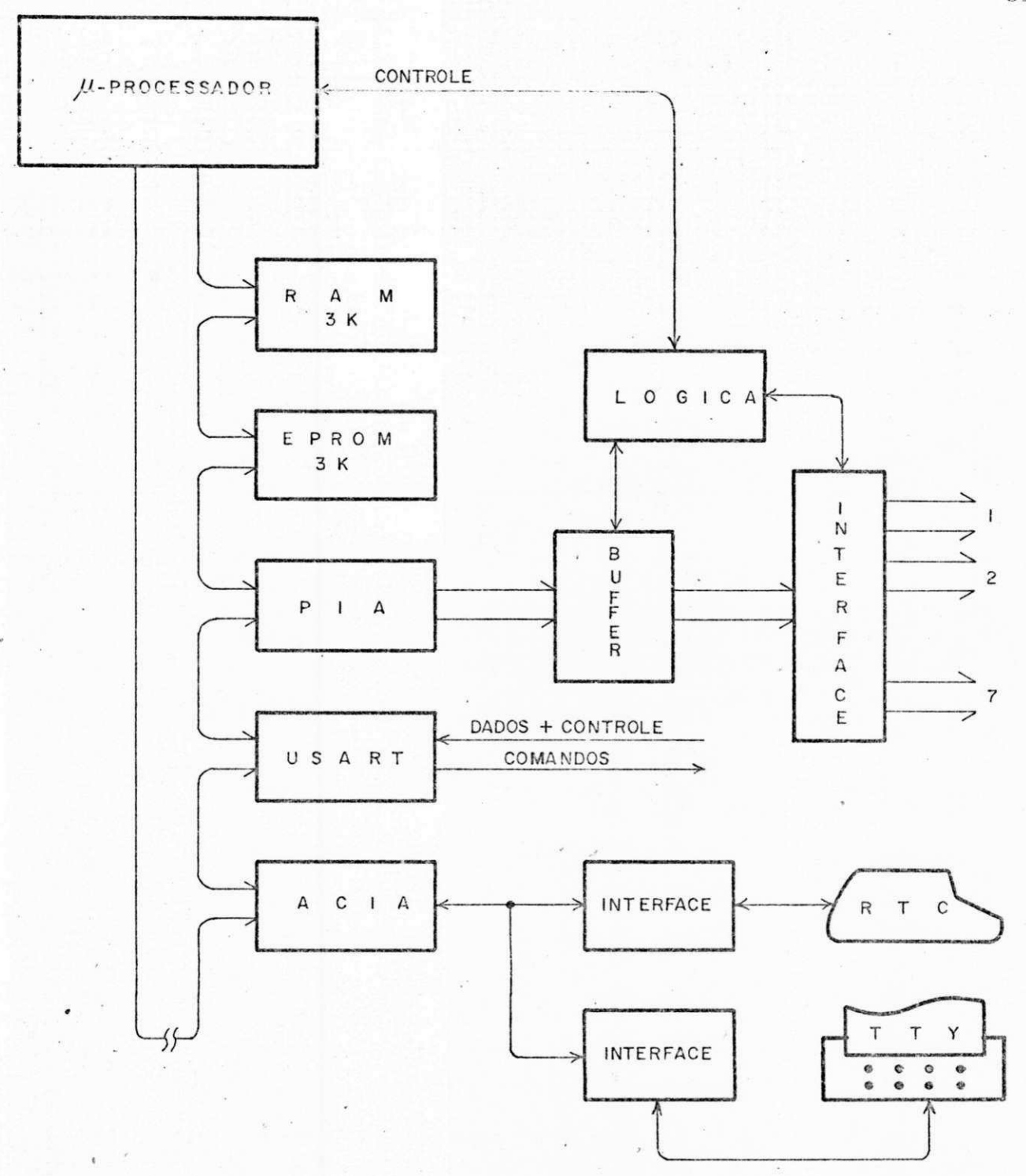


FIG. 5. I - DIAGRAMA DE BLOCOS DO HARDWARE - CENTRO

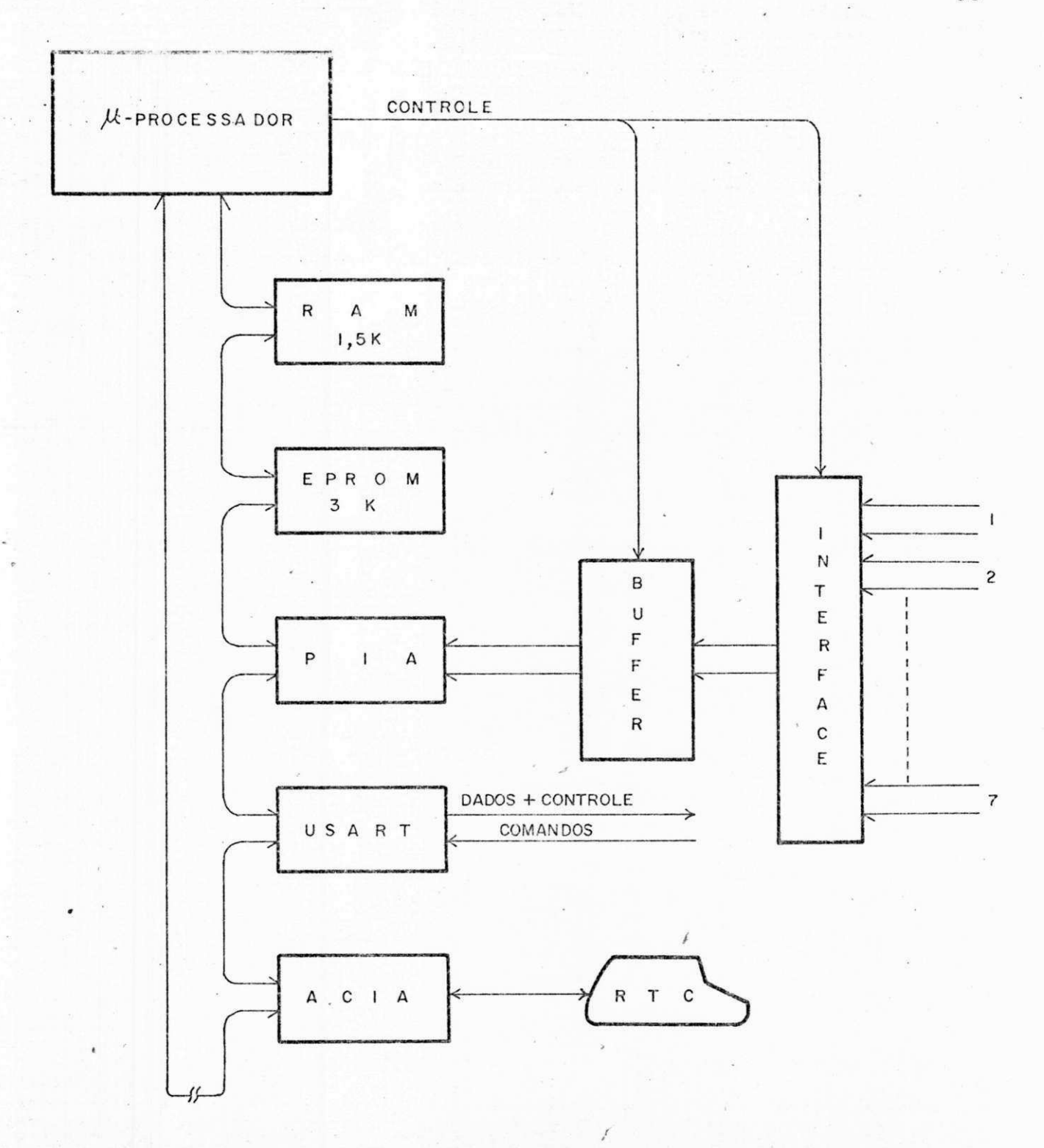


FIG. 5. 2 - DIAGRAMA DE BLOCOS DO HARDWARE - REMOTA

#### 5.2.1 - UNIDADE CENTRAL DE PROCESSAMENTO (UCP.)

A UCP é composta do microprocessador MC 6800 da Motorola, circuito de "clock", circuito de Auto/Reset, interface das vias e controle, como mostra a fig. 5.4. Os circuitos são apresentados no Apêndice I (fig. AI.1).

#### 5.2.1.1 - O MICROPROCESSADOR

O MC 6800 é um microprocessador fabricado em tecnologia N MOS dinâmica, compatível com TTL. Apresenta via de dados bidirecional de 8 bits e via de endereços unidirecional com capacidade de endereçamento de até 64 Kbytes. Possui um forte conjunto de 72 instruções de comprimento variável (de la 3 bytes). O número de bytes depende da instrução particular e do modo de endereçamento. Este último pode ser: inerente, imediato, direto, estendido, relativo ou indexado. Possui seis registradores internos a saber: 2 acumuladores (ACCA e ACCB), registrador de indexação (X), contador de programa (PC), apontador de pilha (SP) e registrador de código de condições (CCR). Aceita interrupções por Software e Hardware. As interrupções são atendidas por quatro vetores: RESET, NMI, IRQ e SWI.

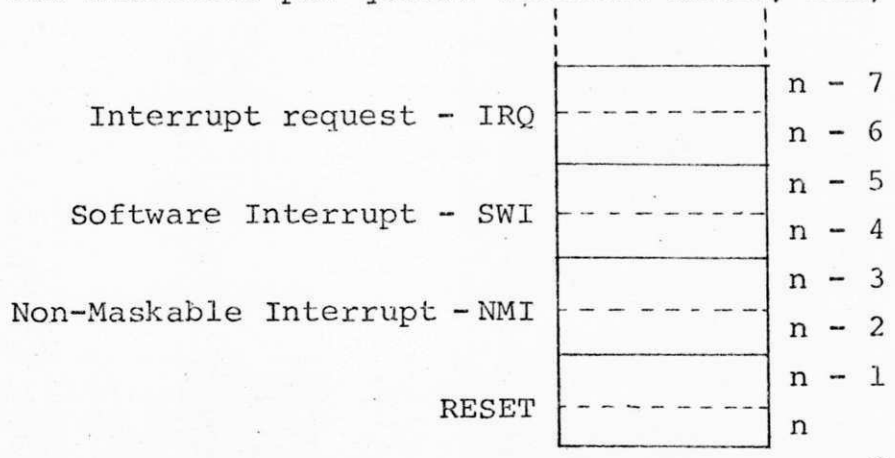


Fig. 5.3 - Vetores de Interrupção

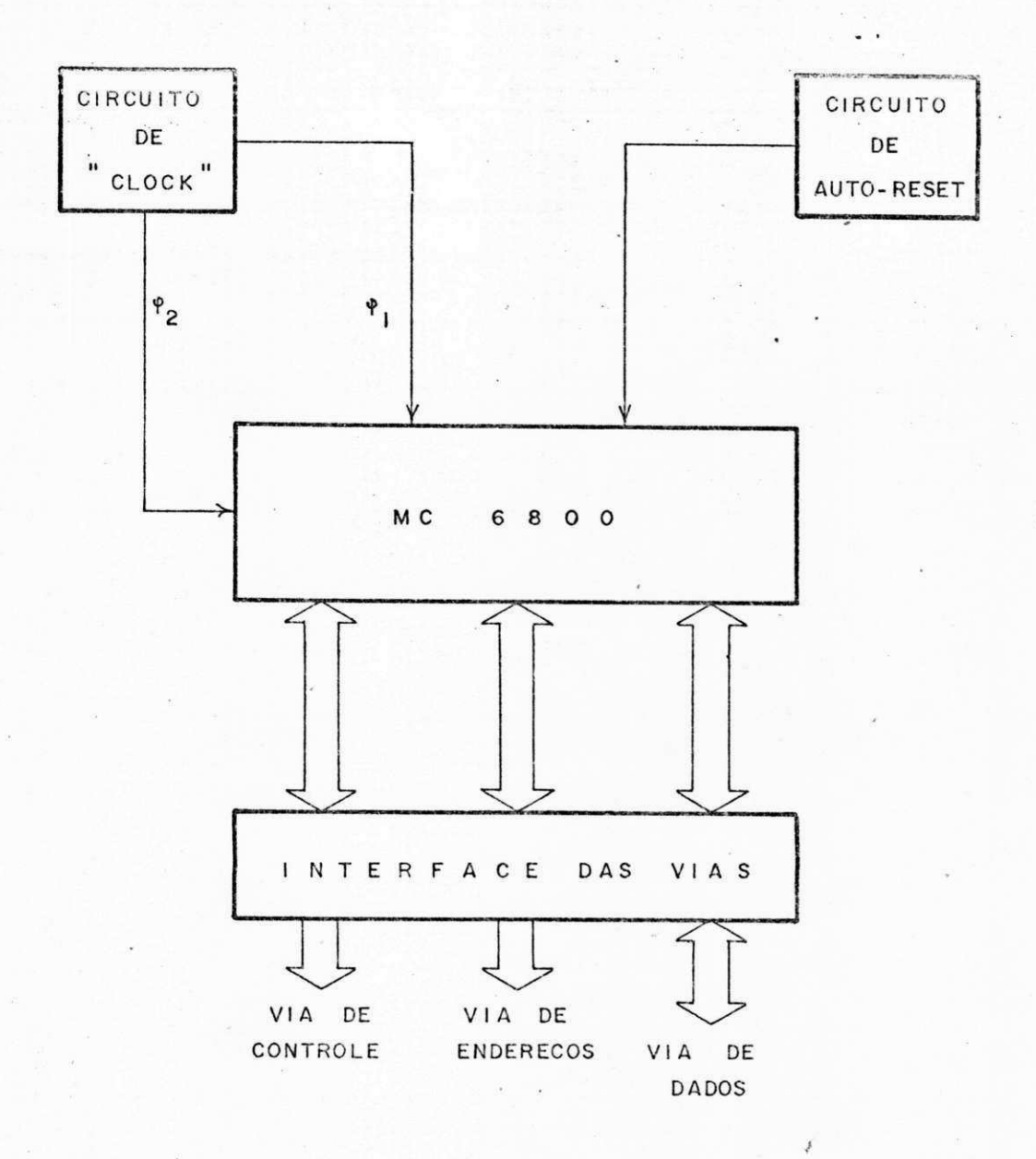


FIG. 5.4 - DIAGRAMA DE BLOCOS DA UCP

- . RESET É uma interrupção por Hardware que serve como con trole, para inicializar o sistema. O PC é carregado com o èndereço definido pelos conteúdos das posições de memória n e n 1.
- NMI É uma interrupção por Hardware não mascarável, ou seja, será prontamente atendida. O PC é carregado com o endereço definido pelos conteúdos das posições de memória n 2 e n 3.
- . SWI É uma interrupção por Software. Se constitui em <u>u</u> ma instrução do microprocessador. Após a sua exec<u>u</u> ção, o PC é carregado com o endereço definido pelos conteúdos das posições de memória n 4 e n 5.
- . IRQ É semelhante a um NMI com a diferença que o seu aten dimento é mascarável. O PC é carregado com o ende reço definido pelos conteúdos das posições de memória n - 6 e n - 7.

#### 5.2.1.2 - CIRCUITO DE "CLOCK"

Este circuito fornece os sinais  $\phi_1$  e  $\phi_2$  para o  $\mu P$ . Estes sinais são gerados por um oscilador a cristal (f = lMz), utilizando o circuito integrado 74124 (ver CI 8 da fig.AI-1), que consiste de dois VCO's ("Voltage-Controlled Oscillators").

Os sinais  $\phi_1$  e  $\phi_2$  são defasados de  $180^{\circ}$  e são aplicados às respectivas entradas do  $\mu P$ . O sinal  $_2$  é também utilizado, juntamente com o sinal de controle VMA (Valid Memory Address). Estes dois sinais quando válidos conjuntamente, ativam as entradas de seleção ou endereçamento dos diversos periféricos do sistema.

#### 5.2.1.3 - CIRCULTO DE AUTO-RESET

Este circuito é o responsável pela inicialização do sistema, quando é desejável que esta seja automática. Isto se dá quando da energização ou reenergização, no caso de ter ha vido falha na alimentação. É implementado com o "Timer"LM555 que garante o atraso mínimo necessário de 8 ciclos do "clock" do sistema, no nível lógico baixo, para que o sistema seja i nicializado.

#### 5.2.1.4 - INTERFACE DAS VIAS

A interface das vias de endereços e dados é proporcionada por "Driver", de três estados ("Three State"), que proporcionam um maior "fannout" para o sistema. Na interface das vias de endereços são utilizados "Drivers" unidirecionais que estão sempre habilitados. Nas vias de dados, os "Drivers"são bidirecionais e são habilitados pelos sinais  $\phi_2$ , VMA e  $R/\overline{W}$ .Os dois primeiros sinais são utilizados para assegurar a habilitação somente quando o endereço é válido para as memórias e somente durante o ciclo de transferência de dados. O último sinal é utilizado para definir a direção dos dados. São utilizados os CI's 74365 e 82516 para as interfaces das vias de endereços e dados respectivamente.

#### 5.3 - UNIDADE DE MEMÓRIA

A unidade de memória do sistema é constituída de de codificadores de endereços, memórias RAM'S e memórias EPROM'S,

conforme mostra a fig. AI-2 (Apêndice I).

Os decodificadores de endereços utilizados foram de multiplexadores de 1:8. Estes possibilitam uma expansão da unidade de memória sem grandes dificuldades. Para as memórias RAM's foi utilizado o CI 74138 e para as memórias EPROM's o CI 74142.

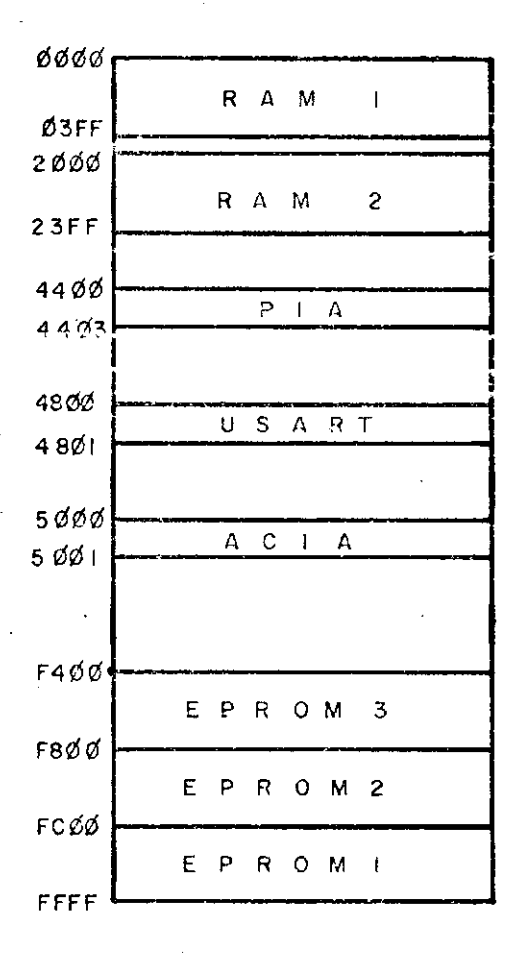
O arranjo de memórias RAM é constituido por memórias RAM's estáticas de 1K x 4 cada. No Centro tem-se 6 CI's e na remota 4. Desta forma, tem-se arranjos de 3K x 8 e 2K x 8 para o Centro e Remota, respectivamente. Foram utilizados para estes arranjos, as memórias RAM's 2114. A escolha destas memórias se deu por três fatores: sua velocidade, disponibilidade no mercado e alta compactação no armazenamento.

O arranjo de memórias EPROM's é constituído, tanto no Centro quanto na Remota, por três memórias de 1 Kbytes. Obtém-se, portanto, arranjos de 3 Kbytes. Estes arranjos foram implementados com memórias EPROM 2708. Estas memórias foram escolhidas, basicamente, pela disponibilidade de equipamento para programação.

O mapa de memórias do sistema é mostrado nas figs. 5.5 e 5.6. O mapeamento foi feito de maneira a utilizar-se as primeiras páginas para as memórias RAM's e as últimas páginas para as memórias EPROM's. As memórias RAM's são utilizadas  $\infty$  mo rascunho e Buffet de dados. Nas memórias EPROM's, tem-se: tabelas, programas de processamento e controle e programa monitor. As locações intermediárias do mapa de memórias são utilizadas para endereçamento de dispositivos periféricos(PIA's, ACIA's e USART's).

	A <sub>15</sub>	A <sub>14</sub>	A <sub>13</sub>	A <sub>12</sub>	AII	A <sub>IO</sub>	A9	A <sub>8</sub>	A <sub>7</sub>	Α6	A <sub>5</sub>	A 4	Az	A <sub>2</sub>	A	Aø
RAM I	0	0	0	0	0	0	х	х	х	X	х	х	Х	×	X	X
RAM 2	0	0	0	0	0	1	x	X	X	Х	×	Х	X	x	х	X
RAM 3	0	0	0	0	1	0	х	Х	Х	х	x	х	х	X	x	×
PIA	0	1	0	0	0	0	0	0	0	0	0	0	0	0	0	X
ACIA [	1	1	0	0	0	0	0	О	0	0	0	0	0	0		X
USART	I,	0	0	0	0	0	0	0	0	0	0	0	0	0	0	×
PROM 3	ı	1		1	0	I	х	х	X	X	Х	X	X	х	x	х
PROM 2		1 .			1	0	x	Х	Х	X	х	X	х	Х	×	×
PROM1			ı	ı	ı	i	x	x	х	х	×	×	x	x	x	×

FIG. 5. 6 - MAPA DE MEMORIA - CENTRO



•	A <sub>15</sub>	A <sub>14</sub>	A <sub>13</sub>	A <sub>I2</sub>	A <sub>II</sub>	A <sub>IO</sub>	A <sub>9</sub>	A 8	Α7	A <sub>6</sub>	A <sub>5</sub>	A 4	Α3	A <sub>2</sub>	A <sub>1</sub>	Αø
RAM I	0	0	0	0	0	0	x	х	x	×	х	х	×	х	×	X
RAM 2	0	0	1	0	0	0	х	х	х	х	×	х	Х	x	X	Х
AJ9	0	ļ	0	0	0	ı	0	0	0	0	0	0	0	0	x	х
ACIA	O		o	ı	0	0	0	0	0	0	0	0	0	0	0	×
USART	0	ı	0	0	0	1	0	0	0	0	0	0	0	0	0	×
EPROM3	l	ł	-	1	0	ı	х	Х	х	х	х	×	х	х	Х	×
EPROM 2	1	1	l	l	1	0	х	x	Х	х	х	Х	Х	Х	Х	х
EPROM1	1	ł	1		ı	I	X	X	х	х	Х	х	X	х	х	Х

#### 5.4 - INTERFACES DE ENTRADA E SAÍDA (E/S)

Como interfaces de E/S foram utilizadas PIA's (Peripheral Interface Adapter) MC 6820 e ACIA's (Assynchronous Communications Interface Adapter) MC 6850, ambos de fabricação da Motorola.

#### 5.4.1 - INTERFACE PARALELA

As PIA's são utilizadas para proporcionarem a cone xão paralela de periféricos a um processador. Uma PIA é cons tituída por dois grupos de registradores simétricos e indepen dentes (A e B). Cada um destes grupos é constituído de 3 re gistradores: registrador de dados, registrador de controle registrador de direção de dados. O endereçamento de cada um destes registradores é feito por Software. Estes registros são tratados como locações de memória, podendo-se escrever ou ler nos mesmos. Cada grupo de registradores (A e B), possui nas 2 endereços. Um endereço é relativo ao registro de trole e o outro endereço aos registros de direção de dados e registro de dados. A escolha entre um destes dois últimos feita através do bit b, do registro de controle. O fluxo de dados na saída da PIA utiliza a própria via de dados do siste ma. A entrada R/W da PIA controla a direção deste fluxo. lado do periférico o fluxo de dados é também bidirecional e a direção deste fluxo é determinada pelo registro de direção de dados.

A seleção do CI é feita através de três entradas: CSO, CSI e CS2. Outras duas entradas, RSO e RSI, são usadas para o endereçamento dos registros específicos da PIA. Nas

figs. 5.7 e 5.8 tem-se, respectivamente: uma tabela de endere çamento e um diagrama de E/S da PIA.

#### 5.4.2 - INTERFACE SERIAL

A ACIA é um circuito programável que proporciona uma conexão paralelo/série entre um processador e um periférico. A comunicação é feita no modo assíncrono. Esta interface foi utilizada para conexão entre o  $\mu P$  e um terminal de  $v\underline{i}$  deo.

A ACIA possui quatro registradores internos: registrador de controle, registrador de "status", registrador de transmissão de dados e registrador de recepção de dados. Es tes registradores são vistos pelo processador como apenas 2 locações de memória. Existe portanto, apenas uma entrada pa ra endereçamento, RS, que selecionará sempre um par de registradores. Dentre um par selecionado, um determinado registrador específico é selecionado através da entrada R/W. Existem outras três entradas de selecionamento (CSO, CS1 e CS2) que são utilizadas para seleção do CI.

Na conexão com o processador o fluxo de dados é fei to através da própria via de dados do sistema e a direção des te fluxo é controlada através da entrada R/W. Na conexão com o periférico, tem-se duas linhas seriais utilizadas para o fluxo dos dados: transmissão de dados e recepção de dados. São também disponíveis duas entradas de "clock", uma para transmissão e outra para recepção. Nas figs. 5.9 e 5.10, tem-se respectivamente: uma tabela de endereçamento e um diagrama de E/S da ACIA.

REGISTRADORES	CS2	CSI	csø	RSI	RSØ	b <sub>2</sub>
REG. DE DIREÇÃO DE DADOS - A	0	I	1	0	0	0
REG. DE DADOS - A	0	. 1	1	0	0	- 1
REG. DE CONTROLE - A	0	1	1	0	ı	х
REG. DE DIREÇÃO DE DADOS - B	0	1	1	I	0	0
REG. DE DADOS - B	О	1.	. 1	1	. 0	1
REG. DE CONTROLE - B	0	1	1	- 1	1	Х

FIG. 5.7 - TABELA DE ENDEREÇAMENTO DA PIA

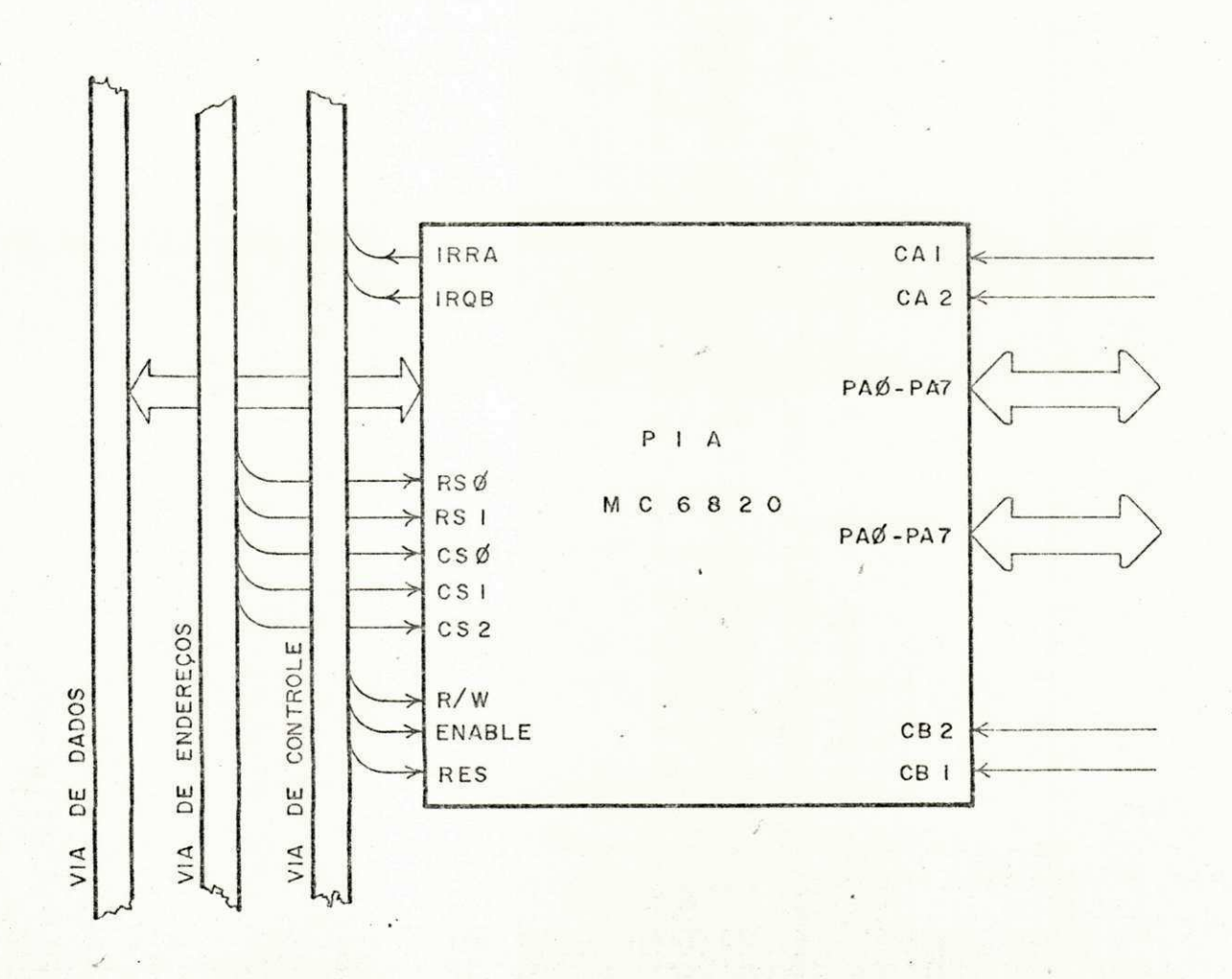


FIG. 5.8 - DIAGRAMA DE E/S DA PIA

REGISTRADOR	CS2	CSI	cso	R S	R∕₩	FOR MA DE ACESSO
REG. DE CONTROLE	0		ı	0	0	ESCRITA
REG. DE "STATUS"	o	1	1	0	1	LEITURA
REG. DE PECEPÇÃO	0	ı	1	1	1	LEITURA
REG. DE TRANSMISSÃO	0	1	1	1	0	ESCRITA

FIG. 5.9 - TABELA DE ENDERECAMENTO DA ACIA

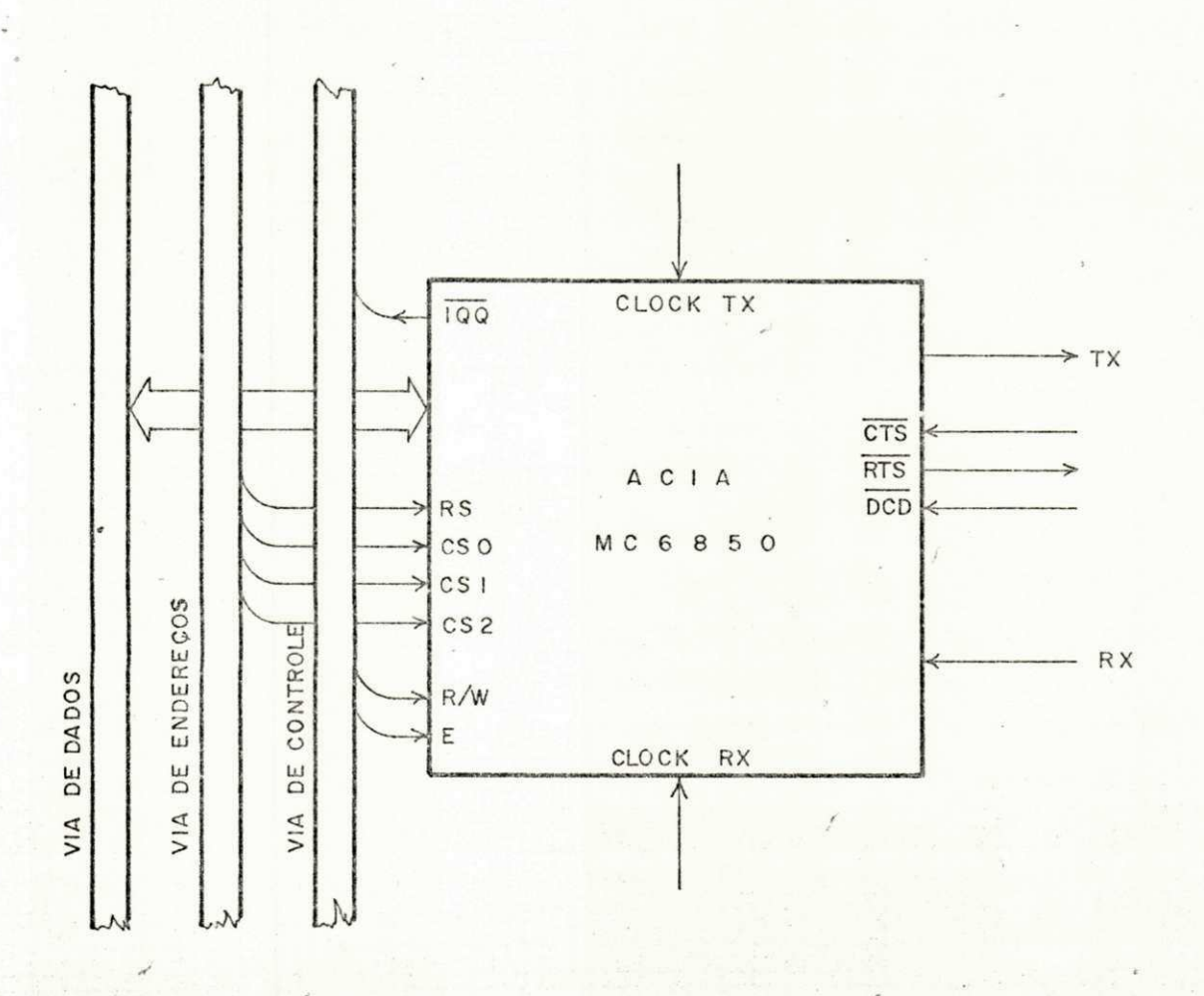


FIG. 5.10 - DIAGRAMA DE E/S DA ACIA

A interface de linha tem por objetivo possibilitar u ma comunicação "full-Duplex" entre dois processadores. É um dispositivo periférico que aceita, do processador, os dados no formato paralelo e os transmite de forma serial; recebe os dados serialmente e os entrega na forma paralela ao processador. Auxilia ainda, o controle de protocolos de comunicação e o controle de erros. Foi utilizada a USART (Universal Synchro nous/Assynchronous Receiver/Transmitter) PCI 8251A de fabricação da INTEL. Como os outros dispositivos de E/S em sistemas a microprocessador, a USART 8251A é programada por Software para possibilitar maior flexibilidade.

O fluxo de dados entre o processador e a USART, como nos outros dispositivos periféricos, é feito através da própria via de dados do sistema. A USART possui um Buffer de via, bidirecional de 8 bits e três estados, através do qual é feito a interface com o processador. Os dados são recebidos ou transmitidos através deste Buffer, mediante instruções de E/S do processador. Possui ainda, mais dois Buffer's, um para transmissão e outro para recepção de dados. No primeiro é feita a formatação, em função dos protocolos definidos e a se rialização dos dados. No segundo, os dados são recebidos se rialmente e checados em função dos protocolos definidos e em seguida entregues ao Buffer de via, para serem utilizados pe lo processador.

A USART 8251, possui apenas uma entrada para sele ção  $(\overline{CS})$  e uma entrada para endereçamento interno  $(C/\overline{D})$  O en dereçamento interno é auxiliado pelas entradas  $\overline{WR}$  e  $\overline{RD}$ , que são ligadas à entrada  $R/\overline{W}$  do processador. Tem-se portanto as sociados, apenas dois endereços. Um para dados e o outro para controle ou "status". As palavras de controle estão divi-

didas em dois formatos: instruções de modo e instruções de comando. As instruções de modo definem as características gerais de operação, enquanto as instruções de comando controlam a operação das características definidas. O endereçamento é feito de forma sequencial. O registro de modo é endereçado quando, após uma operação de RESET, é feito um endereçamento de controle. A próxima palavra de controle carregada será interpretada como sincronismo e as seguintes serão interpretadas como instruções de comando. Nas figs. 5.11 e 5.12 tem-se respectivamente: tabela de endereçamento para a USART e uma ilus tração da seqüência de endereçamento.

A 8251 possui várias saídas de controle utilizadas para sinalizar o processador ou modem. Dentre estas, as que indicam: transmissor vazio (T x EMPT), transmissor pronto para enviar dados (T x RDY) e receptor pronto para ser carregado (R x RDY), foram utilizadas para gerar interrupções por hardware no processador.

OPERAÇÃO	c/D	RD	WR	C <sub>.</sub> S
DADOS - TRANSMISSÃO	0	0	1	0
DADOS - RECEPÇÃO	0	ı	0	0
CONTROLE - STATUS	1	0	1	0
CONTROLE - COMANDO	1	ı	0	0

FIG. 5.11 - TABELA DE ENDEREÇAMENTO PARA USART



FIG. 5.12 - SEQUENCIA DE ENDERECAMENTO DAS PALAVRAS
DE CONTROLE NA USART

# CAPÍTULO VI

# CONSIDERAÇÕES SOBRE A IMPLEMENTAÇÃO DO "SOFTWARE"

#### 6.1 - INTRODUÇÃO

O"Software"do sistema de multiplexação desenvolvido, foi implementado na linguagem "Assembly" do microprocessador MC 6800 da Motorola. Este se inicializa após um comando de RESET, quando o sistema é ligado.

As funções básicas do "Software" são: controle de protocolo de linha, conversação com operador, codificação e decodificação de caracteres, formatação de dados e comandos, atendimento e execução de comandos e controle de erros.

O "Software" foi desenvolvido segundo uma filosofia modular. Tem-se um programa de controle que coordena os de mais programas e subrotinas. Neste capítulo é feita uma des crição dos diversos programas e subrotinas desenvolvidas para o Centro e Remota, com alguns comentários sobre as suas implementações. A listagem de todo o "Software" é mostrada no Apên dice II.

Todo o "Software" desenvolvido foi depurado no próprio sistema, utilizando-se um "Software" de apoio (Cavalcan-

ti, J.H.F., Deep, G.S. e Nazareno, R.C.A.) a desenvolvimento de projetos que utilizam o microprocessador MC 6800.

# 6.2 - DESCRIÇÃO DO SOFTWARE DA REMOTA

O Software da Remota é constituído dos seguintes programas e subrotinas:

PGCONT - Programa de Controle

INICIO - Subrotina de Inicialização

MUXADP - Subrotina de Identificação do Sistema

TRXTAB - Subrotina de Transmissão de Tabela

DETSIN - Subrotina de Deteção de Sincronismo

TXSNLZ - Subrotina de Transmissão de Sinalização para terminal

INCONT - Subrotina que Inicializa Contador de Frame

ESPATV - Programa de Recepção de Atividade Inicial

RXATVD - Subrotina de Recepção de Atividade

TSTPAR - Programa que Testa Paridade

TRXCOM - Subrotina de Transmissão de Comando

TXSINC - Subrotina de Transmissão de Sincronismo

CTRFME - Programa de Contagem de Frame

TRXCHT - Subrotina de Transmissão de Caracter

CDFDAD - Programa de Codificação de Dados

TXDADO - Subrotina de Transmissão de Dados

RXCOMA - Programa de Recepção de Comandos

DCDCOM - Subrotina de Decodificação de Comando

IDFCOM - Programa de Identificação de Comando

ATDIRQ - Programa de Atendimento a um IRQ

ATDARQ - Programa de Atendimento a um ARQ.

ZERACT - Subrotina que zera todos os Contadores

RTXCNT - Subrotina de Retransmissão de Controle.

#### 6.2.1 - PROGRAMA DE CONTROLE (PGCONT)

Este programa é o responsável pelo atendimento a um sinal de RESET. A sua função básica é coordenar as tarefas a serem executadas pelos outros programas. Na fig. 6.1 tem-se o fluxograma deste programa. A primeira tarefa a ser executa da é a inicialização do sistema. Para isso o PGCONT chama a subrotina INICIO, onde são inicializadas: ACIA, PIA e USART. A seguir chama a subrotina MUXADP cuja função é escrever no Terminal de Vídeo uma identificação para o sistema. Em segui da coloca o apontador do Buffet de transmissão na posição inicial e salva o valor do stack antes da execução das tarefas seguintes. A partir deste ponto, tem-se as seguintes tarefas principais que são coordenadas pelo PGCONT, as quais são executadas por programas e subrotinas que serão descritas mais adiante:

- a) Deteção de sincronismo
- b) Espera por recepção de Atividade Inicial
- c) Contagem de frame
- d) Aquisição de Dados
- e) Codificação de Dados

- f) Transmissão de Dados
- g) Atendimento a Comandos.

## 6.2.2 - SUBROTINA DE INICIALIZAÇÃO (INICIO)

Esta subrotina tem por finalidade programar a PIA, a ACIA e a USART para trabalharem dentro das exigências do projeto.

Inicialmente é dado um "reset" na ACIA, pois esta, ao contrário da PIA e USART, não possui a possibilidade de "reset" por "hardware". Em seguida, é programado o registro de controle da ACIA e PIA. A programação da USART é tal que, esta funcione no modo síncrono, com apenas uma palavra de sincronismo.

# 6.2.3 - SUBROTINA DE IDENTIFICAÇÃO DO SISTEMA (MUXADP)

Esta subrotina carrega determinadas posições de memória (TAB e FMTAB) que são utilizadas como início e fim de tabela e chama a subrotina transmissão de tabela (TRXTAB). A tabela a ser transmitida é constituida de caracteres que representarão na tela o seguinte

MUX.ADAP. / REMOTA

# 6.2.4 - SUBROTINA DE TRANSMISSÃO DE TABELA (TRXTAB)

A partir da locação de memória TAB, utiliza-se indexação para transmitir-se todas as palavras subsequentes até a imediatamente anterior à locação FMTAB.

## 6.2.5 - SUBROTINA DE DETEÇÃO DE SINCRONISMO (DETSIN)

Na fig. 6.2 é mostrado o fluxograma desta subrotina. É verificado continuamente através do registro de "status" da USART, se há sincronismo na linha. Ao ser detetado o sincronismo, o terminal é sinalizado, através da subrotina TXSNLZ.

## 6.2.6 - SUBROTINA DE TRANSMISSÃO DE SINALIZAÇÃO PARA TERMINAL(TXSNLZ)

Esta subrotina testa o "status" da ACIA, verificando se pode carregar novo caracter.

## 6.2.7 - SUBROTINA QUE INICIALIZA CONTADOR DE FRAME (INCONT)

Esta é outra subrotina bastante simples; sua tarefa é apenas carregar o contador de frame com o valor 1024.

Para início de operação do sistema, a Remota deve esperar por uma palavra de Atividade. Só após o recebimento da Atividade, outras tarefas podem ter prosseguimento. Na fig. 6.3 é mostrado o fluxograma deste programa. Quando recebido um caracter, este é comparado com a palavra de sincronismo u tilizada, pois quando não há dado a ser transmitido, a USART sempre coloca SINC na linha. Se a atividade é recebida corretamente, esta é armazenada para utilização na codificação de dados. Após o recebimento correto de uma palavra de atividade é enviado ao Centro uma palavra de Controle (através de TRXCNT) para confirmação.

## 6.2.9 - SUBROTINA DE RECEPÇÃO DE ATIVIDADE (RXATVD)

Esta subrotina é utilizada para a recepção de atividade, quando o sistema está em operação normal. A palavra é decodificada através da subrotina TSTPAR (testa paridade)e em seguida se está correta, é zerada a l. posição (bit mais significativo), pois é definido que esta posição, será sempre inativa. É então incrementado um "flag", para indicar recebimento de nova atividade. Só após completado o frame esta nova atividade será utilizada, ocasião em que o Centro receberá uma confirmação através de uma palavra de controle. Na fig. 6.4 tem-se o fluxograma desta subrotina.

#### 6.2.10 - PROGRAMA QUE TESTA PARIDADE (TSTPAR)

Esta subrotina é utilizada para controle de erros da palavra de atividade recebida. Se detetado erro, é feito um pedido automático de retransmissão através da subrotina (RTXCOM). Se a palavra recebida está correta, é feito um teste para retorno, pois esta subrotina pode ter sido chamada por ESPATV ou por RXATVD. O fluxograma desta subrotina é mostrado na fig. 6.5.

#### 6.2.11 - SUBROTINA DE TRANSMISSÃO DE CARACTER (TRXCHT)

Esta subrotina tem a finalidade de transmitir atra vés da USART os caracteres carregados na locação de saída de caracter (OUTCH). A operação é feita, verificando se o regis tro de "status" da USART indica se pode carregar novo dado. O fluxograma desta subrotina é mostrado na fig. 6.6.

#### 6.2.12 - SUBROTINA DE TRANSMISSÃO DE CONTROLE (TRXCNT)

Na fig. 6.7 tem-se o fluxograma desta subrotina. Sua finalidade é ler as palavras de controle a serem transmitidas e carregar em locação de saída de caracter (OUTCH) para ser transmitida através da subrotina TRXCHT.

# 6.2.13 - SUBROTINA DE TRANSMISSÃO DE SINCRONISMO (TXSINC)

Esta subrotina carrega a locação OUTCH com a pala vra de sincronismo a ser transmitida como mostra a fig. 6.8.

### 6.2.14 - SUBROTINA DE RETRANSMISSÃO DE COMANDO (RTXCOM)

Esta subrotina é utilizada sempre que um comando é recebido com erro. É portanto, feito um pedido automático de retransmissão do referido comando. Este pedido é feito através de uma palavra de controle (RPCOM) que indica ao Centro que o comando transmitido deve ser retransmitido. Devido ao protocolo implementado, para distinguir as palavras de controle na linha, é sempre transmitido um SINC antes da palavra de controle. Na fig. 6.9 tem-se o fluxograma desta subrotina.

## 6.2.15 - PROGRAMA DE CONTAGEM DE FRAME (CTFRME)

Este programa conta cada palavra transmitida, decre mentando o registro de indexação que é carregado com o conteú do da locação CONT e CONT + 1. Enquanto não se tem 1024 pala vras transmitidas, novos dados são lidos e transmitidos. En tretanto, após complementado o super quadro (1024 palavras) é verificado se durante a transmissão deste, foi recebida alguma nova palavra de atividade. Caso tenha sido recebida é en viada ao Centro a palavra de controle (MUDATV), indicando que a atividade mudou. Os novos dados serão então, codificados em

função desta nova atividade. Se não foi recebida nenhuma no va atividade, a palavra de controle transmitida é TXNORM, que indica ao Centro que não houve mudança com relação à atividade. O fluxograma que descreve este programa é mostrado na fig. 6.10.

#### 6.2.16 - SUBROTINA DE TRANSMISSÃO DE DADOS (TXDADO)

O dado após a codificação é lido por esta subrotina e carregado na locação de saída de caracter (OUTCH) para ser transmitido. Em seguida este dado é armazenado em Buffer de transmissão para atendimento de um possível pedido de retransmissão. É feito ainda, uma verificação se o dado transmitido tem um formato idêntico ao de uma palavra de sincronismo. Se isto ocorre, o dado é imediatamente duplicado na linha. Des ta forma evita-se que os dados com mesmo formato de SINC se jam tidos como tal pelo Centro, uma vez que no Centro, se for recebido SINC + SINC, o primeiro SINC é desprezado e o segundo será considerado um dado. O fluxograma desta subrotina é mostrado na fig. 6.11.

# 6.2.17 - PROGRAMA DE RECEPÇÃO DE COMANDOS (RXCOMA)

Este programa verifica por "polling", sempre após a transmissão de um dado, se chegou algum comando. Se foi rece bido algum caracter, é verificado se houve overrun. Caso se tenha erro de overrun, é feito através de RTXCOM, um pedido automático de retransmissão de comando. Se não houve erro de

overrun é verificado se o caracter recebido é um caracter de SINC. Se é SINC volta ao programa de controle (PGCONT). Se não é SINC, é chamada a subrotina de decodificação de comando (DCDCOM). Se é detetado erro no comando recebido é feito um pedido de retransmissão. Se está correto, vai para o programa de identificação de comando (IDFCOM). O fluxograma deste programa é mostrado na fig. 6.12.

## 6.2.18 - PROGRAMA DE IDENTIFICAÇÃO DE COMANDO (IDFCOM)

Este programa lê na locação COFOR, o comando já de codificado e por um processo de comparação, identifica qual foi o comando recebido. Uma vez identificado o comando, o ter minal é sinalizado com um determinado caracter que representa aquele determinado comando. Em seguida, é habilitada a inter rupção para recebimento do próximo caracter. Este caracter, é a informação de endereço do comando recebido. Na fig. 6.13 é mostrado o fluxograma deste programa.

## 6.2.19 - PROGRAMA DE ATENDIMENTO A UM IRQ (ATDIRQ)

O segundo caracter (endereço) de um comando, é recebido por interrupção, através deste programa. A seguir, este caracter é decodificado. Se há erro é feito um pedido automático de retransmissão. Se a informação recebida está correta, o terminal é sinalizado e é executado o comando recebido. Por fim, a interrupção é desabilitada. Nasfigs. 6.14 e 6.15 temse o fluxograma deste programa.

# 6.2.20 - SUBROTINA DE DECODIFICAÇÃO DE COMANDO (DCDCOM)

Os dois caracteres que definem uma palavra de coman do (Ident. de Com. + End. de Com.) são decodificados por esta subrotina. Inicialmente os bits de paridade que ocupam sem pre uma determinada posição fixa, são retirados e armazenados temporariamente. Em seguida, são calculados novos bits de paridade em função dos bits de informação recebidos. Feito is to, a paridade recebida é comparada com a paridade calculada e formada uma síndrome. Se a síndrome é diferente de zero, é feito um pedido de retransmissão de comando recebido. Por fim, é feito um teste de retorno para saber-se se foi ATDIRQ ou ENTCOM que chamou. Na fig. 6.16 é mostrado o seu fluxograma.

#### 6.2.21 - PROGRAMA DE ATENDIMENTO A UM ARQ (ATDARQ)

O objetivo deste programa é providenciar a retrans missão dos dados requeridos pelo Centro. O protocolo de retransmissão de dados, se baseia em uma definição de qual posição deve ser iniciada a retransmissão e até que posição. A in formação sobre a posição inicial de retransmissão, é recebida pelo endereço do comando de pedido de retransmissão (CARQ). Este endereço identifica a palavra que foi recebida com erro no Centro. Tem-se que, as palavras são identificadas por sua posição relativa nos Buffer's da Remota e Centro. São numera das de 0 a 31. Para encontrar-se a posição inicial de retransmissão, o apontador do Buffer deve ser incrementado, em relação à posição inicial, de um número (K) igual à posição que representa a palavra errada. Seja Boa posição inicial do Buffer e K a posição relativa à palavra errada, a posição inicial

cial de retransmissão  $(B_K)$  será:  $B_K = B_O + K$ , O próximo pas so é determinar o número (N) de palavras a serem retransmitidas, o que será definido pela determinação da posição final de retransmissão no Buffen. Esta última posição é obtida por comparação do valor do apontador de Buffen, após cada palavra retransmitida, com a posição em que estava este apontador no momento do recebimento do pedido de retransmissão. No proces so de retransmissão, há ainda a necessidade de verificar-se, se o apontador chegou ao fim do Buffen, para que possa voltar à posição inicial e continuar a retransmissão. O seu fluxogra ma é mostrado na fig. 6.17.

## 6.2.22 - PROGRAMA DE CODIFICAÇÃO DE DADOS (CDFDAD)

Este programa, cujo fluxograma é mostrado na fig. 6.18, tem por objetivo codificar os dados a serem transmitidos. Inicialmente é lida a palavra de atividade e utilizada, junta mente com a palavra a ser codificada, para calcular o vetor Vj. Este vetor conterá apenas os bits de informação relativos aos canais ativos. Em seguida, são calculados os vetores Xi's relativos a cada posição inativa e para cada Xi é determinado o bit pi correspondente, o qual é introduzido na referida posição inativa.

# 6.3 - DESCRIÇÃO DO SOFTWARE DO CENTRO

O Software do Centro é constituido dos seguintes

programas e subrotinas listados a seguir:

PGCONT - Programa de Controle

INICIO - Subrotina de Inicialização do Sistema

MUXADP - Subrotina de Identificação do Sistema

DETSIN - Subrotina de Deteção de Sincronismo

TXSNLZ - Subrotina de Transmissão de Sinalização para terminal

TRXTAB - Subrotina de Transmissão de Tabela

CALPAR - Subrotina que Calcula Paridade

TRXCHT - Subrotina de Transmissão de Caracter

ENATVI - Programa de Entrada de Atividade

ESPACK - Programa de Espera de Reconhecimento de Atividade

ENTCOM - Programa de Entrada de Comando

ENTEND - Subrotina de Entrada de Endereços

ATDIRQ - Programa de Atendimento a um IRQ

CDFCOM - Subrotina de Codificação de Comandos

ENTATV - Programa de Entrada de Atividade

RTXCNT - Subrotina de Pedido de Retransmissão de Controle

TRXCOM - Subrotina de Transmissão de Comandos

IDFCNT - Programa de Identificação de Controle

ATDNMI - Programa de Atendimento a um NMI

IDFCHT - Programa de Identificação de Caracter

PEDARQ - Subrotina de Pedido de Retransmissão de Dados

DCDADO - Programa de Decodificação de Dados

Parte deste Software é semelhante ao da Remota, por tanto, só será descrito e apresentado fluxograma da parte do Software do Centro não comum à Remota.

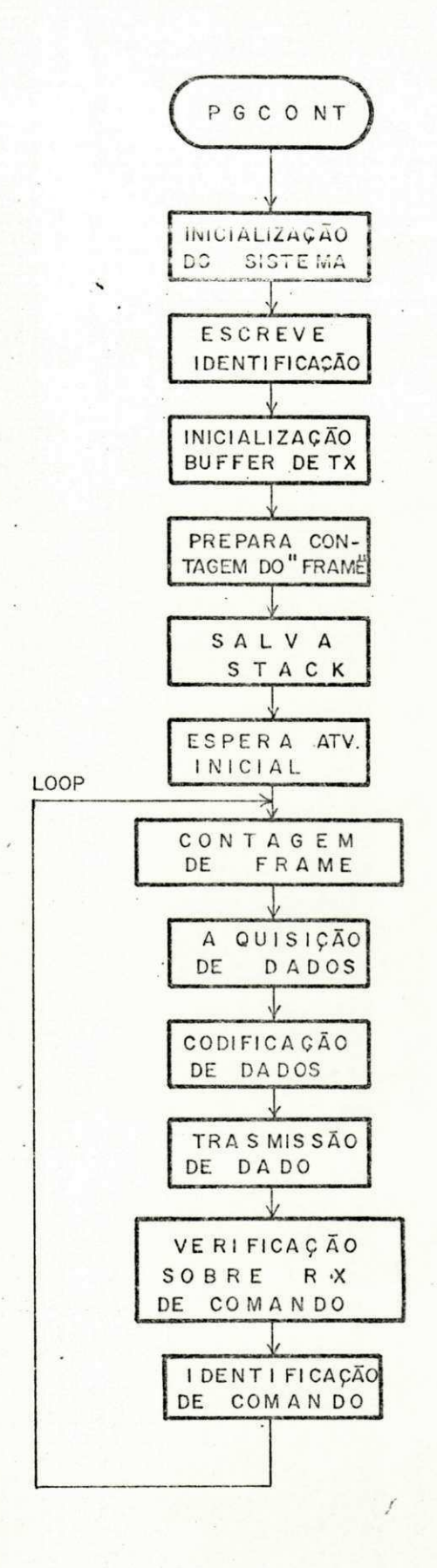


FIG. '6.1 - PROGRAMA DE CONTROLE

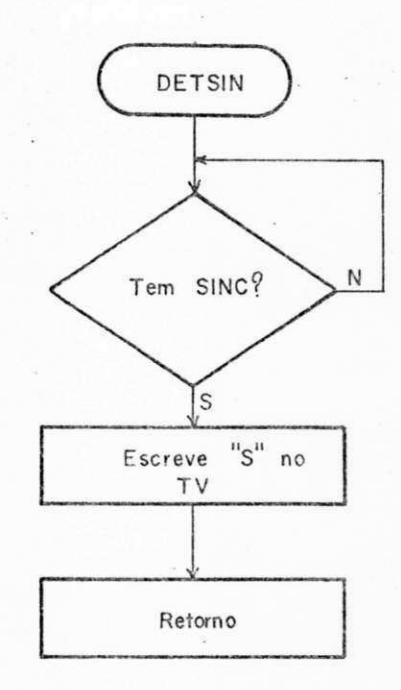


Fig. 6. 2 - Deteção de sincronismo.

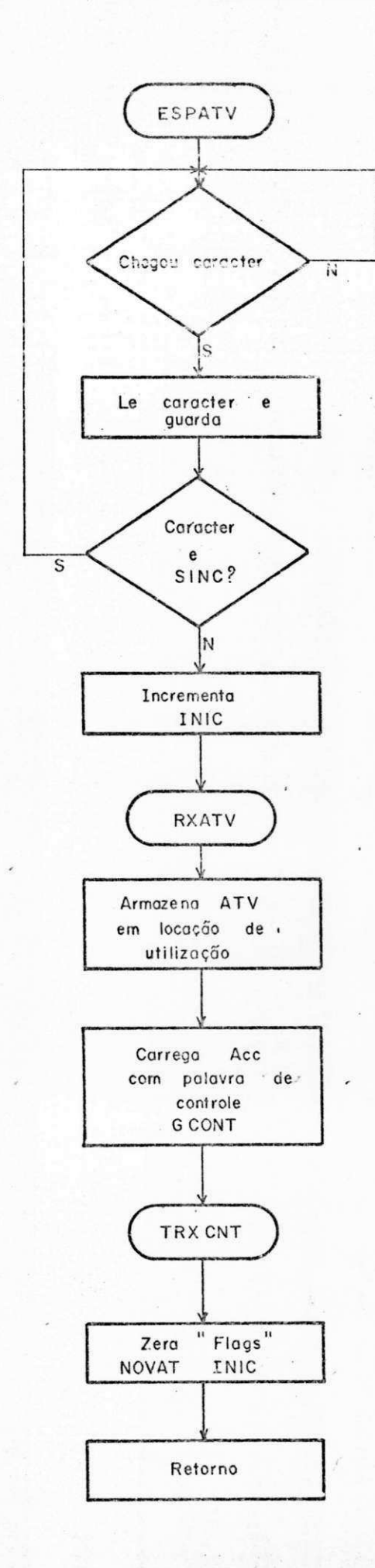


Fig. 6. 3 — Programa de recepção de atividade inicial.



Fig. 6. 4 - Recpção de atividade.

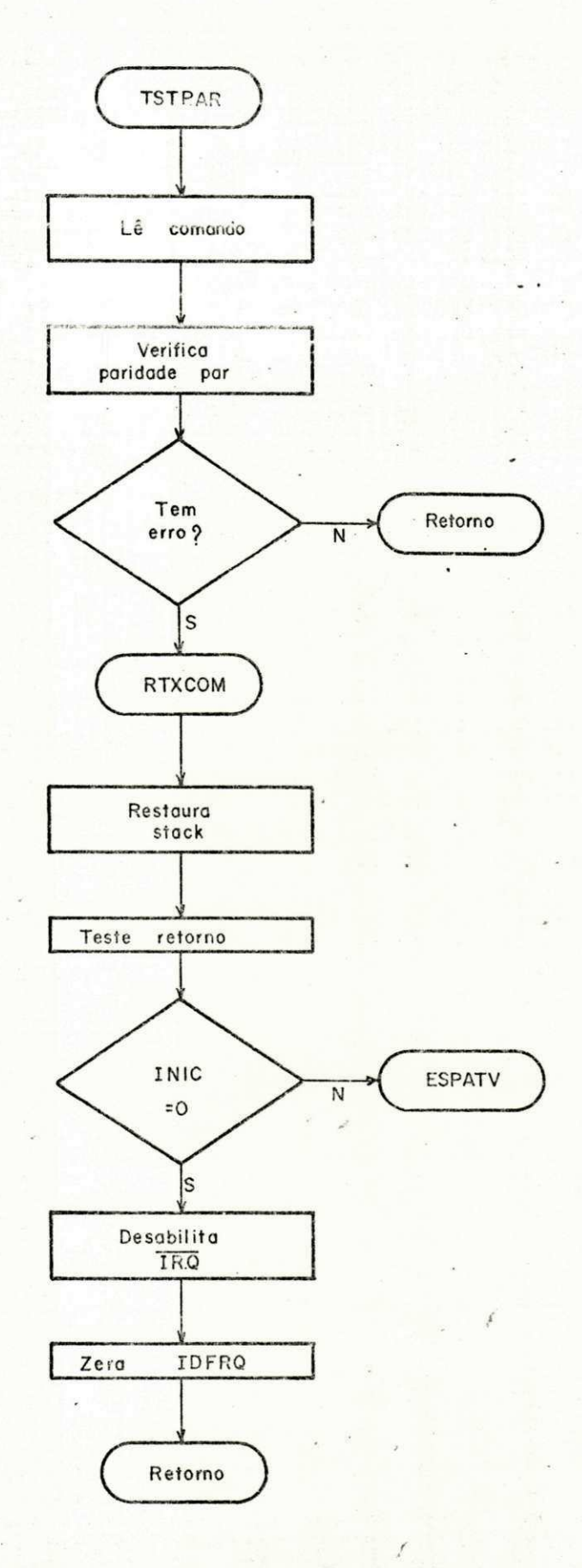


Fig. 6.5 — Programa que testa paridade.

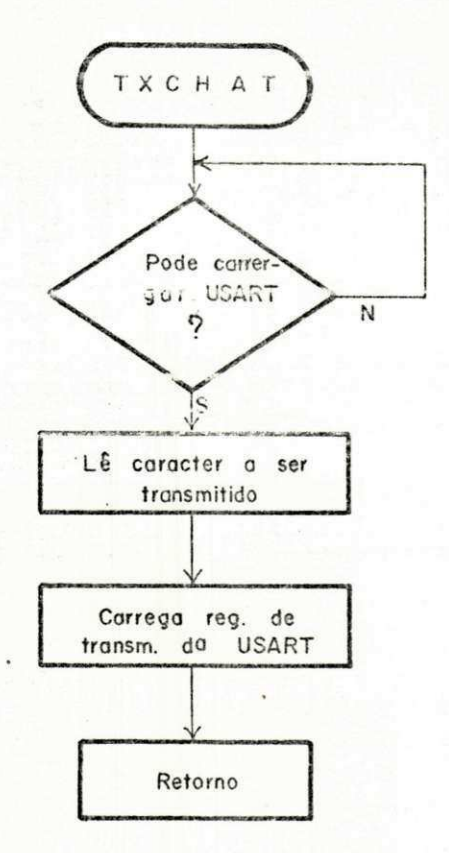


Fig. 6.6 - Transmite caracter.

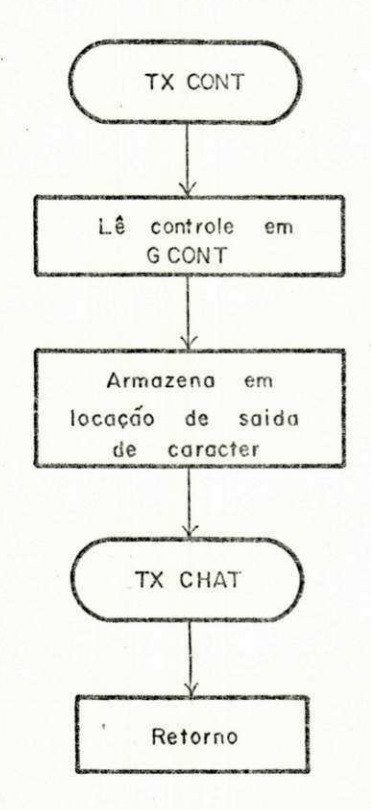


Fig. 6.7 - Transmite controle.

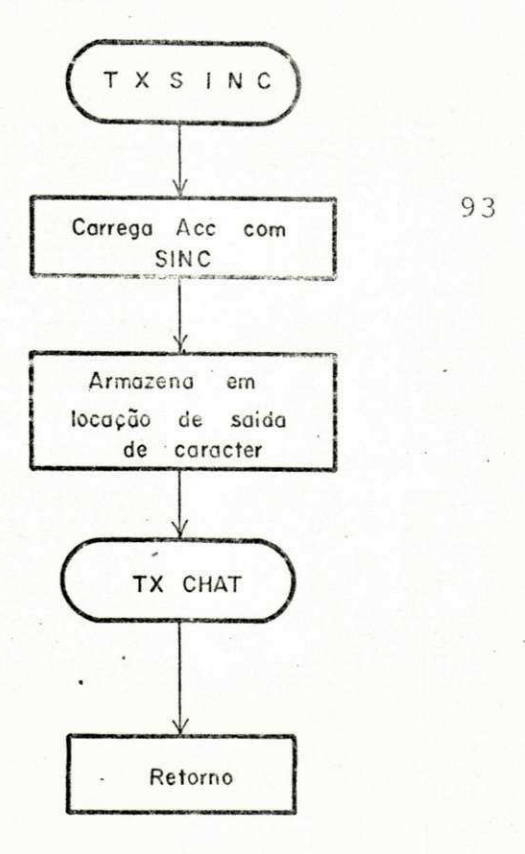
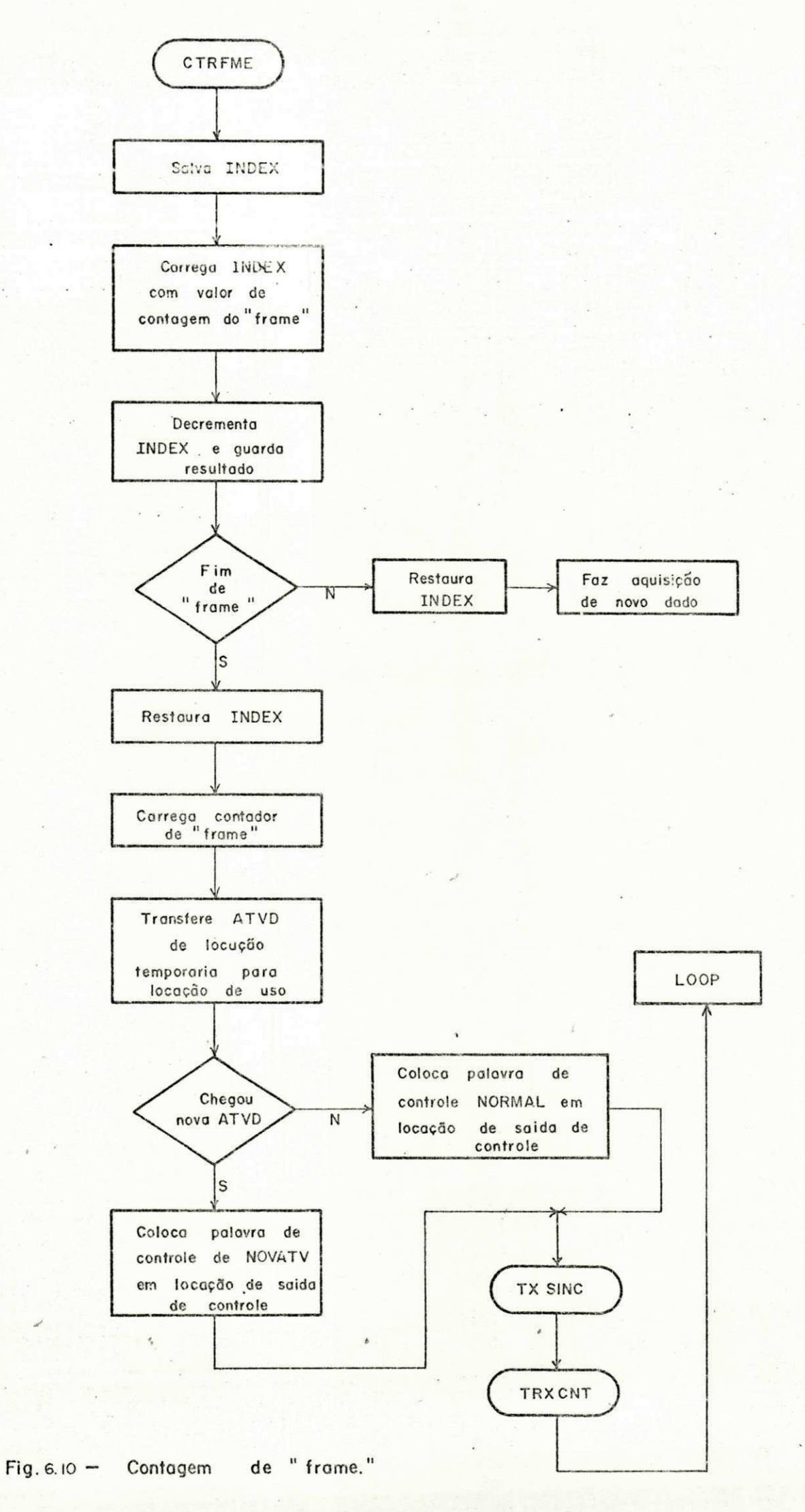


Fig. 6.8 - Transmite sincronismo.



Fig. 6.9 — Pedido de retransmissão de comando



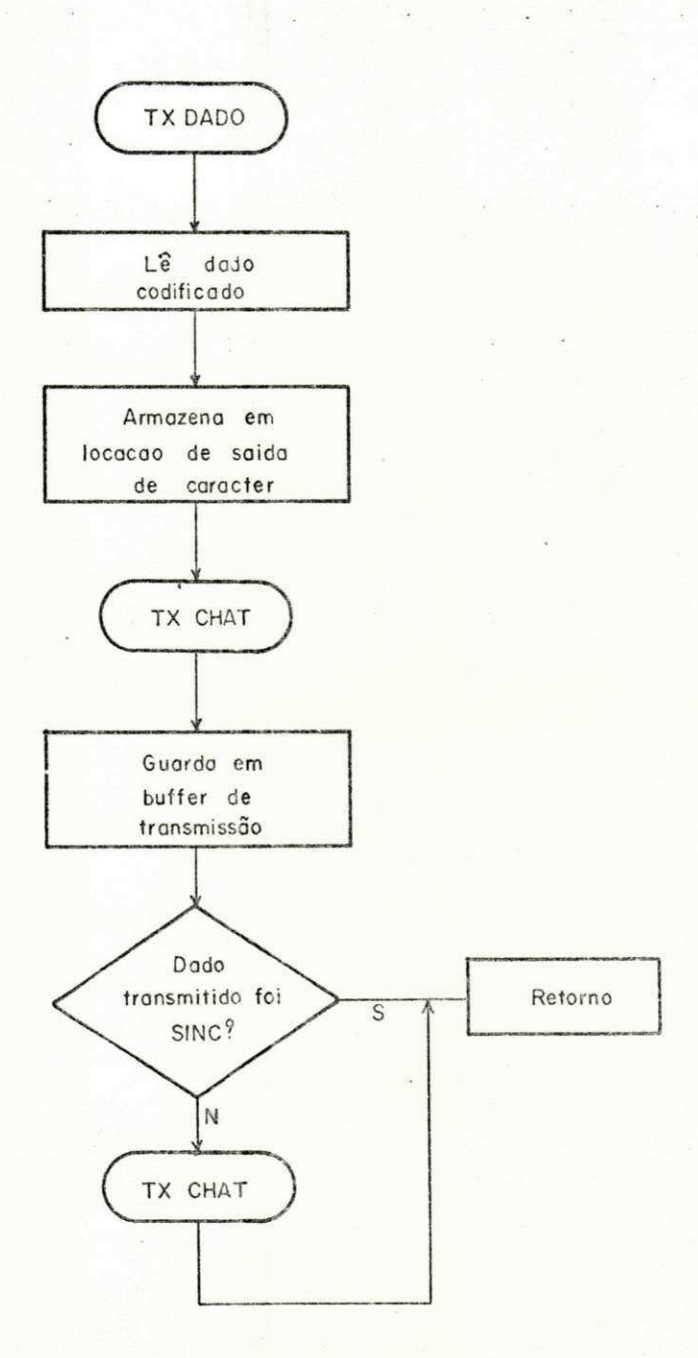


Fig. 6.11 - Transmite dado.

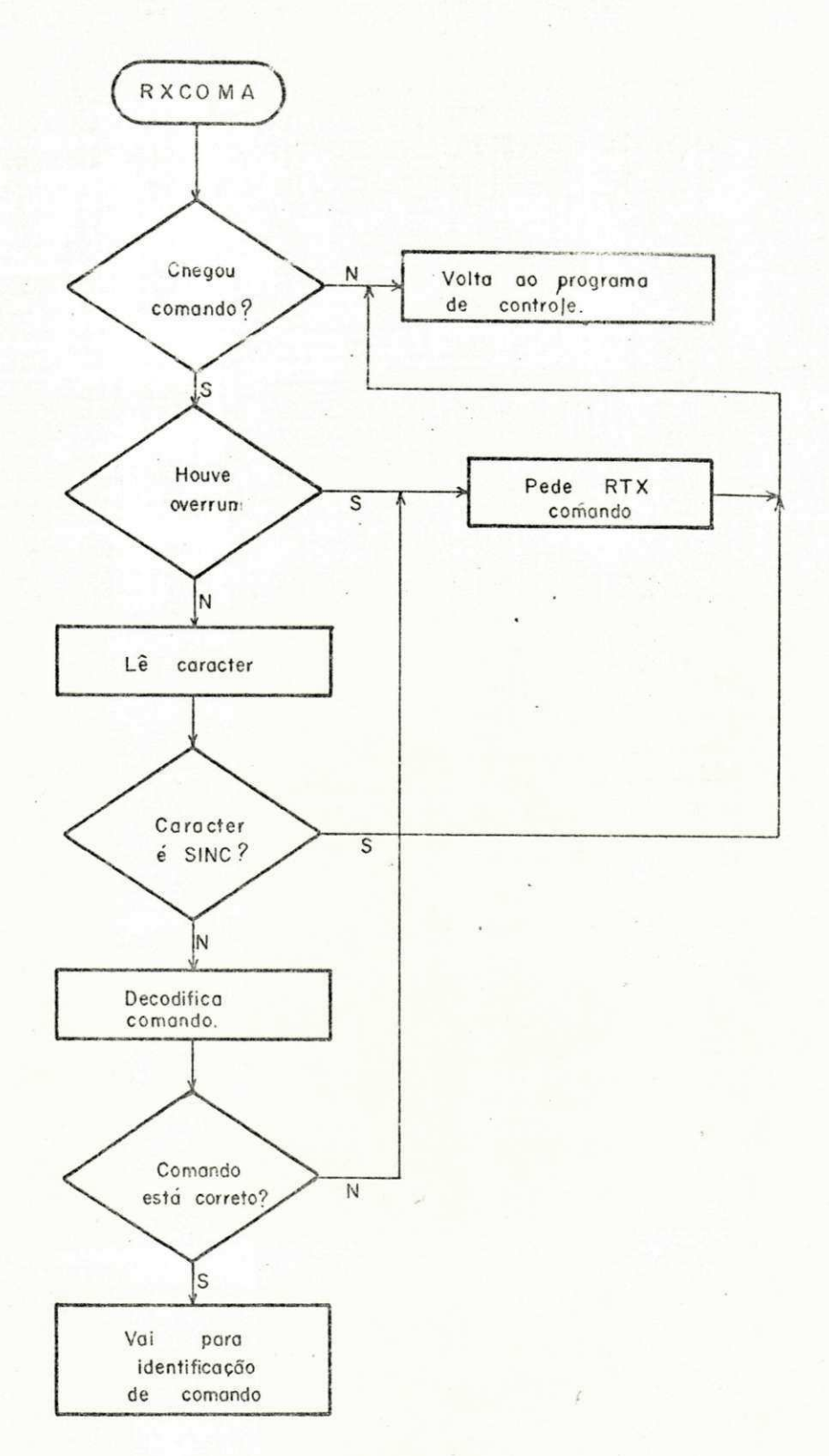


Fig. 6. 12 — Programa de RECEPÇÃO de comando.

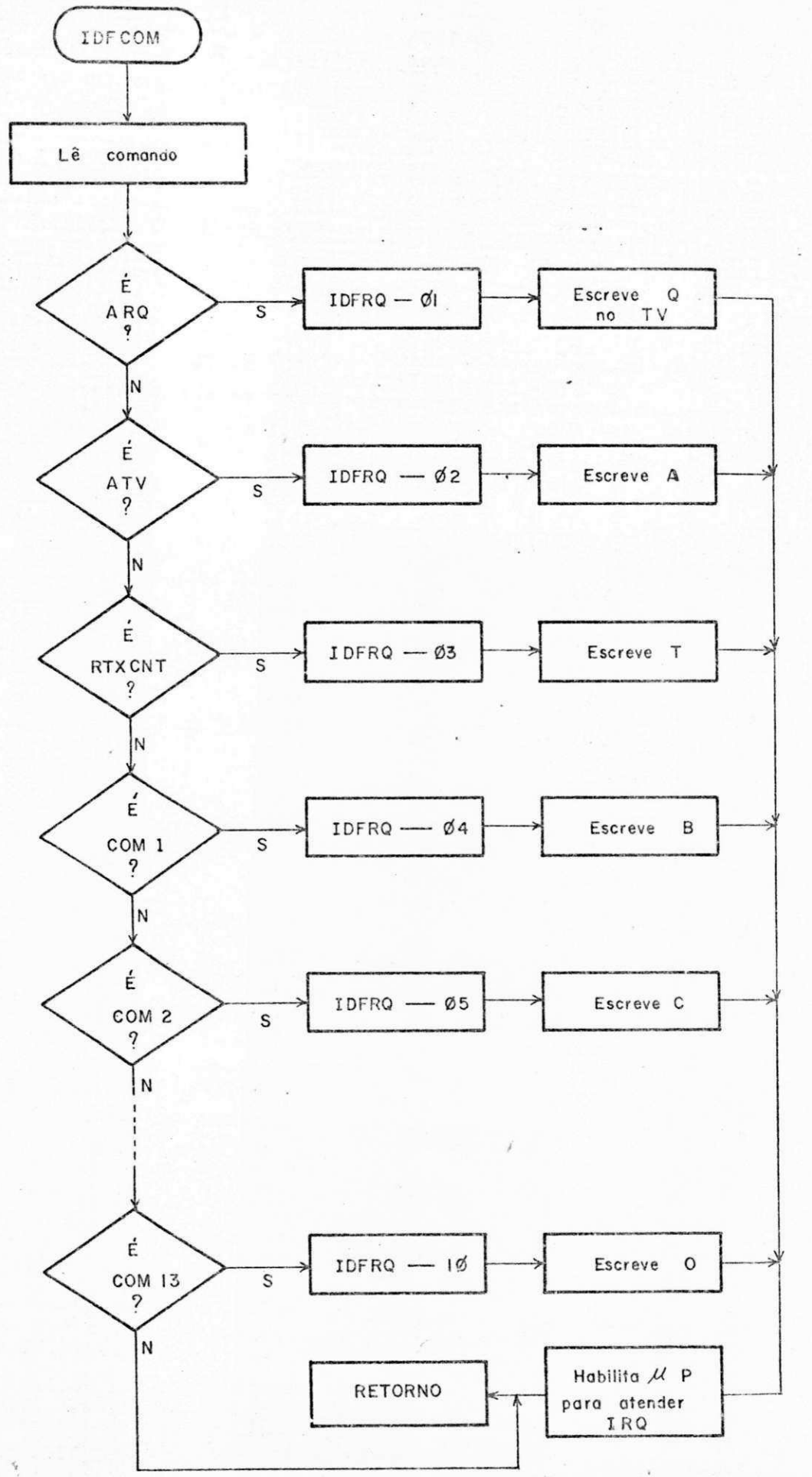
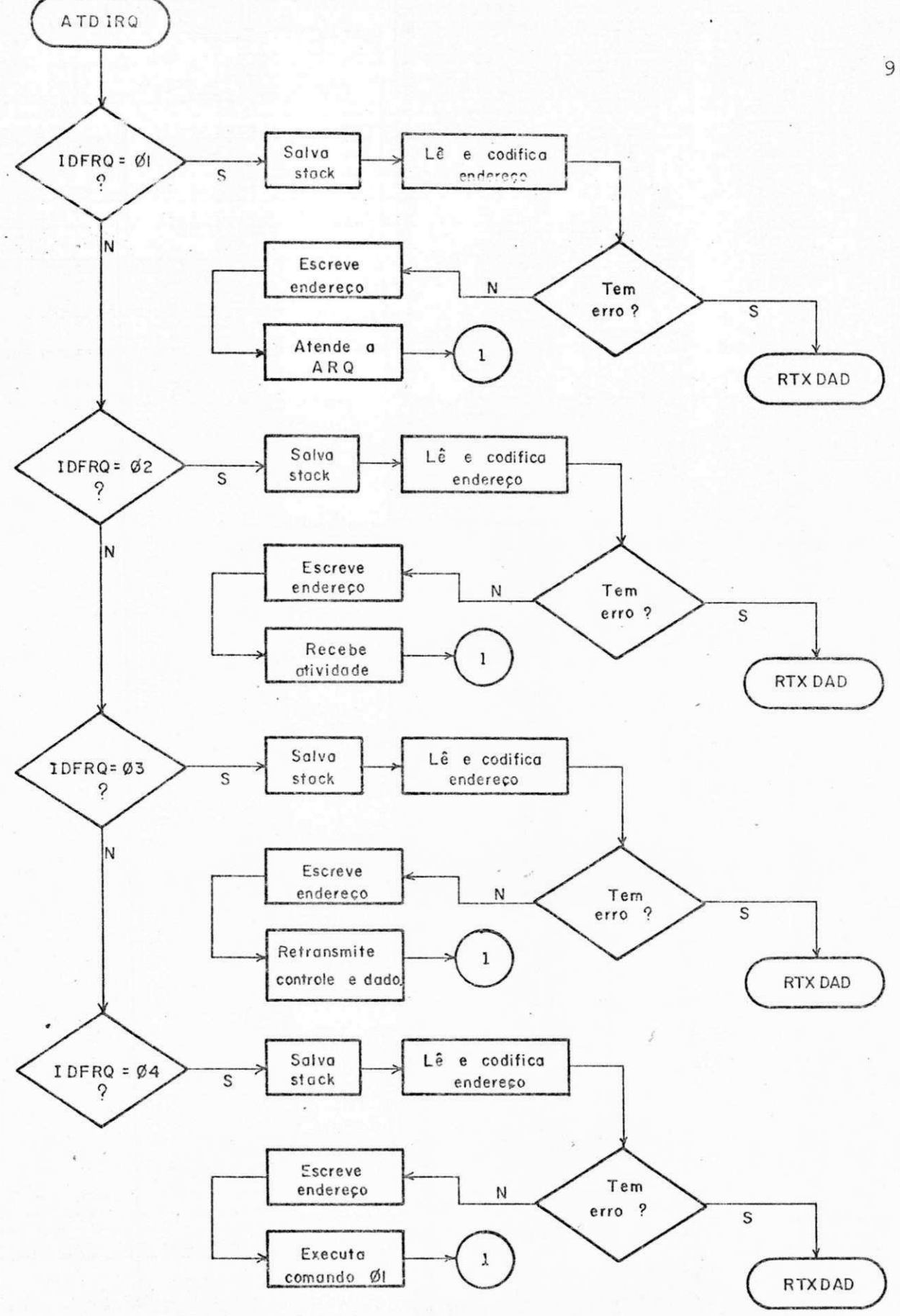


Fig. 6.13 — Subrotina de identificação de comando.



atendimento a IRQ (Recepção de enderecos.) Fig. 6. 14 - Programa de

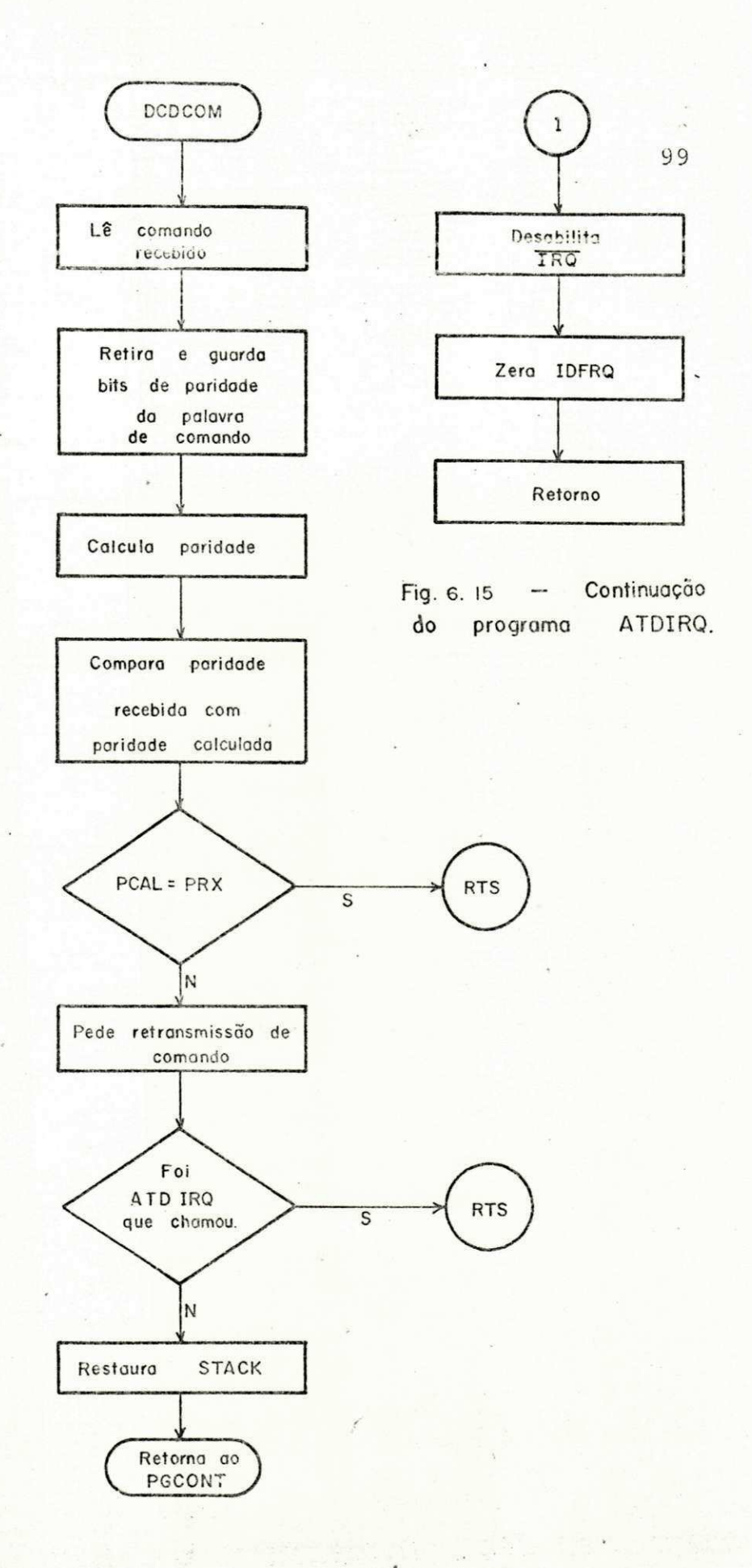


Fig. 6.16 - Subrotina de decodificação de comando.

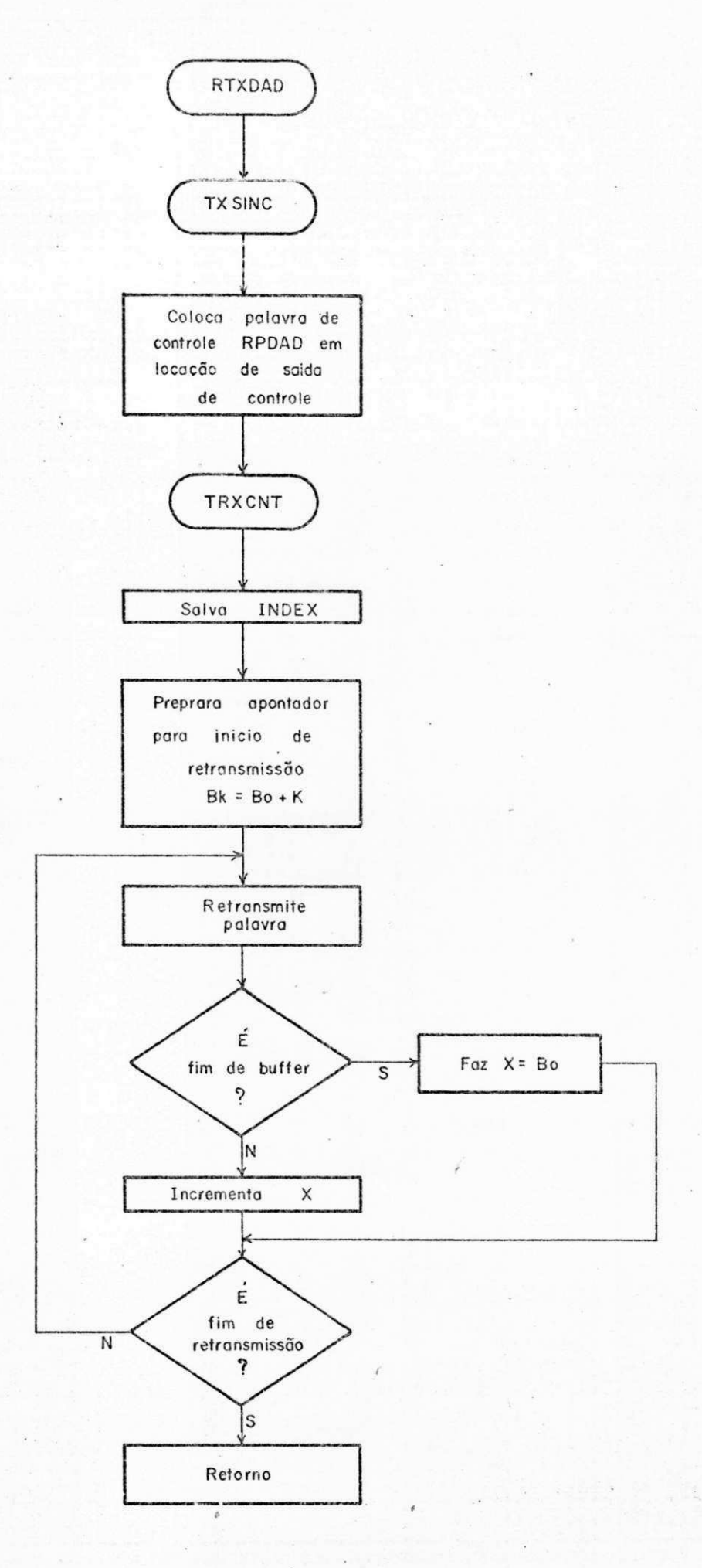
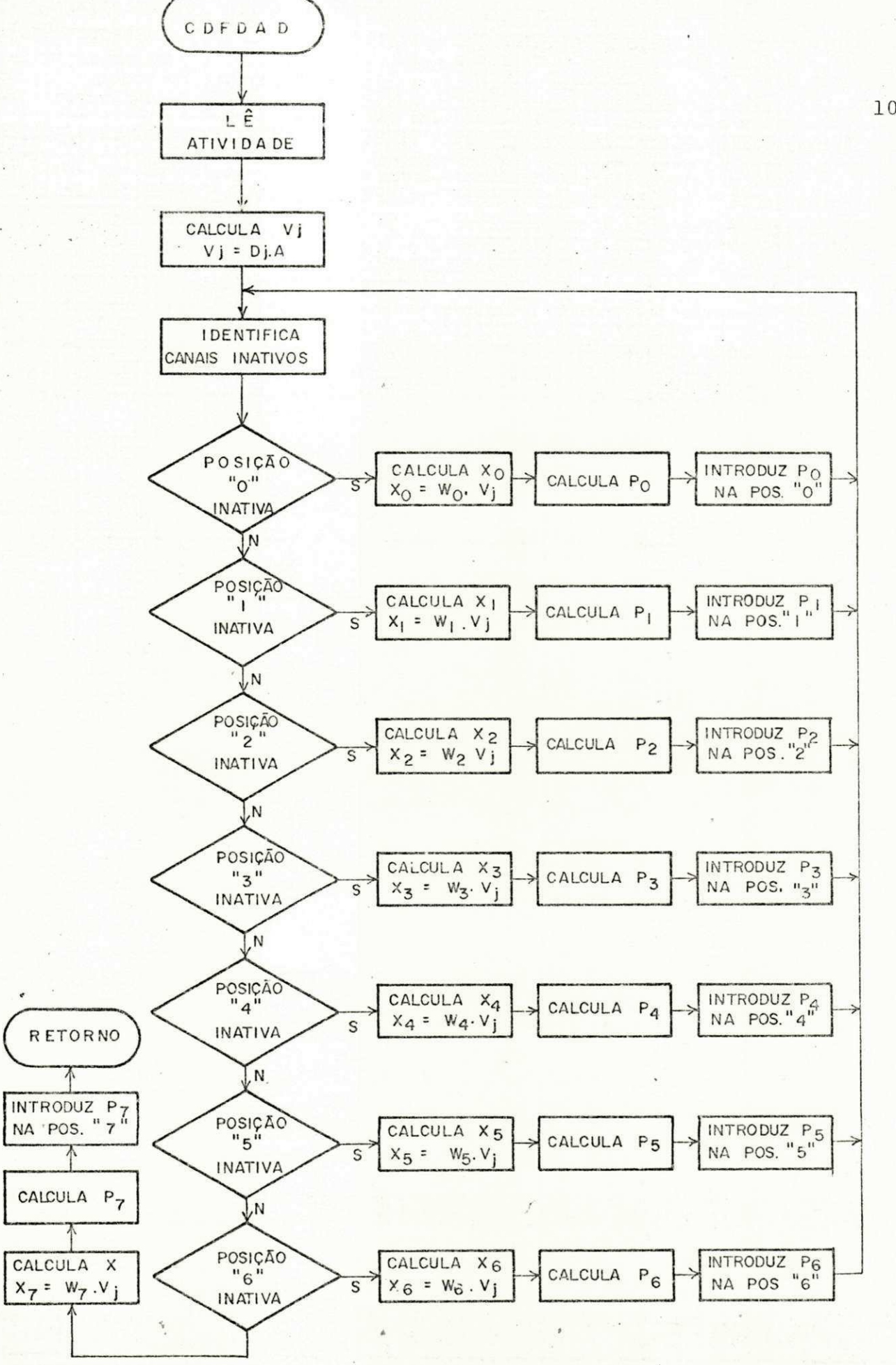


Fig. 6.17 — Programa que atende a um pedido ARQ.



CODIFICAÇÃO DE DADOS FIG. 6.18 - PROGRAMA DE

# 6.3.1 - PROGRAMA DE ENTRADA DE ATIVIDADE INICIAL (ENATVI)

Este programa, cujo fluxograma é mostrado na fig. 6.19, tem por objetivo receber um comando de atividade inicial. Qualquer outro comando não será aceito. Este programa assegura, que após a inicialização e deteção de sincronismo, o primeiro comando transmitido é um Comando Atividade (CATV). A pós dado o comando, o terminal é sinalizado (A). Em seguida, espera o "endereço" da atividade. Este é dado carregando - se diretamente o caracter correspondente ao canal ativo desejado (1, 2, 3, ... 7). O último caracter a ser carregado é um \*in dicando fim de comando. Após a indicação de fim de comando, a palavra formada é transmitida. Se algum caracter não válido é carregado, o terminal é sinalizado.

### 6.3.2 - PROGRAMA DE ENTRADA DE ATIVIDADE (ENTATV)

Este programa é semelhante ao anterior descrito, sen do utilizado quando em operação normal (fora do período de <u>i</u> nicialização de operação). A diferença reside no fato de que cada caracter carregado, para formar o "endereço" da atividade, é feito por interrupção, gerada pela ACIA. Antes porém, de entrar neste programa, o processador habilita a ACIA a trabalhar com interrupção (NMI).

## 6.3.3 - PROGRAMA DE ESPERA DE RECEBIMENTO DE ATIVIDADE (ESPACK)

Após a transmissão da palavra inicial de atividade,

o Centro espera que seja confirmado por parte da Remota, o seu recebimento correto. Este programa tem por objetivo, esperar o recebimento de uma palavra de controle (MUDATV) que indica o recebimento correto do comando enviado. O fluxograma deste programa é mostrado na fig. 6.20.

## 6.3.4 - SUBROTINA DE PEDIDO DE RETRANSMISSÃO DE CONTROLE (RTXCNT)

Se um controle é recebido errado, é feito um pedido automático de retransmissão. O pedido é feito através da transmissão de um comando denominado COMØ. O 1º caracter deste comando serve para identificá-lo, enquanto que o 2º caracter é referente à identificação da posição do Buffet que corresponderia ao dado que seria recebido imediatamente posterior ao último dado recebido corretamente, antes da palavra de controle. Na fig. 6.21 é mostrado o fluxograma para esta subrotina.

#### 6.3.5 - PROGRAMA DE ENTRADA DE COMANDO (ENTCOM)

Este programa é destinado ao atendimento de coman dos a serem transmitidos à Remota. O início de atendimento a comandos é feito por "polling", sempre após o recebimento de um dado. Após lido o 1º caracter da palavra de comando, o 2º caracter ou seja, o endereço do comando, é lido por interrupção não mascarável (NMI). Ao ser carregado um determinado comando, é usada a locação IDFI para servir de identificação ao atendimento da interrupção. Na fig. 6.22 é mostrado o fluxograma deste programa.

#### 6.3.6 - PROGRAMA DE ATENDIMENTO A UM NMI (ATDNMI)

Este programa destina-se ao atendimento do 2º carac ter do comando a ser transmitido. Através da locação IDFI, sabe-se qual foi o comando carregado cujo endereço deve ser dado. Na fig. 6.23 tem-se o seu fluxograma.

# 6.3.7 - SUBROTINA DE ENTRADA DE ENDEREÇOS (ENTEND)

É chamada pelo programa ATDNMI. Isto se dá, sempre que um comando que não seja atividade ou de solicitação de de sempenho é carregado. Os quatro bits menos significativos do caracter carregado, representam o endereço do comando a ser enviado. Na fig. 6.24 é mostrado o seu fluxograma.

## 6.3.8 - SUBROTINA DE CODIFICAÇÃO DE COMANDOS (CDFCOM)

Este programa é semelhante ao programa de Codificação de Dados descrito para a Remota, entretanto a palavra de atividade utilizada no processo de codificação é fixa. São sempre consideradas inativas, as quatro primeiras posições.

## 6.3.9 - SUBROTINA DE TRANSMISSÃO DE COMANDOS (TRXCOM)

Este programa toma os comandos já codificados e os

coloca em locação de saída de caracter (OUTCH), chama a subrotina de transmissão de caracter e em seguida, habilita a interrupção por IRQ. A interrupção será gerada por uma saída de controle de USART que será ativa quando for completada a transmissão. Na fig. 6.25 é mostrado o fluxograma.

#### 6.3.10 - PROGRAMA DE ATENDIMENTO A UM IRQ (ATDIRQ)

A finalidade deste programa é colocar na locação de saída de caracter (OUTCH) o 29 caracter da palavra de comando. Após o atendimento à interrupção, esta é desabilitada. Na fig. 6.26, tem-se o seu fluxograma.

## 6.3.11 - PROGRAMA DE IDENTIFICAÇÃO DE CONTROLE (IDFCNT)

Este programa utiliza um processo de comparação, para identificar o controle recebido (TXNORMAL, MUDATV, RPCOMou RPDADO). Ao ser recebido, o controle é imediatamente executado. Se o controle é recebido com erro é feito um pedido de retransmissão através da subortina RTXCNT. Na fig. 6.27 é mostrado o seu fluxograma.

# 6.3.12 - PROGRAMA DE IDENTIFICAÇÃO DE CARACTER (IDFCHT)

Cada caracter recebido é identificado neste progra

ma para saber-se se é um dado, uma palavra de controle ou uma palavra de sincronismo. Se duas palavras de sincronismo são recebidas consecutivas, este programa separa a segunda e a con sidera um dado. Todos os caracteres recebidos são decodifica dos apos serem identificados. Na fig. 6.28 tem-se o seu fluxograma.

#### 6.13 - SUBROTINA DE PEDIDO DE RETRANSMISSÃO DE DADOS (PEDARQ)

Nesta subrotina tem-se a transmissão da palavra de comando que identifica um pedido de retransmissão de Dados (CARQ). O segundo caracter desta palavra de comando é transmitido através da subrotina RTXCNT já descrita. Na fig. 6.29 é mostrado o seu fluxograma.

## 6.14 - PROGRAMA DE DECODIFICAÇÃO DE DADOS (DCDADO)

Neste programa tem-se inicialmente, uma repetição do mesmo processo utilizado no programa CDFDAD, descrito para a Remota. Em seguida, é comparado a paridade calculada com a paridade recebida e gerada uma síndrome. A síndrome se igual a zero indicará que não houve erro, por outro lado, se diferente de zero é verificado se o número de canais inativos é ≥ 4, para investigar se pode-se fazer correção direta do erro introduzido. Se confirmada a possibilidade de correção direta, esta é feita e a partir daí é repetido todo o processo de de codificação, para verificar se agora tem-se a síndrome igual a zero. Se esta permanece diferente de zero é feito um pedido automático de retransmissão (ARQ). Nas figs. 6.30 e 6.31 é mostrado o flu xograma deste programa.



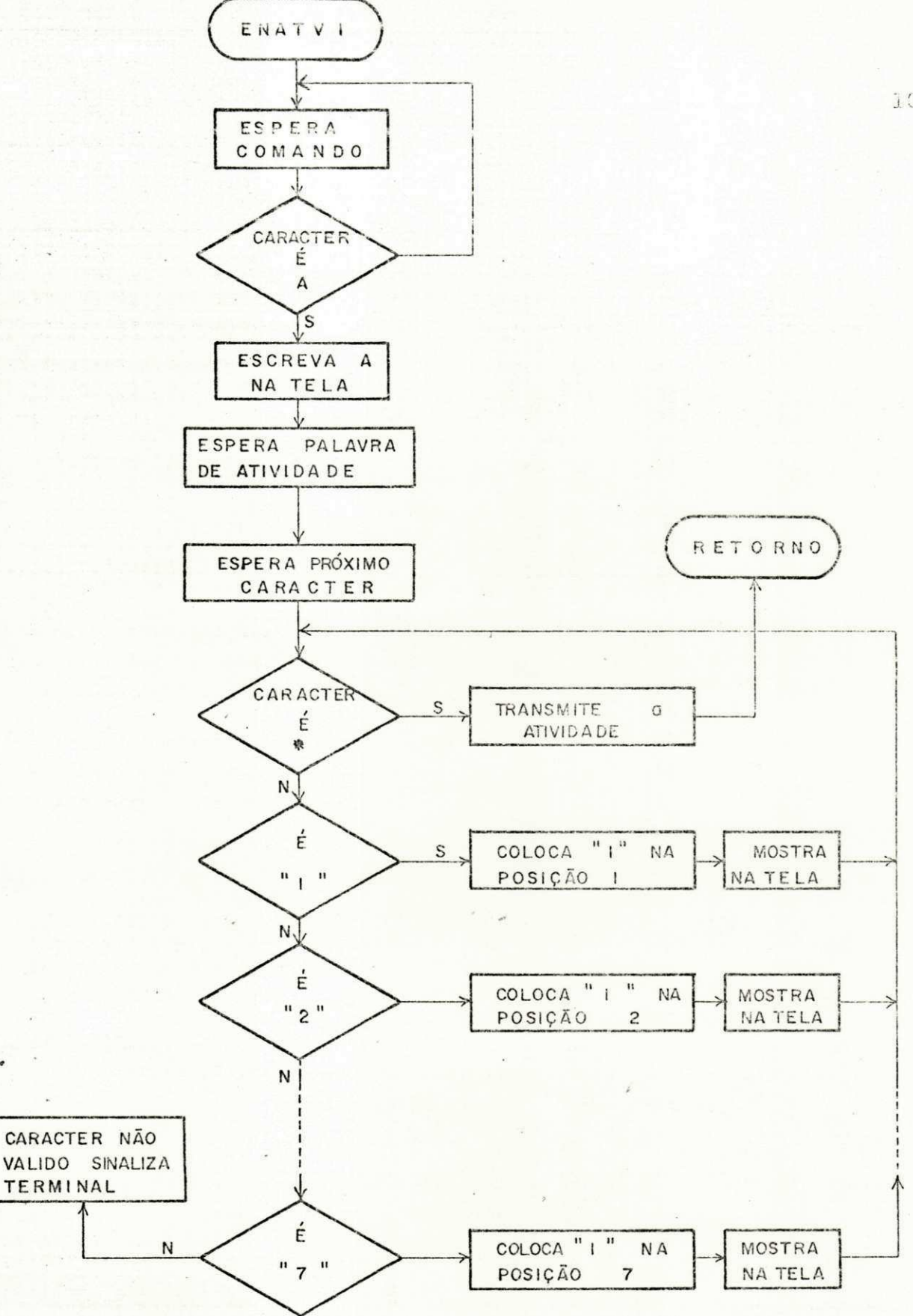


FIG. 6. 19 - PROGRAMA DE . ENTRADA DE .ATIVIDADE INICIAL

TERMINAL

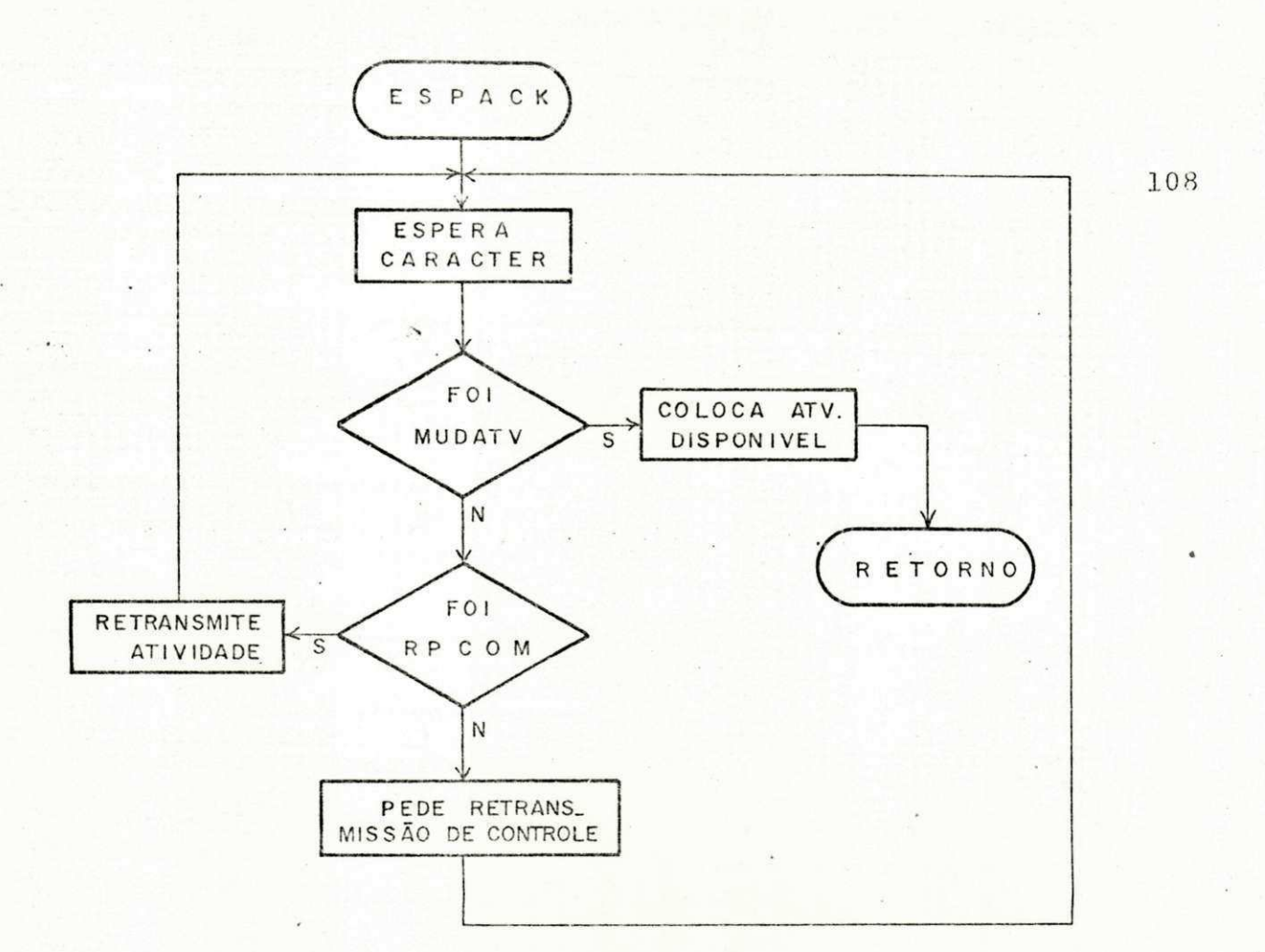


FIG. 6.20 - PROGRAMA DE ESPERA DE RECONHECIMENTO DE ATIVIDADE

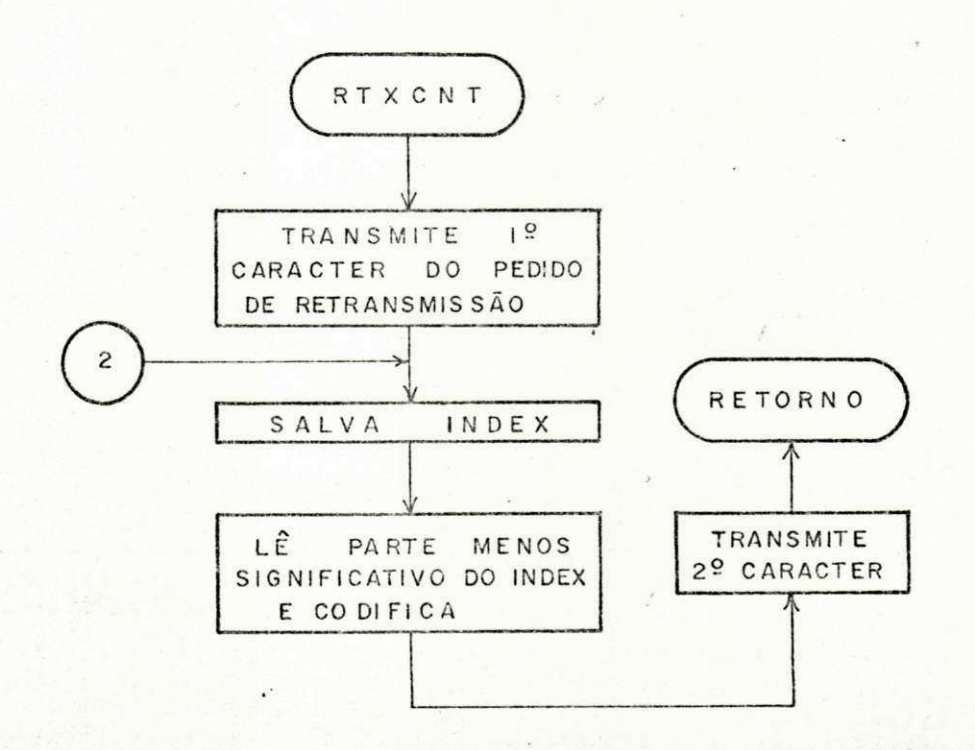


FIG. 6. 21 - PROGRAMA DE PEDIDO DE RETRANSMISSÃO DE CONTROLE

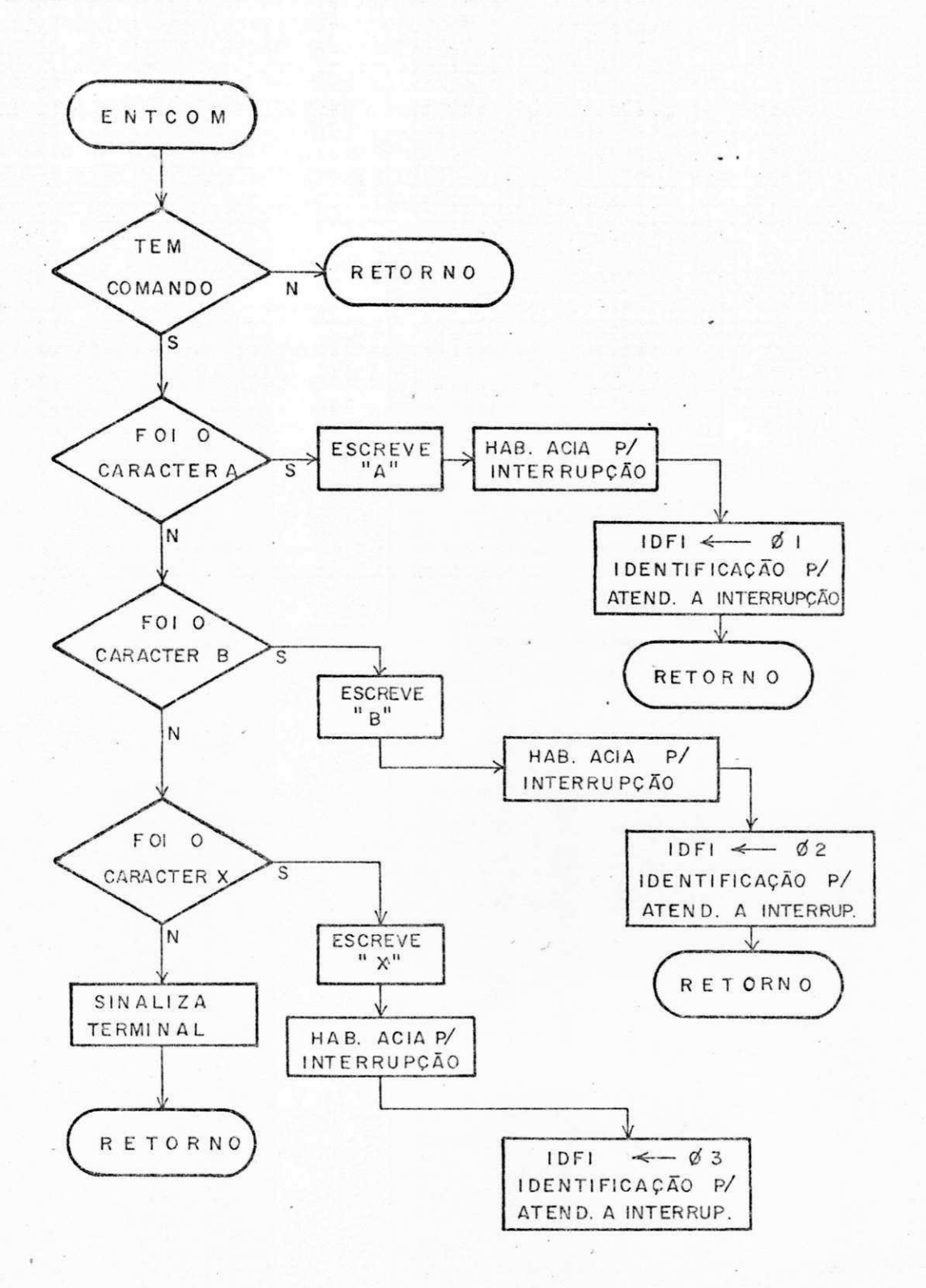


FIG. 6. 22 - PROGRAMA DE ENTRADA DE COMANDO

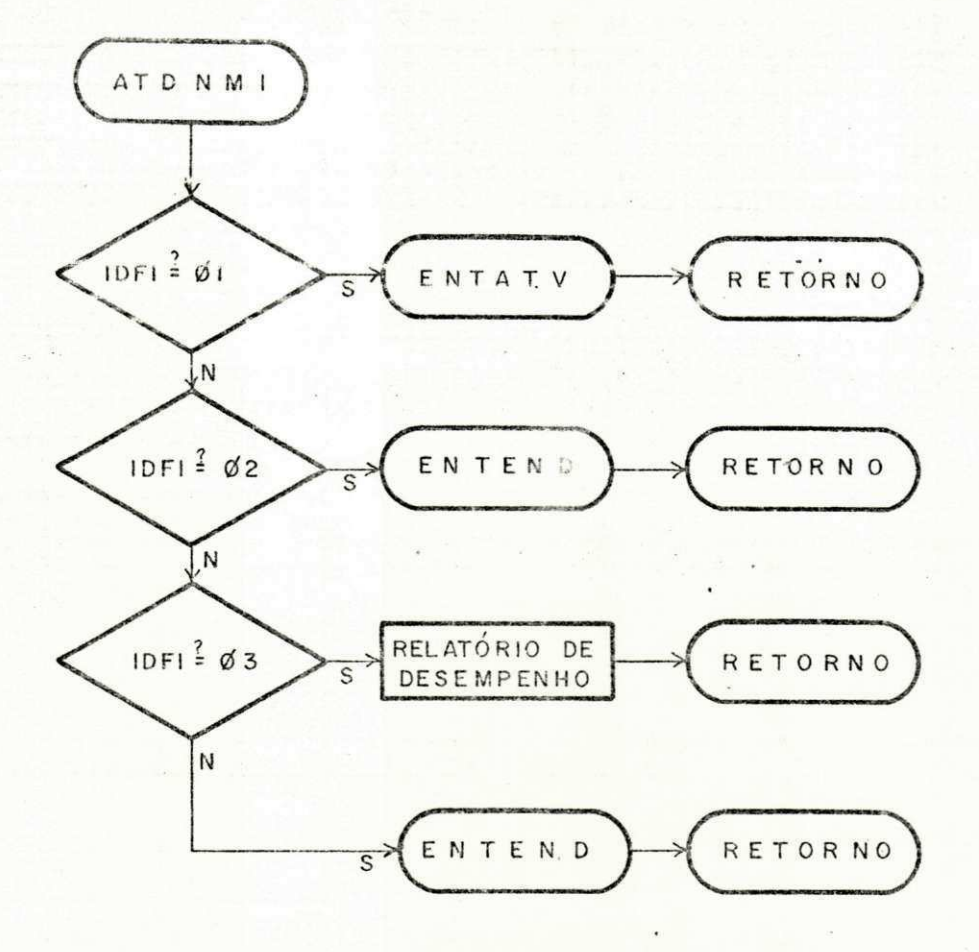


FIG. 6. 23 - PROGRAMA DE ATENDIMENTO A NMI

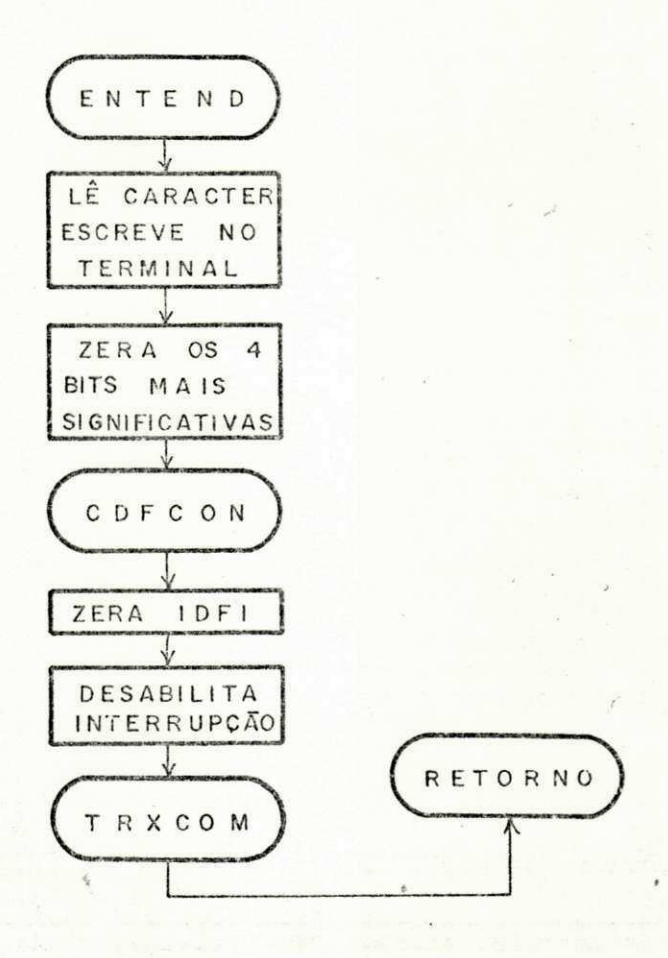


FIG. 6. 24 - SUBROTINA DE ENTRADA DE ENDERECOS

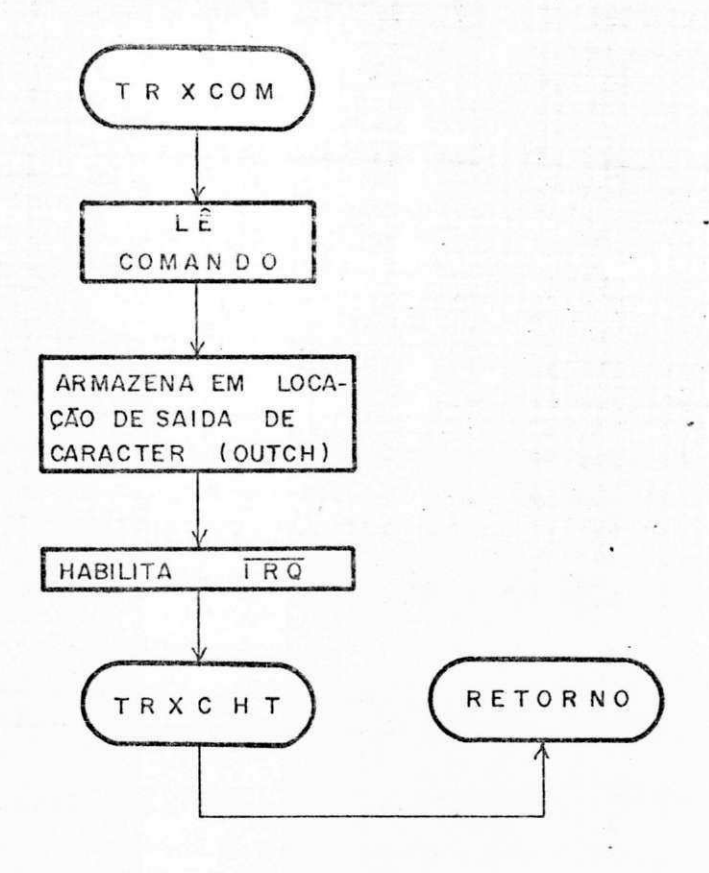
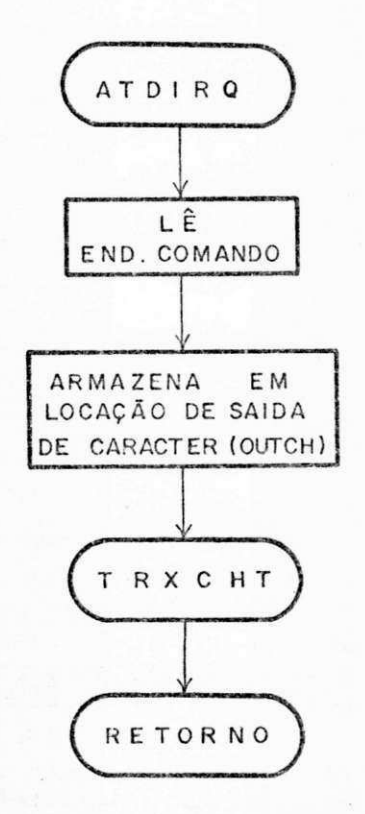


FIG. 6.25 - SUBROTINA DE TRANSMISSÃO DE COMANDO



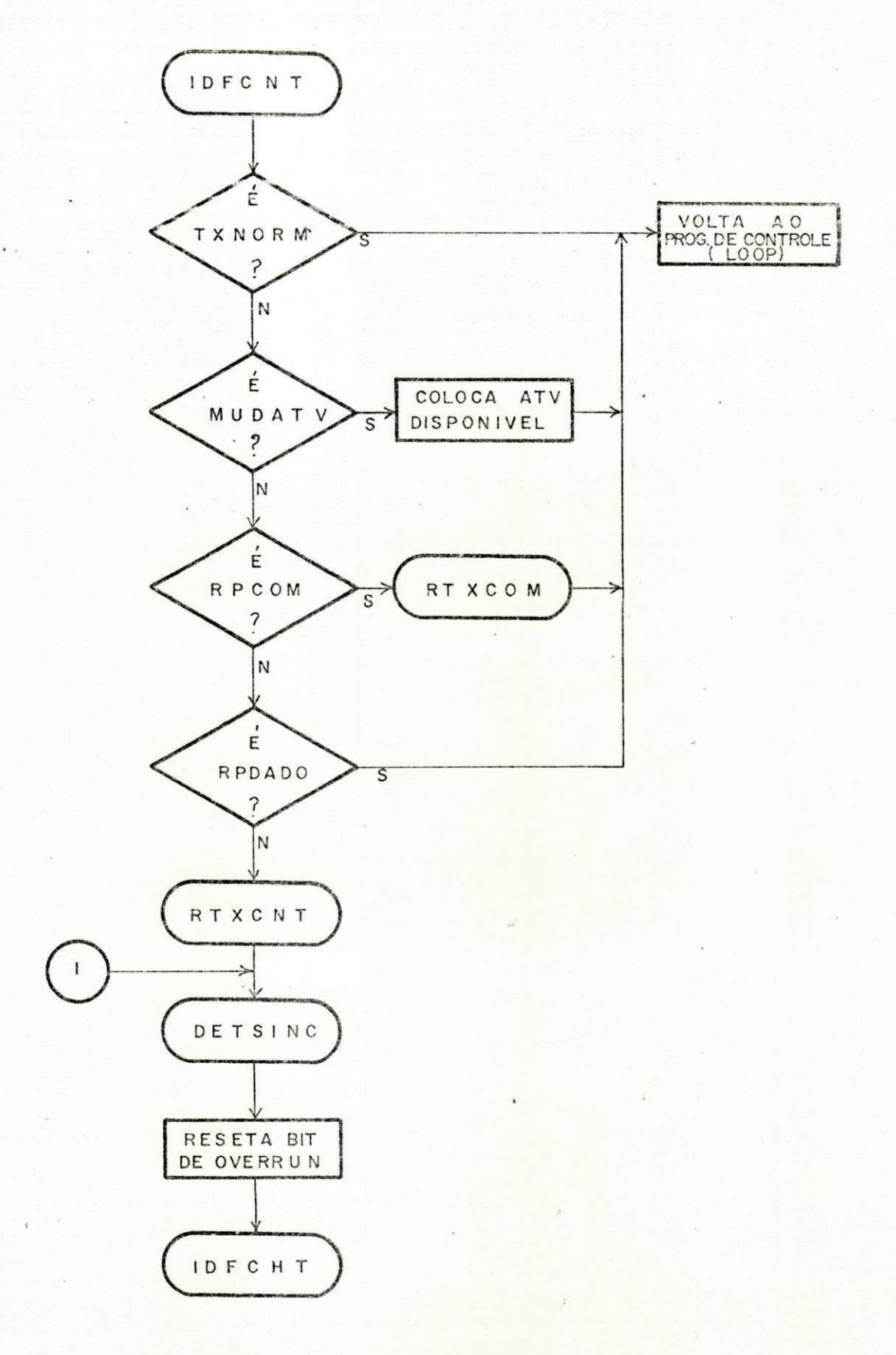


FIG. 6. 27 - PROGRAMA DE IDENTIFICAÇÃO DE CONTROLE

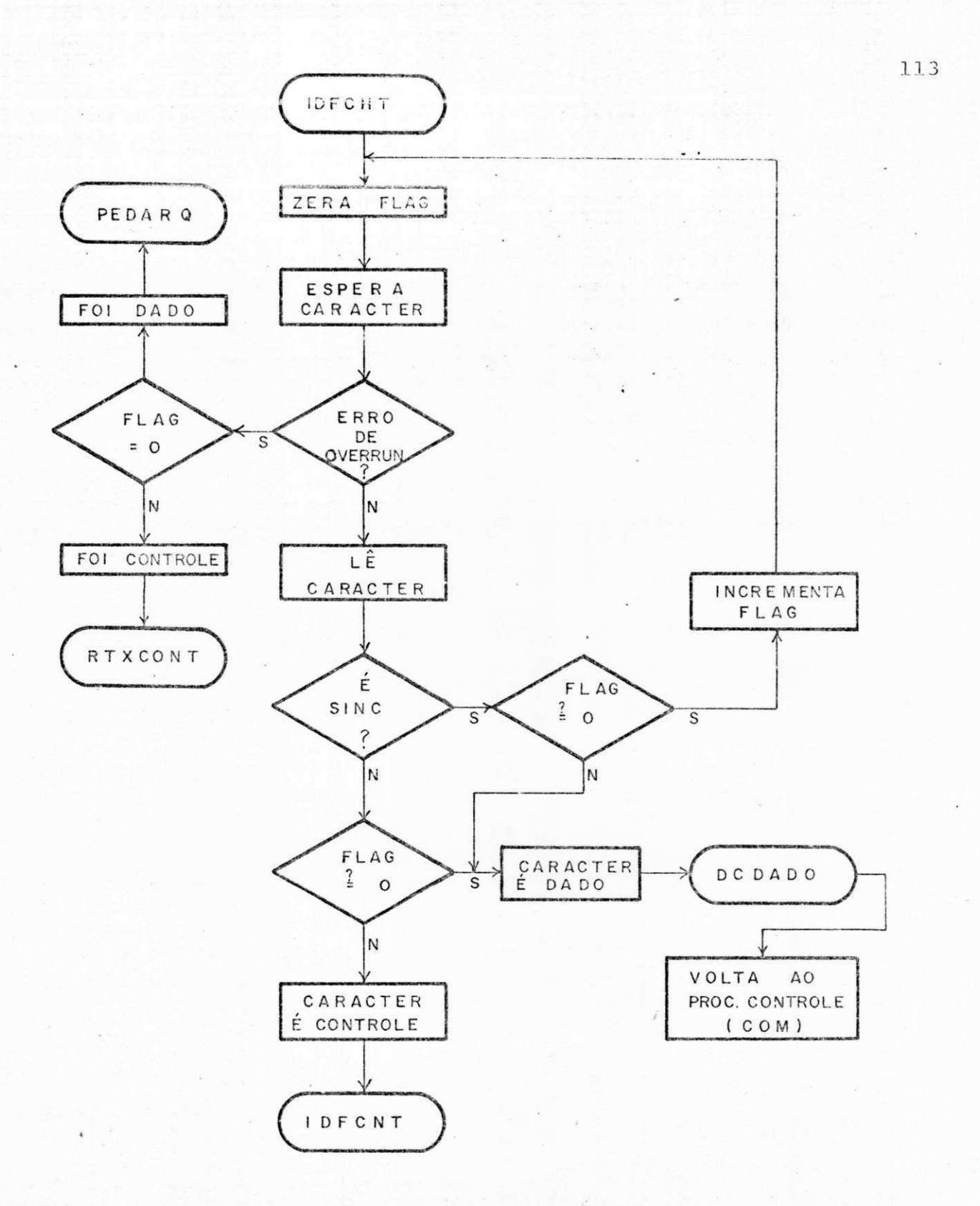


FIG. 6. 28 - PROGRAMA DE IDENTIFICAÇÃO DE CARACTERES

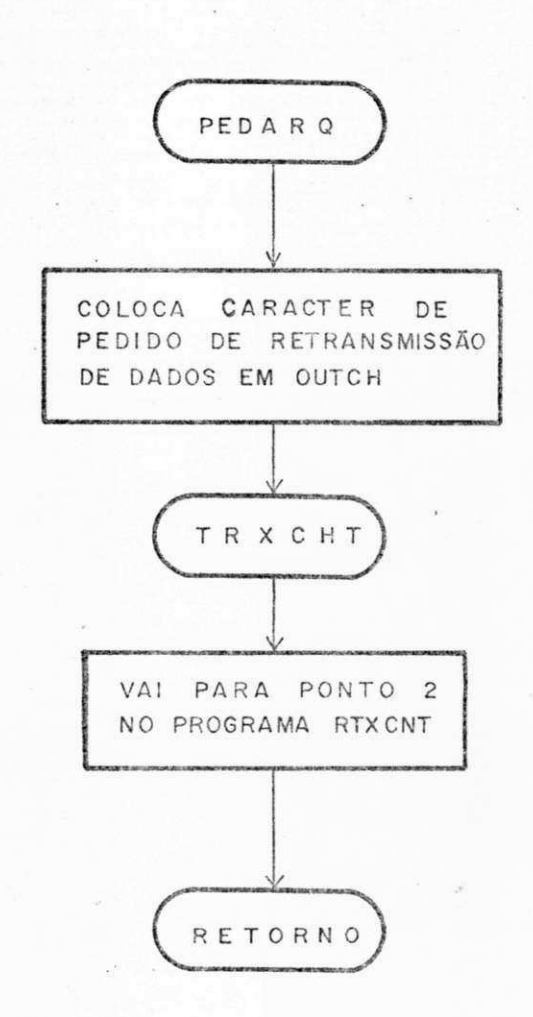


FIG. 6.29 - SUBROTINA DE PEDIDO DE RETRANSMISSÃO DE DADOS

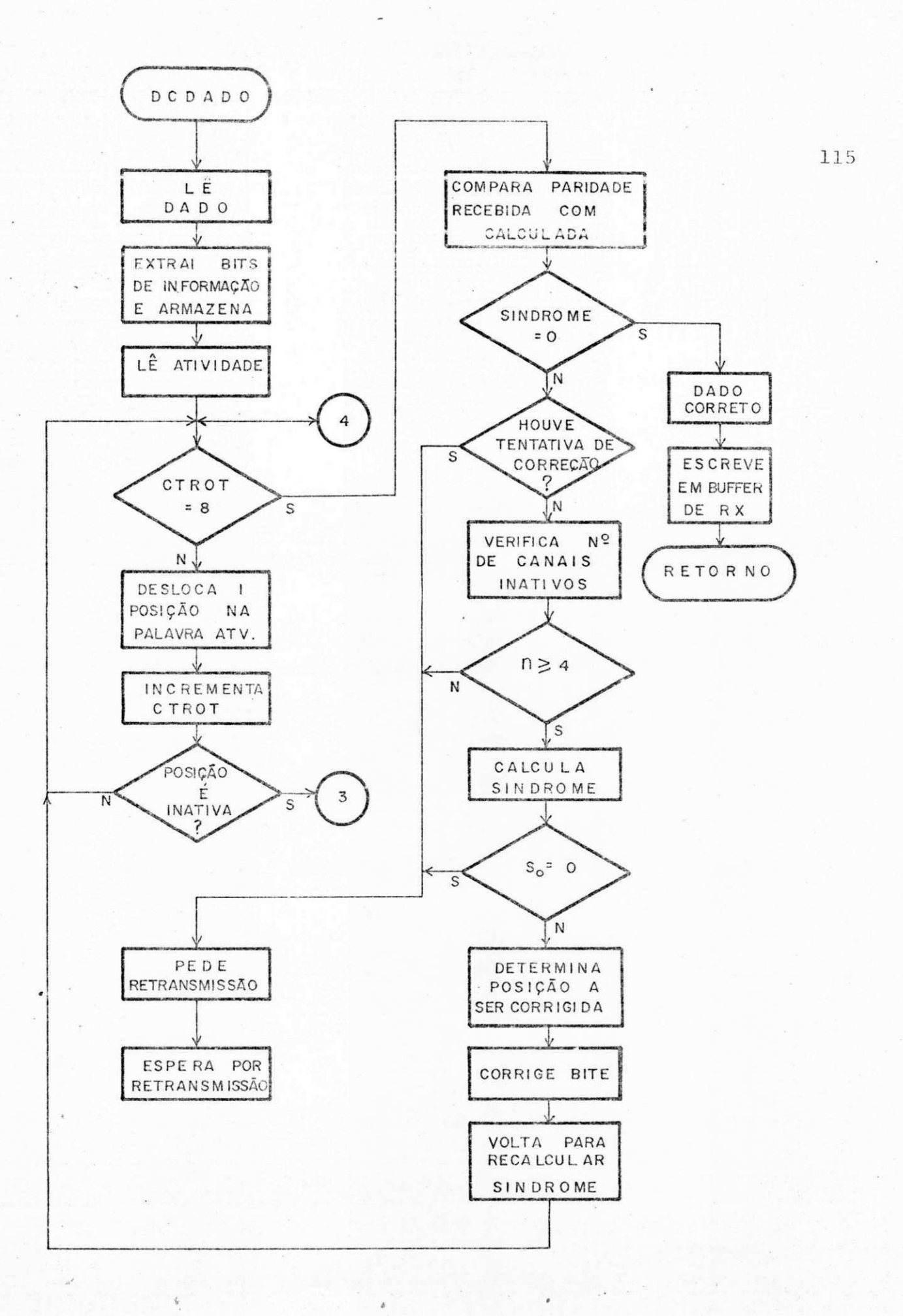


FIG. 6.30 - PROGRAMA DE DECODIFICAÇÃO DE DADOS

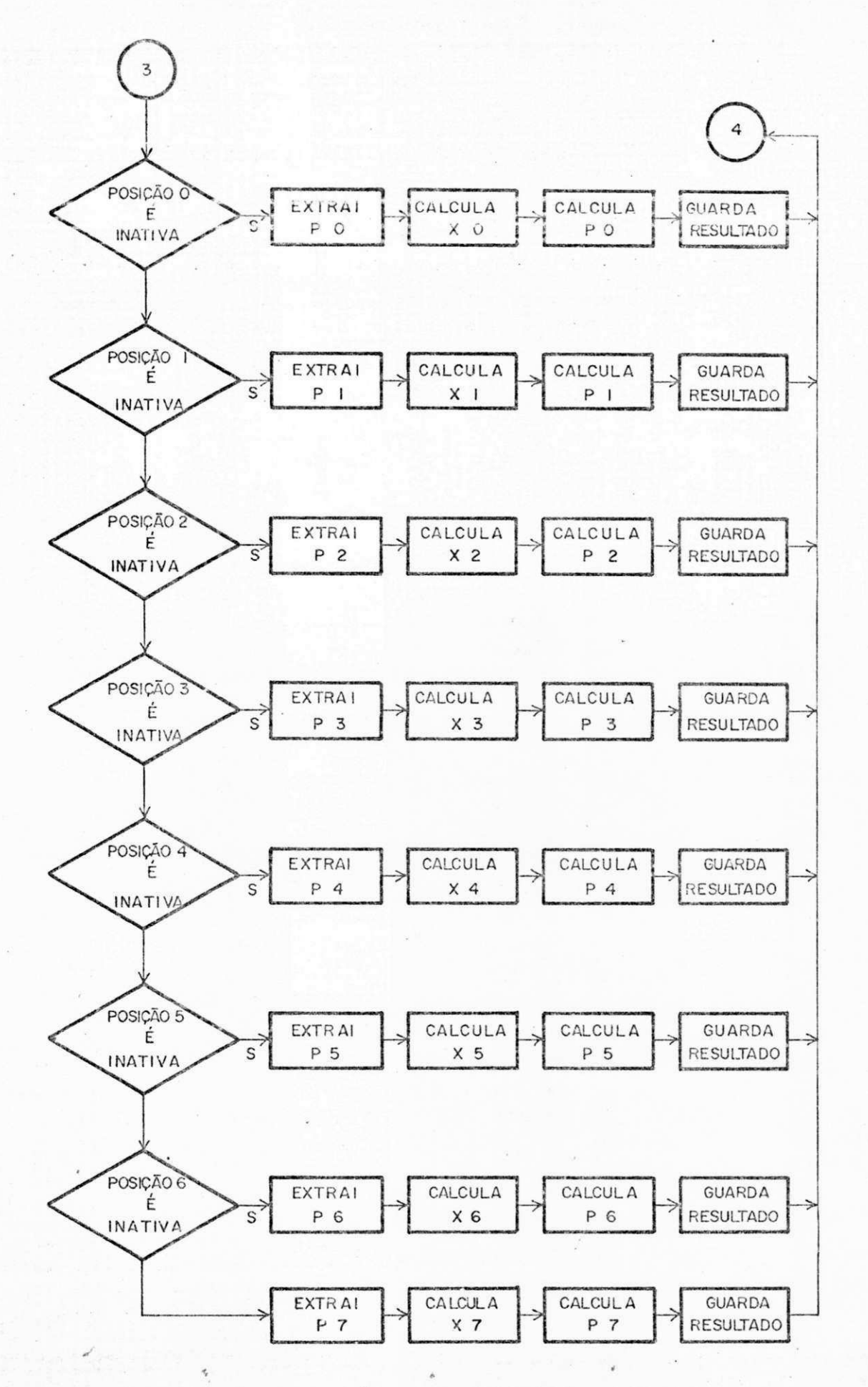


FIG. 6.31 - CONTINUAÇÃO DO PROGRAMA DCDADO

# 6.4 - ENDEREÇOS ESPECIAIS CENTRO/REMOTA (C/R)

END.	NOME	DESCRIÇÃO	
øø41	OUTSN	Saída de Caracter para Sinalização	C/R
øø42	CONTI	Contador de Frame (LSB)	C/R
ØØ43	CONT1+1	Contador de Frame (MSB)	C/R
ØØ44	INIC	Identifica Retorno para ESPATV	R
ØØ44	GEND	Guarda Endereço	С
ØØ45	GATV	Guarda Atividade	C/R
ØØ46	USATV	Atividade em Uso	C/R
ØØ47	GCONT	Guarda Controle	C/R
øø48	NOVAT	Ident. Recebimento de Nova Atividade	R
øø48	CTINA	Contador de Inatividade	C
øø49	GCOM	Guarda Comando	C/R
ØØ4A	OUTCH	Saida de Caracter para USART	C/R
ØØ4B	FLAG	Identificação de duplo SINC	C
øø4c	CTROT	Contador de Rotações	C/R
ØØ4D	CTUM	Contador de Ums	C/R
ØØ4E	CTPAS	Contador de Paso	C/R
ØØ4F	GV j	Guarda Vetor V	C/R
øø5ø	DADO	Guarda Dado	C/R
øø51	GXi	Guarda Vetor X <sub>i</sub>	C/R
øø52	GP <sub>i</sub>	Guarda paridade calculada	C/R
ØØ53	GCDC	Guarda Dado Codificado	R
øø53	CTFEC	Conta Correções Diretas	C

END.	NOME	DESCRIÇÃO	
ØØ54	CTARQ	Conta Correções por ARQ	С
øø54	LOCAL	Rascunho	R
øø55	COFOR	Guarda Comando Formatado	R
øø55	IDFI	Identifica interrupção por NMI	С
øø56	IDFRQ	Identifica interrupção por IRQ	R/C
øø57	GSTAK	Guarda Valor do S.P (LSB)	R/C
øø58	GSTAK	Guarda Valor do S.P (MSB)	R/C
øø59	TEMP	Guarda X (LSB)	R/C
ØØ5A	TEMP +1	Guarda X (MSB)	R/C
ØØ5B	GPRX	Guarda Paridade Recebida	R/C
øø5c	GPCAL .	Guarda Paridade Calculada	R/C
ØØ5D	GSND	Guarda Sindrome	С
ØØ5E	RECA	Identifica Recalculação da Sindrome	С
ØØ5F	GATVD	Guarda Atividade Complementada	С
øø6ø	СТСМР	Contador de Comparação	С
ØØ61	PARI	Identifica para Retorno a CDFCOM	С
ØØ62	RASC1	Rascunho 1	С
øø63	RASC2	Rascunho 2	C
øø63	COMEC		R
ØØ	COMEC + 1		R
øø65	TAB	Endereço Inicial de Tabela (LSB)	R/C
øøe6	TAB +1	Endereço Inicial de Tabela (MSB)	R/C
øø67	FMTAB	Endereço Final de Tabela (LSB)	R/C
øø68	FMTAB+1	Endereço Final de Tabela (MSB)	R/C

END.	NOME	DESCRIÇÃO .	
5øø1	ACIARX	ACIA - Reg. de Recepção	R
5øø1	CIATX	ACIA - Reg. de Transmissão	R
5øøø	ACIAST	ACIA - Reg. de "Status" .	R
5øøø	ACIACT	ACIA - Reg. de Controle	R
48ØØ	USRTX	USART - Reg. de Transmissão	R
48ØØ	USRRX	USART - Reg. de Recepção	R
4801	USRST	USART - Reg. de Status	R
4801	USRCM	USART - Reg. de Comando	R
CØØA	AC IARX	ACIA - Reg. de Recepção	С
CØØA	ACIATX	ACIA - Reg. de Transmissão	С
CØØB.	ACIAST	ACIA - Reg. de "Status"	С
СØØВ	ACIACT	ACIA - Reg. de Controle	С
8øøø	USARX	USART - Reg. de Recepção	C
8øøø	USARTX	USART - Reg. de Transmissão	С
8øøl	USARST	USART - Reg. de "Status"	С
8øø1	USARCM	USART - Reg. de Comando	С

# CAPÍTULO VII

# COMENTÁRIOS E CONCLUSÕES

Este trabalho teve como objetivo principal, o proje to de um sistema de multiplexação que aproveitasse, de forma adaptativa, a inatividade de canais para controle de erros, de forma a obter uma melhor NDT. Foi portanto implementado um controle híbrido de erros ARQ/FEC, onde o aumento da NDT foi conseguido com a diminuição do número médio de repetições,oca sionado pelo controle direto (FEC).

mente, capacidade de canal por capacidade de controle de erros, apresentam a desvantagem de não possuirem uma probabilidade de erros uniforme para todo o tempo, devido à variação da atividade durante o tempo de utilização. Na realidade, nor malmente não se tem interesse sobre a probabilidade média de erros, mas sua confiabilidade em todo instante, sendo ideal que esta seja uniforme. Um sistema de MDC pode apresentar baixa probabilidade de erros em média, e nas mesmas condições de canal apresentar alta probabilidade de erros, quando em sua plena utilização. Neste aspecto, o sistema desenvolvido, quando plenamente utilizado, trabalha com um mínimo de redundância fixa, o que proporciona o controle de erros, através de um processo seletivo de retransmissão automática (ARQ). Entretanto, nestas situações hã um comprometimento da NDT no caso

de ocorrência de erros. Por outro lado, quando trabalhando com baixa atividade é utilizado o sistema de correção direta (FEC), evitando repetições, quando os erros estiverem ocorrendo de dentro da capacidade de correção. Quando operando em uma situação de ocorrência de erros que exceda a capacidade de correção, volta a trabalhar na forma ARQ.

O processo de retransmissão desenvolvido, permite que o sistema se acomode adaptativamente em relação ao número (N) de palavras a serem retransmitidas, quando de um pedido de retransmissão. Desta forma, tem-se um valor variável de N que dependerá do "delay" no enlace e cuja limitação estará no tamanho dos Buffer's de transmissão e recepção. Estes Buffer's foram dimensionados com tamanhos iguais e estão sincronizados para possibilitar o processo de retransmissão seletiva.

Um aspecto importante a ser considerado é que o sistema desenvolvido possui uma capacidade de transmissão de 13 comandos endereçáveis, cada um, a até 16 pontos, Os comandos devem ser definidos dependendo da aplicação específica. Estes comandos são transmitidos na direção Centro/Remota e podem ser enviados a qualquer instante. O Centro possui um sistema operacional que permite conversação interativa com o operador. Para tanto, foram elaboradas rotinas de atendimento ao conso le do operador. Desta forma, o operador envia os comandos de sejados e recebe a confirmação de que o comando foi executado. Também o operador é informado sempre que um comando não válido foi carregado, o qual é rejeitado pelo sistema.

Com relação à conversação interativa do sistema com o operador, foi apresentado um problema de casamento de velocidade, entre o periférico através do qual eram carregados os comandos e o periférico que recebia os dados da Remota, uma vez que, para o primeiro, tinha-se 110 bits/seg e para o segundo 1200 bits/seg. Este problema foi resolvido com a utilização da técnica de atendimento por interrupção. Desta forma,

para o atendimento de um comando (ident. comando + end. comando) evitou-se que o processador ficasse esperando que o segundo caracter da palavra de comando fosse carregado, o que levaria à perda de algumas palavras de dados e consequente erro de "overrun".

Outro ponto relevante, no sistema desenvolvido, foi a implementação de um protocolo de linha, que permite que palavras de dados que possuem o mesmo formato das palavras de sincronismo não sejam confundidas com estas.

Um aspecto interessante a ser ressaltado é que o sistema pode ser aumentado para um número de canais correspondentes a qualquer potência de dois. Um estudo de hierarquias do sistema desenvolvido e implicações práticas quanto ao aumento do número de canais se apresenta como um aspecto interessante a ser investigado.

Em primeiro lugar, sugere-se um estudo quanto ao de sempenho do sistema acoplado a vários tipos diferentes de con centradores. E ainda, um estudo e levantamento do desempenho para diferentes modelos de canais ruidosos, com determinações quanto a regiões ótimas de operação no que diz respeito à atividade.

Por fim, para continuação desta pesquisa, sugere-se um estudo e desenvolvimento de um sistema de multiplexação que . combine uma alocação dinâmica de canais, com uma alocação a-daptativa de redundância para controle de erros.

#### BIBLIOGRAFIA

- 1 ARAŪJO, A.A. Sistema de Aquisição de Dados para Um Cam po de Testes de Turbinas Eôlicas. Tese de Mestrado , DEE/CCT/UFPb, janeiro-1981.
- 2 ARAÚJO, P.R.C. Prosad, Um Sistema de Aquisição de Dados e Controle de Processos. Tese de Mestrado, DEE/CCT/UFPb, janeiro-1981.
- 3 ABRAMSON, N. Information Theory and Coding. New York, McGraw-Hill, 1963.
- 4 AGUIAR NETO, B.G., MARTINS, J.S.B. e ROCHA NETO, I. Implementação de um Sistema de Multiplexação Adaptativa usando microprocessador. 4º Seminário de Instrumentação do IBP. Rio de Janeiro, 1981.
- 5 BENICE, R.J. and FREY JR., A.H. Companisons of Error Control Techniques. IEEE, Transactions On Communication Technology, December-1964, pp.146-154.
- 6 \_\_\_\_\_\_\_. An Analysis of Retrans mission Systems. IEEE, Transactions On Communication Technology, December-1964; pp.135-145.
- 7 BALKOVIC, M.D. e MUENCH, P.E. Effect of Propagation De lay Caused by Satellit Circuits On Data Communications SYSTEMS That use Block Retransmission for Error Correction. In ICC CONF. REC., June-1969.
- 8 BURTON, H.O. and SULLIVAN, D.D. Erros and Control, Proceedings of the IEEE. Vol. 60, November-1972.
- 9 CAMELO, F. and ROCHA NETO, I. A New Code Division Multiplex. Anais do 89 SEMISH, Florianopolis-1981.

- 10 CHANG, J.H. Comparison of Synchronous and Asynchoronous Time Division Multiplexing Techniques 70 CP 380.

  Com pp. 16.10 16.17, 1971.
  - 11 CHIEN, R.T. Block Coding Techniques for Reliable Data Transmission, IEEE Transactions on Communications Technology. Vol. COM-19, no 5, pp.772-780, October-1971.
  - 12 CARLSON, B. Communication System: An Introduction to Signals and Noise in Electrical Communication. McGraw -Hill, Electric and Electronics Engineering Series -1968.
- 13 CHU, W.W. Demultiplexing Considerations for Statistical Multiplexors. IEEE Transactions on Communications, pp. 285-291, Junho-1972.
  - 14 CAVALCANTI, J.H.F., DEEP,G.S. e NAZARENO, R.C.A. Siste ma de Desenvolvimento de Software de Microprocessado-res para Aplicações em Tempo Real. Anais do Pael'81, Expodata Buenos Aires, Argentina, Março-1981.
- 15 DOLL, D.R. Multiplexing and Concentration Proc. IEEE, vol. 60, n

   11, pp.1313-1321 November-1972.
  - 16 \_\_\_\_\_\_. Basics of Network Design, Basics of Data Communications. Electronic Book Series, Mc-Graw Hill, New York 1976.
  - 17 DAVIES, D.W. and BARBER, D.L.A. Communication Networks for Computers. Londres, John Wiley & Sons, Inc., 1972.
  - 18 DAVIES, D.C., KENNET, T.P. and DAVID, P.R. An Introduction to Local Networks, Proc. IEEE, vol. 66, no 11, November-1978.

- 19 FAYOLLE, G., GELENDE, E., and PUGOLLE An Analytic Evaluation of the Performance of the "Send and Wait" Protocol. IEEE, Transactions on Communications. vol. Com. 26, no 3, March-1978.
- 20 FRANK, H. and SCHAM, W. Topological Optimization of Computers Networks, Proc. IEEE, vol.60, no 11, pp. 1385-1396 November-1972.
- 21 FORNEY JR., G.D. Burst Correcting Codes for the Classic Bursty Channel. IEEE, Transactions on Communications Technology, vol. Com-19, no 5, pp.772-780, October-1971.
- 22 GIOZZA, W.F. Multiplex Digital por Divisão em Codigos Ciclicos. Tese de Mestrado, DEE/CCT/UFPb, Maio-1979.
- 23 GORDON, T.H. and BARNETT, R.J. Design and Performance of Statistical Multiplexer. IEEE Trans. Communications, Com. 20, no 3, pp.9-25, Junho-1972.
- 24 GALLAGER, R.G. Information Theory and Coding, New York, Mc-Graw-Hill, 1963.
- 25 HARRIN, R. Performance of Simple Multiplexor-Concentrations for Data Communications. IEEE Trans. on Communications Technology, Com. 19, no 2, pp. 178-197, Abril-1971.
- 26 INTEL Perisheral Design Hand book. Intel, April-1978.
- 27 KONHEIM, A.G. A Queneing Analysis of Two ARQ Protocols. IEEE Trans. on Communications, Vol.Com-28,pp.1004-1014, July-1980.
- 28 LIN, S. An Introduction to Error Correcting Codes. New Jersey, Prentice Hall, Englewoods Cliffs, 1970.

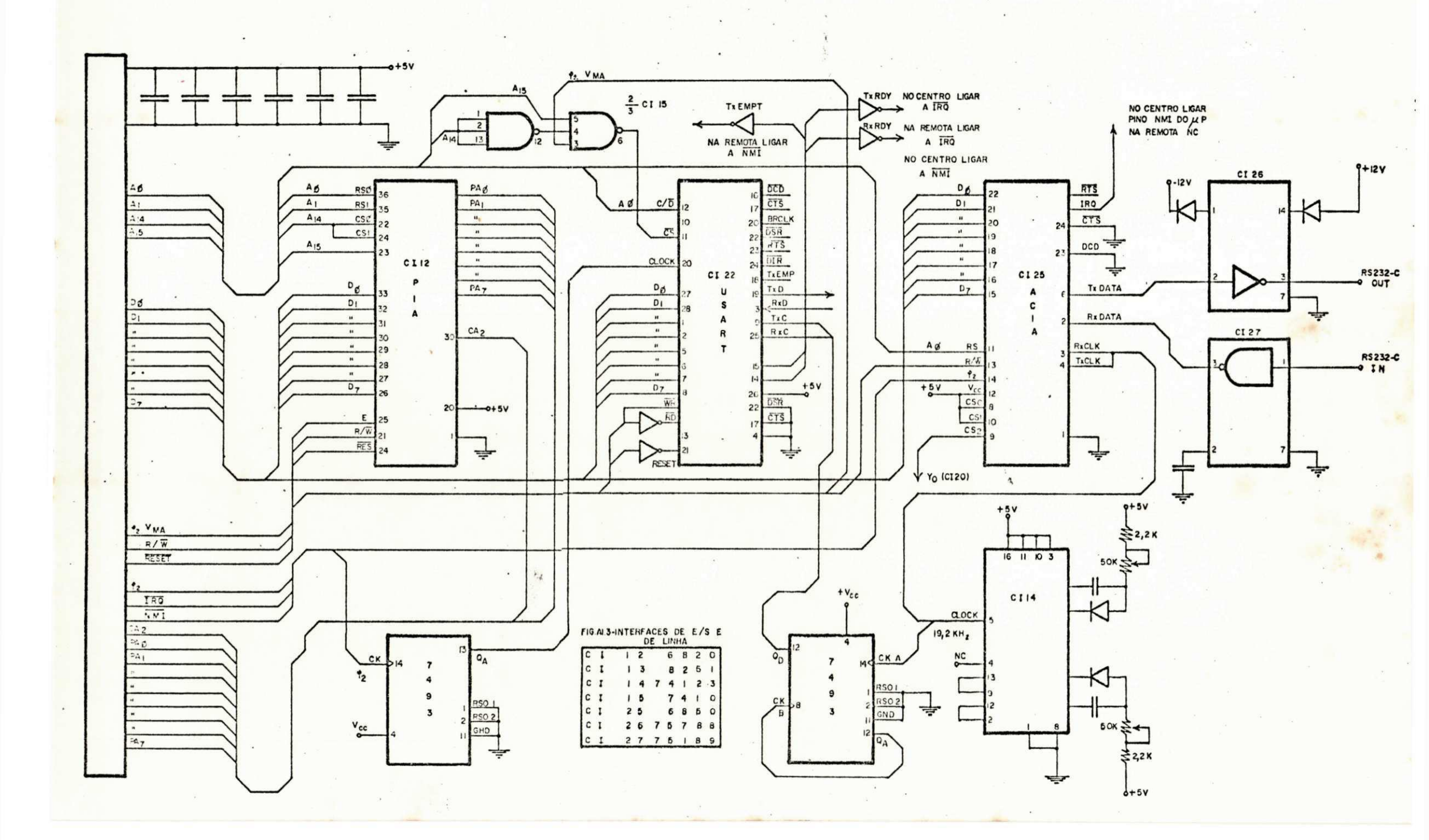
- 29 LATHI, B.P. Sistemas de Comunicação. Rio de Janeiro, Guanabara Dois, 1979.
- 30 MORAIS, M.E. Multiplexação Dinâmica por Divisão em Tempo. Tese de Mestrado, DEE/CCT/UFPb, Junho-1980.
  - 31 McGRUTHER, W.G. Throughput of High Speed Data Transmis sion Error Control Schemes over Voiceband with channels.

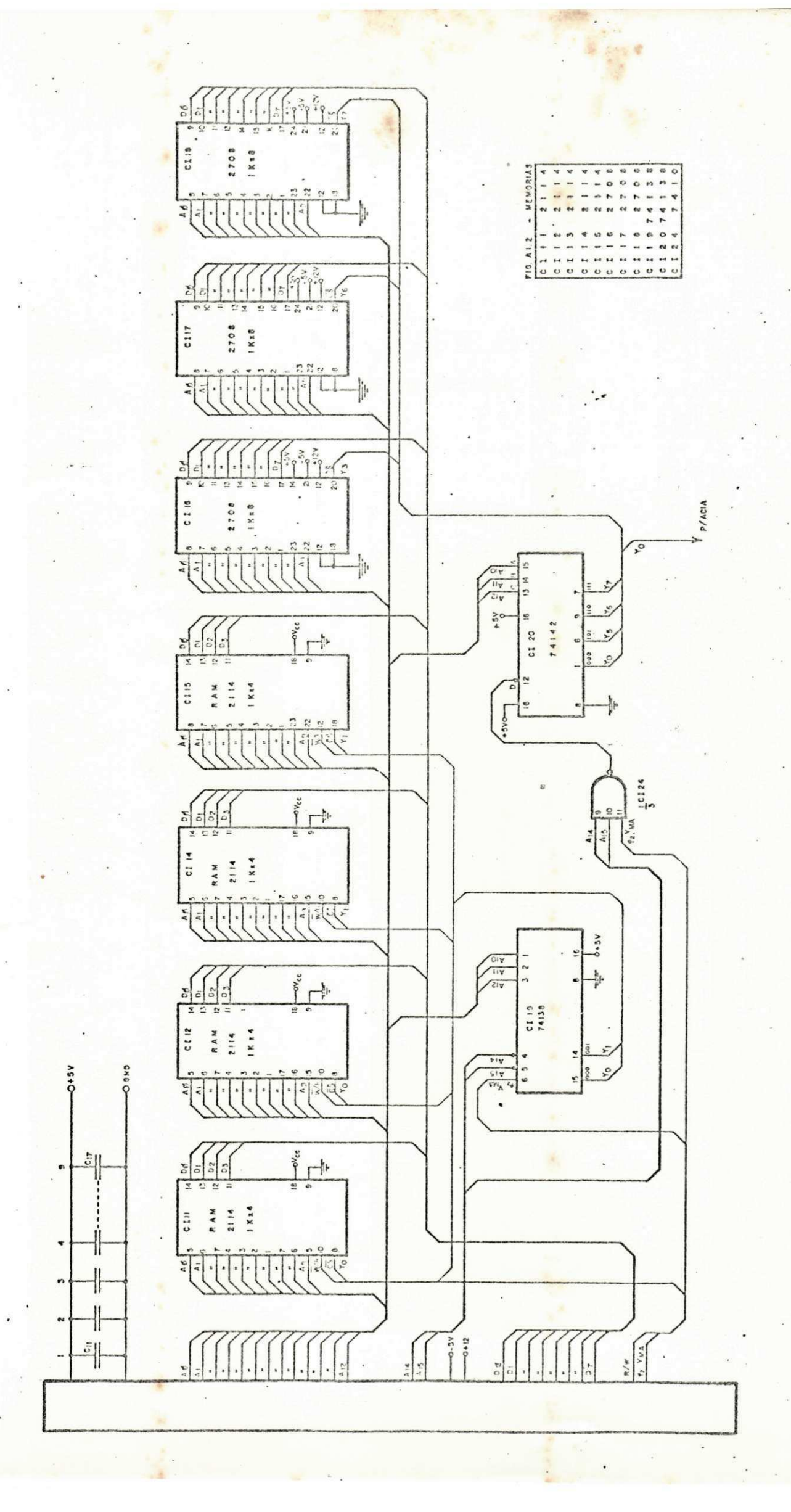
    Proc. of the International Conference on Communications,
    June-1972.
  - 32 MOTOROLA MC6800 Programing Reference Manual. Motorola Inc, 1976.
  - 33 MOTOROLA MC6800 Microprocessor Applications Manual. Motorola Inc, 1975.
  - 34 MARTIN, J. Introduction To Teleprocessing. New Jersey, Prentice-Hall, 1972.
  - 35 NATIONAL Memory Data Book. National Semiconductor Corporation, 1980.
- 36 PAN, J.W. Synchronizing and Multiplexing in a Digital Communications Networks. IEEE Proc. Vol.60, no 5,pp. 594-601, Maio-1972.
- 37 PETERSON, W.W. and WELDON JR., E.J. Error Correcting Codes. Massachusetts, The Mit Press, 1972.
  - 38 SHANNON, C.E. A mathematical Theory of Communication, Bell System Tech I. Vol. 27, part I, pp.379-423, July 1948; part II, pp.623-656, october-1948.
  - Proc. IRE, Vol. 37, no 1, pp. 10-21, January-1949.
  - 40 SASTRY, A.R.K. Improving Automatic Repeat-Request(ARQ)

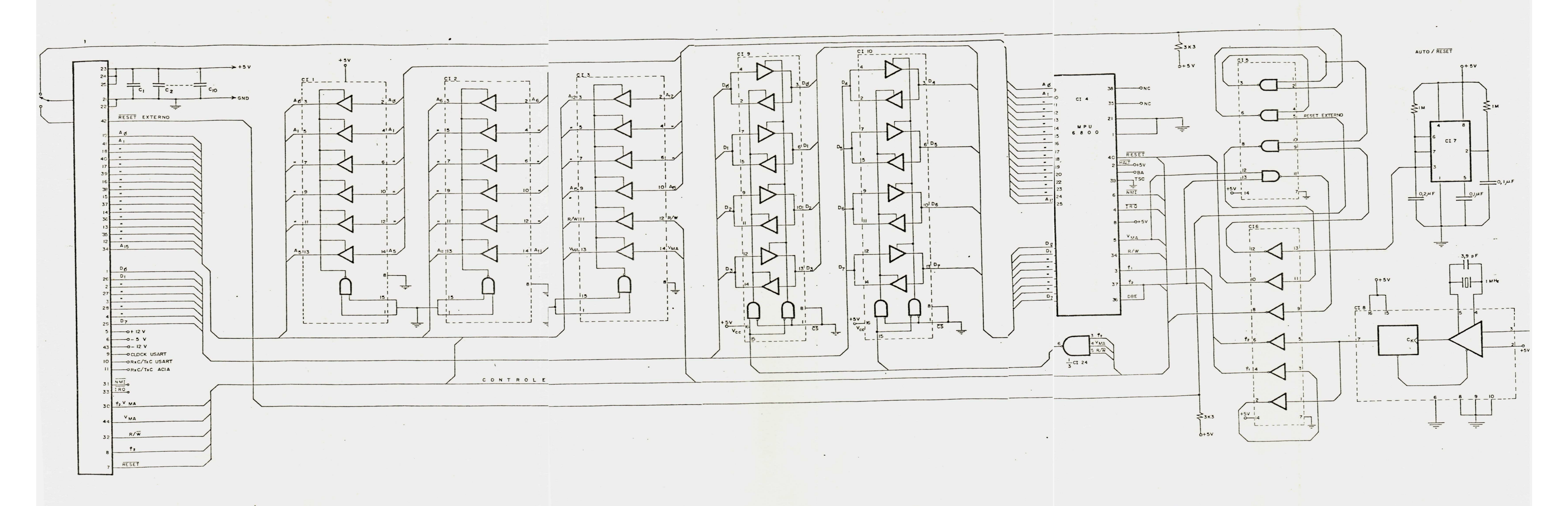
- Performance on Satelite Channels Under High Error Rate Conditions. IEEE, Trans. pp.436-439, April-1975.
- 41 SASTRY, A.R.K. and KANAL, L.N. Hibrid Error Control Using Retransmission and Generalized Burst-Trapping Codes. IEEE, Trans. on Communications, Vol. Com.24, no. 4, April-1976.
  - 42 TOWSLEY, D. The Stutter Go Back-N ARQ Protocol. IEEE Trans. on Communications, Vol. Com. 27, no 6, June-1979.
  - 43 TEXAS The TTL Data Book for Design Engineers. Texas Instruments Inc., 2. Edition, 1976.
  - The Interface Circuits Data Book for Design Engineers. Texas Instruments Inc., 1ª Edition, 1977.

APÊNDICE I

DIAGRAMAS DOS CIRCUITOS







APÊNDICE II.

LISTAGEM DO "SOFTWARE"

LABEL	MNEM.	OPERANDO
TXSMLZ	LDAB	# Ø 2
	ВІТВ	ACIAST
	BEQ	TXSNLZ
	LDAB	OUTSN
±:	STAB	ACIATX
•	RTS	
TXCRLF	LDAB	# CR
	STAB	OUTSN
	BSR	TXSNLZ
	LDAB	#LF
	STAB	OUTSN
	BSR	TXSNLZ
	RTS	
CDFDAD	CLR	CTROT
	LDAA	USATV
	ANDA	GDADO
4	STAA	GV <sub>j</sub>
	LDAB	USATV
TEST	LDAA	# SØ8
*	COMPA	CTROT
***************************************	BNE	VAI
*	RTS	
VAI	ASLB	
	INC	CTROT
	BSC	TEST

ADRESS	0	O P. CODE	
F4ØØ	С6	Ø2	
	F5	5ØØØ	
	27	F9	
	D6	41	
	F7	5ØØ1	
	39		
	C6	ØD .	
	D7	41	
	8D	ED	
	С6	ØA	
	DF	41	
	8 D	E7	
F419	39		
F41A	7 F	ØØ4C	
7.	96	46	
and the second second	94	5Ø	
	97	4 F	
	D6	46	
F425	86	Ø8	
	91	4 C	
	26	Ø1	
	39		
	58		
	7 C	ØØ4C	
	25	F3	

LABEL	MNEM.	OPERANDO
	LDAA	#SØ1
	COMPA	CTROT
	BEQ	SALT0
	LDAA	#SØ2
	COMPA	CTROT
	BEQ	SALT1
	LDAA	#SØ3
	COMPA	CTROT
	BEQ	SALT2
	LDAA	#SØ4
	COMPA	CTROT
4460	BEQ	SALT3
	LDAA	#SØ5
	СОМРА	CTROT
	BEQ	SALT4
	LDAA	#SØ6
	COMPA	CTROT
	BEQ	SALT5
	LDAA	#SØ7
	COMPA	CTROT
·	BEQ	SALT6
	JMP	CALCP7
SALT0	JMP .	CALCPØ
SALT1	JMP	CALCP1
SALT2	JMP	CALCP2
SALT3	JMP	CALCP3

ADRESS	0	P. CODE
F432	86	Ø1
	91	4 C
·	27	27
	86	ø2 <sup>'</sup>
	91	4 C
	27	24
	86	Ø3 .
	91	4 C
	2.7	21
	86	Ø4
	91	1D
	2.7	7 1E
	86	Ø5
	91	1 D
	27	7 1B
	86	ø6
	91	1 D
	27	7 18
	86	6 Ø7
	91	1 D
	2 7	7 15
	71	F529
	71	F496
	7]	E F4A8
	7]	E F4BB
	7]	E F4CF

general and a second se	Economismos announcembris	grantermichtertententen une werdettige
LABEL	MNEM.	OPERANDO
SALT4	JMP	CALCP4
SALT5	JMP	CALCP5
SALT6	JMP	CALCP6
CALPAR	LDAA	GXi
	ASLA	PERCENTAGE OF THE PERCENTAGE O
	ASL	GXi
	ASL	GX.
	EORA	GX.
	STAA	GX.
	ASLA	
	ASLA	The second secon
	EORA	GXi
	STAA	GXi
	ASLA	
	ASLA	
-	ASLA	
Andrew State Control of the Control	ASLA	
8	EORA	GXi
	STAA	GPi
	LDAA	#S8Ø
·	ANDA	GP <sub>i</sub>
	STAA	GP <sub>i</sub>
	RTS	
CALCPØ	LDAA	#W <sub>0</sub>
	ANDA	GV j
	STAA	GXi

ADRESS		0	P. CODE
F46B		7E	F4E4
		7E	F4FA
		7E	F511
F474		96	51
		48	
		78	ØØ51
•	Charles (Charles )	78	ØØ51
ų.	and the second s	98	51
	San Francisco	97	51
	Company and a company of the company	48	
•		48	
	P. STANDARD STANDARD	98	51
	Section of the sectio	97	51
	percentage Charty	48	
	A CONTRACTOR OF THE PARTY OF TH	48	
и	and the second	48	
	che-moterature	48	
•	des seminaments	98	51
	-	97	52
	-	86	8Ø
	Construction of the Constr	94	52
	Contraction and the second	97	52
	desert state	39	
F496	CONTRACTOR SOFT	86	FF
	of restretarion	94	4 F
	Seminar Direct	97.	51

LABEL	MNEM.	OPERANDO
A Comment of the	JSR	CALPAR
	LDAA	GPi
	ORAA	GVj
	STAA	GCDC
	ЈМР	TEST
CALCP1	LDAA	# W1
	ANDA	GV j
CONTRACTOR VICE	STAA	GXi
	JSR	CALPAR
	LDAA	GP <sub>i</sub>
	LSRA	
	ORAA	GCDCj
	STAA	GCDCj
	JMP	TEST
CALCP2	LDAA	# W2
	ANDA	GV j
	STAA	GXi
	JSR	CALPAR
	LDAA	GPi
	LSRA	
and the second	LSRA	And the second second
	ORAA	GCDCj
•	STAA	GCDC <sub>j</sub>
	ЈМР	TEST
CALCP3	LDAA	# W3

ADRESS		0	P. CODE
F496		BD	F474
		96	52
		9 A	4 F
		97	53
		7E	F425
F4A8		8.6	AA
٠		94	4 F
		97	51
		BD	F474
		96	52
		44	
		9A	53
		97	53
		7E	F425
F4BB		86	СС
	AC MONTH OF THE	94	4 F
·	(in a terminal and	97	51
2 18	and the second	BD	F474
	-	96	52
	Service Committee of	44	
	A CONTRACTOR OF THE PARTY OF TH	44	
	THE CONTRACTOR OF THE CONTRACT	9A	53
	Caracter and Dept.	97	5 3
	THE PERSON NAMED IN COLUMN NAM	7E	F425
F4CF	Lagues sold with description	86	99

LABEL		MNEM.		OPERANDO
		ANDA		GV <sub>j</sub>
		STAA		GX <sub>i</sub>
		JSR	٠	CALPAR
		LDAA		GP <sub>i</sub>
	,	LSRA		, w
		LSRA		,
		LSRA		
		ORAA		GCDCj
		STAA		GCDCj
and discounting		JMP		TEST
CALCP4		LDAA	STATE OF THE PARTY	#SW4
		ANDA	ineproved the co	GVj
		STAA	September 100 to	GXi
		JSR	ensorreprenation	CALPAR
		LDAA	Calculation washing	GPi
		LSRA	THE PROPERTY OF THE	
		LSRA	Andrew Colonia	and the control of th
2		LSRA	A STATE OF THE PARTY OF THE PAR	
		LSRA	CARTON STATE OF THE	ALL MARKET CONTACTOR AND
		ORAA	STREET, STREET	GCDC <sub>j</sub>
		STAA	Commentation	GCDCj
		JMP	-	TEST
CALCP5	Toge Should were	.LDAA	Appropriate application	#W5
	Contract of the Contract of th	ANDA	Acresimental	GVj
	VA. NewSports/Justin	STAA	distributed the state of the st	.GV <sub>j</sub>
	Contradigues (Contradigues (Contradigue) (Contradigues (Contradigue) (Contradigues (Contradigues (Contradigues (Contradigues (Contradigue) (Contradigues (Contradigue) (Contradigues (Contradigue) (Contradigues (Contradigue) (Contradigues (Contradigue) (Contradigue) (Contradigues (Contradigue) (Contradigues (Contradigue) (Co	STAA	CHEROPHANISON	GXi

ADRESS		0	P. CODE
F4D1		94	4 F
		97	51
		BD	F474
		96	52
		44	
		44	
		44	
		9 A	53
		97	53
		7E	F425
F4E4	,	86	FØ
		94	4 F
		97	51
		BD	F474
		96	52
-		4.4	
		44	
		44	
		44	
		9A	53
		9.7	53
	Constitution of the last	7E	F425
F4FA	deren en e	86	A5
5340404040	ACTION AND ADDRESS OF THE PARTY	94	4 F
	den average de la constante de	97	4 F
CONTRACTOR OF THE PROPERTY OF	Contract on the	97	51

Section and the section of the secti	describerations and describeration	CD CONTRACTOR THE PROPERTY OF THE PARTY OF T
LABEL	MNEM.	OPERANDO
yel quant year of the second s	JSR	CALPAR
	LDAA	GPi
	LSRA	
	LSRA	
	LSRA	
· ·	LSRA	- Company of the Comp
	LSRA	
	ORAA	GCDCj
	STAA	GCDCj
	JMP	TEST
CALCP6	LDAA	#W6
	ANDA	GV <sub>i</sub>
	STAA	GXi
	JSR	CALPAR
	LDAA	GP <sub>i</sub>
The second secon	LSRA	
	ORAA	GCDCj
	STAA.	GCDCi
	JMP	TEST
CALCP7	LDAA	# W7

ADRESS	0	P. CODE
F5ØØ	BD	F474
	96	52
	44	
	44	,
	44	
	44	
	44	
	9A	53
	97	53
	7E	F425
F511	86	С3
	94	4 F
	97	51
	BD	F474
	96	52
	4,4	*
j.	44	
	44	
	44	
	44	
	44	
	9A	53
•	97	53
	7E	F425
F529	86	96

LABEL	MNEM.	OPERANDO
	ANDA	GV <sub>j</sub>
	STAA	GX <sub>i</sub>
	JSR	CALPAR
	LDAA	$\operatorname{GP}_{\mathbf{i}}$
	LSRA	
	ORAA	GCDCj
	STAA	GCDC <sub>j</sub>
	JMP	TEST
ESCRBF	LDAA	ОИТСН
	STAA	0,X
	INX	
	СРХ	* <sup>B</sup> 32
	BNE	CONTN
	LDX	# <sup>B</sup> o
CONTN	RTS	
-		
ZERACT	LDAA	GCOM
	CLR	CTROT
	CLR	CTUM

ADRESS	0	P. CODE
F52B	94	4 F
	97	51
	BD	F474
	96	52
	44	
	4:4	
	44	
	44	
	44	
	44	
	44	
	9 A	53
	97	53
	7E	F425
	96	4 A
	A7	ØØ
,	08	
	8C	øø2ø
,	26	Ø3
	CE	ØØØØ
F55Ø	96	49
	7 F	ØØ4C
	7 F	ØØ4D

LABEL	M N E M.	OPERANDO
	CLC	a a
	CLR	CTPAS
	RTS	
		·
INCONT	LDAA	# CONT11
	STAA	CONT1
	LDAA	#CONT11+1
	STAA	CONT1+1
	RTS	
DCDCOM	LDAA	#SEØ
	ANDA	GCOM
	STAA	GPRX
	LDAA	#S1F
	ANDA	GCOM
	STAA	COFOR
	CLR	GPCAL
	JSR	CALPØ
	JSR	CALP1
	JSR	CALP2
•	LDAA	GPRX
	COMP	A GPCAL
·	BNE	ARQ
	BRA	ATRQ
ARQ	JSR	RTXCOM
	LDAA	IDFRQ

ADRESS		O F	P. CODE
		ØС	
		7 F	ØØ4E
		39	
			•
F55D		86	Ø4
		97	42
		36	Ø1.
		97	43
		39	
F566		86	EO/
		94	49
		97	5B
		86	1F
		94	49
		97	5.5
		7 F	ØØ5C
		BD	F58D
		BD	F59B
		BD	F5AC
		96	5B
		91	5 C
	de service de la companya de la comp	26	Ø1
	Water Section	2Ø	-
	0.0	BD	FΛØΑ
,	-	96	56

LABEL	MNEM.	OPERANDO
	BEQ	ENTCO
Take all the same and the same	RTS	
CALCPØ	LDAA	# W <sub>O</sub>
a constant	ANDA	COFOR
and a coloradore	STAA	GX.
The state of the s	JSR	CALPAR
	LDAA	GPi
	STAA	GPCAL
	RTS	
CALCP1	LDAA	# W1
	ANDA	COFOR
	STAA	GX <sub>i</sub>
	JSR	CALPAR
	LDAA	GPi
	LSRA	
	ORAA	GPCAL
	STAA	GPCAL
	RTS	
CALP2	LDAA	# W2
and the second	ANDA	COFOR
and the same of th	STAA	GX <sub>i</sub>
	JSR	CALPAR
	LDAA	GPi
	LSRA	
	LSRA	
	ORAA	GPCAL

graphical percentage arms when the		NAME OF TAXABLE PARTY.	STATE OF THE PROPERTY OF THE P
ADRESS		0 1	CODE
F58A		27	32
		39	
		86	FF
		94	55'
		97	51
		BD	F474
		96	52 .
		97	5 C
		39	
F59B		86	AA
1		94	5.5
		97	51
		BD	F474
		96	52
		44	
		9 A	5C
	WARRY STANSON	97	5 C
	Properties decreases to	39	
F5AC		86	СС
	THE PROPERTY AND ADDRESS.	94	55
	and and an artist	97	51
	Company of the Compan	BD	F474
	Character Commit	96	5 2
	PROPERTY OF THE PARTY OF THE PA	44	
	L-FOXESTERNON.	44	
9A.	Particularity of the state of t	5 C	

LABEL	MNEM.	OPERANDO
F5BB .	STAA	GPCAL
	RTS	
ENTCO	LDS	GSTACK
	JMP	LOOP
ATRR	LDS	GSTAK
	ЈМР	FINAL
DETSIN	LDAA	#S4Ø
REPET	BITA	USAST
	BEQ	REPEAT
	JSR	TXCRLF
	LDAA	#3"
	STAA	OUTSN
	JSR	TXSNLZ
	RTS	
TXSINC	LDAA	#SINC
	STAA	OUTCH
	JSR	TRXCHT
	RTS	
TRXCNT	LDAA	GCNT
,	STAA ·	очтсн
	JSR	TRXCHT
	RTS	

ADRESS		0	P. CODE	
F5BB		97		
		39		
		9E	57	
		7E	-	
		9E	57	
F5C7 -		7E	F78E	
F5C3		86	4Ø	
		В5	48Ø1	
		27	FΒ	i
		BD	F4ØD	
		86	53	
		97	41	
		BD	F4ØØ	
F5D4		39		
F5DB		86	16	
		97	4 A	
		BD	F5EB	
F5E2		39		
F5E3		96	4 7	
		97	4 A	
		BD	F5EB	
F5EA	,	39		

CONTRACTOR AND	productive and an appropriately with	CONTRACTOR DESIGNATION OF THE PROPERTY OF THE
LABEL	MNEM.	OPERANDO
TRXCHT	LDAA	OUTCH
- 1	LDAB	#SØ1
RETORN	ВІТВ	USRST
	BEQ	RETORN
4	STAA	USRTX
	RTS	
TXDADO	LDAA	GCDC <sub>j</sub>
	STAA	оитсн
	JSR	TRXCHT
	JSR	ESCRBF
	COMPA	#SINC
	BNE	FIM
	ĴSR	TRCHT
	RTS	
RTXDAD	JSR	TXSINC
	LDAA	# RPDAD
-	STAA	GCNT
	JSR	TRXCNT
	STX	TEMP .
	LDAA	COFOR
,	LDX	# B <sub>0</sub>
	LDBA	≠ ØØ
SOMA	СВА	
	BEQ	ANDE

ADRESS		O P. CODE		
F5EB		96	4 A	
·		C6	Ø1	
		F5	48Ø1	
		27	FB	
	Value of the land	В7	48ØØ	
F5F7	A CONTRACTOR OF THE PERSON OF	39 <sup>.</sup>		
F5 F8	Na Characteristics	96	53	
		97	4 A	
		BD.	F5EB	
		BD	F552	
		81	16	
	Tanahaman da	26	Ø3	
		BD	F5EB	
F6ØB	Secretaria de la constante de	39		
	Designation of the last of the	,		
F6ØC	CONTRACTOR	BD	F5DB	
	-	86	ØE	
	Constitution of the last	97	47	
	Contractor of the Party of the	BD	Ø19A	
	THE MANUAL PRINCIPAL OF	DF	4 B	
	SAN STANSON SAN SAN SAN SAN SAN SAN SAN SAN SAN SA	96	55	
	STREET, STREET	CE	ØØØØ	
	STREET,	C6	ØØ	
	THE PROPERTY.	11		
	Contract property	27	Ø4	

LABEL	M N E M.	OPERANDO
	INX	
	DECA	· · · · · · · · · · · · · · · · · · ·
·	BRA	SOMA
ANDE	LDAA	0,X
	STAA	оитсн
	JSR	TRXCHT
	СРХ	# B <sub>32</sub>
	BEQ	BAIXO
	INX	
VERF	СРХ	ТЕМР
	BEQ	FIMTX
	BRA	ANDE
BAIXO	LDX	# B <sub>o</sub>
	BRA	VERF
FIMTX	RTS	
IDFCOM	LDAA	COFOR
	СОМРА	# CARQ
	BEQ	PULO1
	СОМРА	# CATV
· ·	BEQ	PULO2
	СОМРА	# COMØ
·	BEQ	PULO3
	COMPA	# COM1
	BEQ	PULO4
	COMPA	€ # COM2

ADRESS	0	P. CODE
F622	Ø8	
	4A	
	200	F9
	A6	øø
	97	18
	B.D	F5EB
	8C	ØØ2Ø
	27	Ø7
	Ø8	
	9C	4 B
	27	Ø7
	2ø	ED
	CE	ØØØØ
	2Ø	P5
F63E	39	
F64Ø	96	55
,	81	ØE
	27	14
·	81	ØF
	27	1 D
	81	ØØ
	2.7	26
	81	Ø1
	27	2 F
	81	Ø2

LABEL	MNEM.	OPERANDO
	BEQ	PULO5
	COMPA	#COM3
	BEQ	PUL06
PUL01	LDAA	#Ø1
	STAA	IDFRQ
	LDAA	# <sup>1</sup> Q "
	STAA	OUTSN
No.	JSR	TXSNLZ
	CLI	
	RTS	
PULO2	LDAA	# Ø2
	STAA	IDFRQ
	LDAA	# "A"
	STAA	OUTSN
	JSR	TXSNLZ
	CLI	
	RTS	
PULO3	LDAA	# Ø3
	STAA	IDFRQ
	LDAA	#"T"
	STAA	OUTSN .
	JSR	TXSNLZ
	CLI .	
	RTS	
PULO4	LDAA	# Ø4
	STAA	IDFRQ

ADRESS	0	P. CODE
F654	27	38
	81	Ø3
	27	41
	86	Ø1
	97	56
	86	51
	97	41
2	BD	F4ØØ
	ØE	
	39	
	. 86	Ø2
	97	56
	86	41
	97	41
	BD	F4ØØ
	ØE	
	39	
	86	Ø3
	97	56
	86	54
	97	41
	BD	F4ØØ
	ØE	
	39	
	86	Ø4
F683	97	56

THE WANTED THE RESIDENCE TO THE PROPERTY AND	\$1000000000000000000000000000000000000	ENTER PROPERTY CONTRACTOR OF THE PROPERTY CO.
LABEL	MNEM.	OPERANDO
	LDAA	# <sup>*</sup> B <sup>*</sup> `
	STAA	OUTSN
	JSR	TXSNLZ
	CLI	,
	RTS	
PULO5	LDAA	# SØ4
	STAA	IDFRQ
	LDAA	* C,
	STAA	OUTSN
	JSR	TXSNLZ
	CLI	
	RTS	
PULO6	LDAA	# Ø4
	STAA	IDFRQ
	LDAA	# <sup>7</sup> D"
	STAA	OUTSN
CALLED ACTION	JSR	TXSNLZ
	CLI	
	RTS	
ŤSTPAR	JSR	ZERACT
ROTAC	ASLA	
	INC ·	CTROT
	ВСС	PULA
	INC	ÇTUM
PULA	LDAB	#SØ8

ADRESS	0	O P. CODE	
F685	86	42	
	97	41	
2	BD	F4ØØ	
	OE	•	
	39		
	86	·ø4	
	97	56 .	
	86	43	
	97	41	
	BD.	F4ØØ	
	ØE		
	39		
	86	Ø4	
	97	56	
	86	44	
	97	41 .	
	BD	F4ØØ	
	ØE		
F6A7	39		
F6A8	BD	F56Ø	
	48		
	7 C	ØØ4C	
	24	Ø3	
	7C	ØØ4D	
	C6	Ø8	

LABEL	MNEM	OPERANDO
	СМРВ	CTROT
·	BME	ROTAC
	LDAA	* SØ1
	COMPA	CTUM
	BEQ	STOP
	LDAA	# SØ3
	COMPA	CTUM
	BEQ	STOP
	LDAA	# SØ5
	COMPA	СТИМ
	BEQ	STOP
	LDAA	# SØ7
	COMPA	СТИМ
	BEQ	STOP
	RTS	
STOP	JSR	RTXCOM
	LDS	GSTAK
	LAA	INIC .
	ВЕО	LP
	JMP	ESPATV
	JMP	FINAL
CTRFME	STX	ТЕМР
	LDX	CONT1
	BEQ	FIM
	LDX	ТЕМР

ADRESS		O P. CODE	
F6B5		F1.	ØØ4C
-		26	FØ
		86	Ø1
		91	4 D
		27	13
		86	Ø3
		91	4D ,
		27	ØD
		86	Ø5
		91	4 D
		27	Ø7
		86	Ø7
		91	4 D
		27	Ø1
		39	
·		BD	r5DØ -
		BE	ØØ57
•		96	44
		27	Ø3
		7E	F7C9
F6E2		7E	F78E
F6E7		DF	59
		DE	42
	-	27	Ø5
	- Annual Control	DE	59

LABEL	MNEM.	OPERANDO
	JMP	AQUIS
FIM	LDX	TEMP
	JSR	INCONT
	LDAA	GATV
	STAA	UŞATV
	LDAA	NOVAT
	BEQ	MUD
	LDAA	# MUDATV
	STAA	GCNT
	CLR	NOVAT
	BRA	TRANS
MUD	LDAA	∜ TXNORM
	STAA	GCNT
TRANS	JSR	TXSINC
	JSR	TRXCNT
*	ЈМР	LOOP
RXATVD	LDAA	USARX
	STAA	GCOM
RXATVI	JSR	TSTPAR
·	LDAA	# S7F
	ANDA	GCOM
	STAA	GATV
	INC	NOVAT
	RTS	
	and the second s	

ADRESS	0	P. CODE
F6F2	7E	FA48
	DE	59
	BD	F56D
	96	45
	97	46
	96	48
	27	Ø9 .
	86	38
	97	47
	7F.	ØØ48
	2Ø	Ø4
Colorente	86	ΕØ
	97	47
	BD	F5DB
	BD	F5E3
F715	7E	FA45
F71A	В6	48ØØ
	97	49 .
F71F	BD	F6A7
	86	7 F
	94	49
	97	45
	7C	ØØ48
F72B	39	

LABEL	MNEM.	OPERANDO
ATDIRQ	LDAA	IDFRQ
	LDAB	# Ø1
	СВА	
	BEQ	ATD1
·	LDAB	# Ø 2
	СВА	,
	BEQ	A'TD2
	LDAB	# SØ3
	СВА	
	BEQ	ATD3
	LDAB	# SØ4
	СВА	
	REQ	ATD4
ATD1	STS	GSTAK
	LDAA	USARX
	STAA	GCOM
	STAA	OUTSN
·	JSR	ДСДСОМ
	JSR	TXSNLZ
	JSR	RTXDAD
	BRA	FINAL
ATD2	STS	GSTAK
	JSR	RXATV
	LDAA	GATV
	STAA	OUTSN
	JSR	TXSNLZ

ADRESS		٥	P. CODE
F73Ø		96	56
,		C6	Ø1
		11	
		27	ØΓ
		С6	Ø2
		11	
		27	11:
		C6	Ø3
		11	
		27.	27
		С6	Ø4
		11	
		27	39
		9F	5 7
		В6	8ØØØ
		97	49
		97	41
		BD	FS66
·		BD	г4ФФ
·		BD	<b>Б</b> 6ØС
		2Ø	34
		9 F	57
		BD	F71A
		96	45
	- Carolina	97	41
		BD	F4ØØ

LABEL	M N E M.	OPERANDO
	BRA	FINAL
ATD3	STS	GSTAK
	LDAA	USARX
	STAA	GCOM
	STAA	oursn
	JSR	рспсом
	JSR	TXSNLZ
	JSR	TRXCNT
,	JSR	RTXDAD
	BRA	FINAL
ATD4	STS	GSTAK
	LDAA	USARX
	STAA	GCOM
	STAA	OUTSN
	JSR	DCDCOM
	JSR	TXSNLZ
FINAL	SEI	
	CLR	IDFRQ
	RTÏ	
ENTCOM	LDAA	<b>#</b> SØ2
	ВІТА	USRST
	BNE	TSTOVR
	JMP	LOOP
TSTOVR	LDAA	#S1Ø
	BITA	USRST

ADRESS	0	P. CODE
F766	2.Ø	26
<u>.</u>	9 F	5 7
	В6	48ØØ
	97	49
	97	41
	BD	F566
•	BD	F4ØØ
	BD	F5E3
	BD	F6Ø6
	2Ø	ØF
	9F	57
	В6	48ØØ
	97	49
	97	41
	ВЪ	F566
	BD	F4ØØ
F78E	ØF	
`	7 F	ØØ56
·	3B	
F798	86	Ø2
·	Б5	48Ø1
	26	Ø3
	7E	FA45
	86	1Ø
_	В5	480/1

LABEL	MNEM.	OPERANDO
	BEQ	DIANT
	LDAA	#SB7
	STAA	USRCOM
	JSR	RTXCOM
	ЈМР	Ļ00P
DIANT	LDAA	USARX
	LDAB	#SINC
	СВА	
	BEQ	FORA
	STAA	GCOM
	JSR	DCDCOM
	JMP	RETORN
FORA	JMP	LOOP
ESPATV	LDAA	# SØ2
	BITA	USRST
	BEQ	ESPATV
	LDAA	USARX
	STAA	ССОМ
	LDAB	#SINC
	СВА	
	BEQ	ESPATV
	INC	INIC
	JSR	RXATVI
	LDAA	GATV
	STAA	USATV

ADRESS		O P. CODE		
F7A7	كالمتحالفة معاددات المستأد	27	ØВ	
-	in the second	86	В7	
	Carried Street, Street,	В7	48Ø1	
		BD	FΛØΑ	
		7Ę	FA45	
		В6	4 8 Ø Ø	
		С6	16	
		11		
		27	Ø8	
	Paritalina de la composiciona de la	97	49	
	ر و بعد روسه شده	ВD	F566	
	tomorphism //	7E	FA54	
F7C4		7E	FA45	
F7C9		86	Ø2	
·		В5	48Ø1	
		27	F9	
		В6	48ØØ	
		97	49	
		С6	16	
		11		
		27	F1	
		7C	ØØ44	
		BD	F71F	
		96	45	
`		97	46	

LABEL	MNEM.	OPERANDO
	LDAA	# MUDATV
	STAA	GCONT
	JSR	TRXCNT
	CLR	NOVAT
	CLR	IŅIC
	RTS	
RTXCOM	JSR	TXSINC
	LDAA	#RPCOM
	STAA	GCONT
	JSR	TRXCNT
	RTS	
MUXADP	LDAA	#ITB1
	STAA	ТАВ
	LDAA	#ITAB1+1
	STAA	TAB+1
	LDAA	#FTB1
	STAA	FMTAB
	LDAA	#FTB1+1
	STAA	FMTB÷1
	JSR	TXCRLF
	JSR	TRXTAB
	RTS	
TRXTAB	JSR	TXCRLF

ADRESS	£	0 P. CO <b>DE</b>	
F7E4	The Parket Service Ser	86	38
		97	47
		BD	F5E3
		7 F	ØØ48
		7 F	ØØ44
F7F1		39	
	Andrews of the Park		-
FΛØ4		BD	F5DB
		86	ØE
		97	47
		BD	F5E3
		39	
F9ВØ		86	F9
		97	65
		86	F3
		97	66
•		86	FA
		97	67
		86	ø3
		97	68
·		BD	F4ØD
		BD	F4ØØ
		39	
	December 2017 (1996).		
F9C7		BD	F4ØD

LABEL	MNEM.	OPERANDO
	STX	TEMP
a v	LDX	TAB
	LDAA	0,X
	STAA	OUTSN
	INX	
	JSR	TXSNLZ
	CPX	FMTAB
	BNE	VOLTE
	LDX	TEMP
	JSR	TXCRLF
	JSR	TXCRLF
	RTS	
TAB1	М	
	U	
	Х	
760	A	
	D	
	A	
	Р	
	./ .	
	R	
	Е	
	М	

ADRESS	Description of Cold	0	P. CODE
F9CA	Consultant and Consultant	DF	59
		DE	65
	( mercanical market	А6	øø
	constituent and a second	97	41
	o management of the last	Ø8	
1	gerala and Danuard	ВĎ	F4ØØ
		9 C	67
	de la company de	26	F4
	)	DE	59
	National Property of the Parks	BD.	F4ØD
	-	BD	F4ØD
	-	39	
-	Character and a second		
F9F3	hercestowns.	4 D	
	podental design	55	
	ONCE DE L'ACTURE DA L'ACTURE DA L'ACTURE DE L'ACTURE DE L'ACTURE DE L'ACTURE DA L'ACTURE D	58	
	-	2E	
		41	
		44	
-		41	
		5Ø	
	THE PROPERTY OF	2E	
	Carrenene	2 F	
	- CONTRACTOR	43	
	- Townshipm	45	
	and a second	4E	

LABEL	MNEM.	OPERANDO
To the state of th	0	
	Т	
	A	,
	-	,
PGCONT	JSR	INICIO
	JSR	MUXADP
	LDX	.#Bo
	STS	GSTAK
	JSR	INCONT
	JSR	DETSIN
	JSR	ESPATV
LOOP	JSR	CTRFME
AQUIS	JSR	STMULA
:	JSR	CDFDAD
	JSR	TXDADO
	ЈМР	ENTCOM
RETORN	CLR	IDFRQ
	JSR	IDFCOM
And the control of th	JMP	LOOP
IRQ	JMP	ATDIRQ .

ADRESS	0 1	CODE
	4F	
	54	
F9F2	41	
F9F3	-	•
FA3Ø	BD	-
	BD	F9BØ
	CE	ØØØØ
	BF	ØØ57
	BD	F55D
FA3F	BD	F5C3
FA42	BD	F7C9
FA45	BD	F6E7
FA48	BD	-
	BD	F41A
	BD	F5F8 -
	7E	F798
FA54	7F	ØØ56
	BD	F64Ø
	7E	
FA5D	7E	F73Ø
	Secretaria de la constanta de	
	and desired the second	
-		

LABEL	MNEM.	OPERANDO
TXSNLZ	LDAB	# SØ2
	BITB	ACIAST
	BEQ	TXSNLZ
	LDAB	OUTSN
	STAB	ACÍATX
al and a second	RTS	
TXCRLF	LDAB	# SCR
	STAB	OUTSN
	BSR	TXSNL7
	LDAB	# SLF
	STAB	OUTSN
	BSR	TXSNLZ
	RTS	
	ch depthylament for activities	
MUXADP	LDAA	#ITBl
	STAA	TAB
	LDAA	#ITB1+1
	STAA	TAB+l
	LDAA	# FTBl
	STAA	FMTAB
	LDAA	#FTBl+l
•	STAA ·	FMTB+l
	JSR	TXCRLF
	JSR	TRXTAB
	RTS	

ADRESS	0	P. CODE
F4ØØ	C6	Ø 2
2 '	F5	СЙЙА
5	27	F9
7	D6	41
9	F7	СЙЙВ
F4ØC	39	
•	A CONTRACTOR AND A CONT	
F4ØØ	C6	Ø D
F	D7	41
1	8D	ED
3	C6	ØA
5	D7	41
7	8 D	E7
F419	39	
F41A	36	FB
С	97	65
E E	96	EF
Ø	97	66
2	86	FB
14	97	67
6	86	FF
8	97	63
Α	BD	F4ØD
D	BD	F400
F430	39	

LABEL	WNEM.	OPERANDO
TRXTAB	JSR	TXCRLF
	STX	TEMP
	. LDX	TAB
VOLTE	LDAA	0,X
	STAA	OUTSN
	INX	,
	JSR	TXSNLZ
	CPX	FMTAB
9	BNE	VOLTE
	LDX	TEMP
	JSR	TXCRLF
	JSR	TXCRLF
	RTS	
		And in Administration of the Control
CDFCOM	LDAA	GEND
,	STAA	GVj
	JSR	CALPO
	JSR	CALP1
	JSR	CALP2
	RTS	
CALP0	LDAA	# WØ
	ANDA	GVj
	STAA	GXi.
	JSR	CALPAR
	LDAA	GPi .
Security resources on consequences and resources	ORAA	GEND

ADRESS	- TOWNSON OF	0	P. CODE
F431	THE PERSONS	BD	F4ØD
ц:	20,464,00	DF	59
6		DE	65
8	1000	A6	øø
А		97	41
C		Ø8	
D		BD	F4ØØ-
F440		9 C	67
2		26	F4
. 4		DE	59
6		BD	F4ØD
9		BD	F4ØD
С	THE RESERVE TO SERVE	39	
F44D		96	44
F	OCCUPATION OF THE PARTY OF THE	97	4F
Ø	Designation and the second	BD	F45B
3	To the second second	BD	F46B
.6	e de la companyone de la companyon de la compa	BD	F47C
9	A COLUMN TO STATE OF THE PARTY	39	
F45B	de comme grand	86	FF
D	Name and Address of the Owner, where	94	4F
F	demonstration of	97	51
1.	decourant.	BD	F48E
4	and a second second	96	42
6	Speciment	9A	L; L

LABEL	MNEM.	OPERANDO	
	STAA	GEND	
	RTS	William I	
CALP1	LDAA	# W1	
	ANDA	GVj	
and a second	STAA	GXi	
	JSR	CALPAR	•
	LDAA	GRi	
	LSRA		
,	ORAA	GEND	
	STAA	GEND	
	RTS		
CALP2	LDAA	# W2	
	ANDA	GVj	
	STAA	GXi	
	JSR	CALPAR	
	LDAA	GPi	
	LSRA		
×.	LSRA		
	ORAA	GEND	
	STAA	GEND	
*/	RTS	The second secon	
CALPAR	LDAA	GXi	
	ASLA		
	ASL	GXi	
	ASL	GXi	

ADRESS	#TECHNET STREET STREET	0	P. CODE
F468	Queseono/wees	97	44
9 -	THE STATE OF THE PARTY OF THE P	39	7
F46B	SCHOOL STANSBUCK	86	AA
D	in secure region in the material	94	4F
F	HANGO MICENAL	97	51
1,	hadidawakingani sai	BD	F43E
4.	diamental service	96	52 -
. 6	endalesanediada	44	
7	Charles an Agency	9A	44
9	S. A. C.	97	44
В	the state of the s	39	
F47C	Policina di para di pa	86	CC
E		94	4F
Ø		97	51
2		BD	F48E
.5		96	5.2
7		44	
3		44	
9	Control of the Contro	9 A	14 14
Α	A STATE OF THE STA	97	44
F48D	Wilderson Control	39	
	TO SECURE OF THE PARTY OF THE P		
F48E	MOL MECHANICAL	96	51
Ø	NAME OF THE OWNER, OWNE	49	
1	a Checonge and a	78	ØØ51
4	N. Carrella S.	78	ØØ51

LABEL	MNEM.	OPERANDO
	EORA	GXi
	STAA	GXi
	ASLA	
	ASLA	and the second
	EORA	GXi
	STAA	GXi
-	ASLA	
	ASLA	
	ASLA	The same of the sa
	ASLA	And the second of the second o
	EORA	GXi
	STAA	GPi
	LDAA	#80
	ANDA	GPi
	STAA	G Pi.
	RTS	
PARTOT	LDAA	GATV
	CLR	CTROT
	CLR	CTUM
TSTRT	LDAB	# SØ8
	СМРВ	CTROT
	BEQ	TSTUM
770	ASLA	
	INC	CTROT
Supplementary and all productions and a state of the stat	ВСС	TSTRT

ADRESS		0	P. CODE
F497		98	51
9		97	51
В		48	
С		43	•
D		98	51
E .		97	51
1.		43	
2		48	
3		48	
4		48	
5		93	51
7		97	52
9	AND DESCRIPTION OF	86	3Ø
В		94	52
D	Marian Lange 2004	97	52
F		39	
	A CONTRACTOR		
F4BØ	ANGERCANO MARIEDA	96	45
	CS permental property of the control	7F	ØØ4C
	en lamanderna correction	7F	ØØ4D
-	and contact in	C6	Ø8
		Dl	rt С
		27	ØВ
	Telegraphics and the second	48	
	Carporad Company	7C	ØØ4C
Annual Services right, Co.	Secretary.	F4	and the control of th

LABEL	MNEM.	OPERANDO
	INC	CTUM
	BRA	TSTRT
TSTUM	LDAB	#SØ1
	СМРВ	CTUM
	BEQ	POSØ
	LDAB	<b>#</b> SØ3
	СМРВ	CTUM
	BEQ	POSØ
	LDAB	⊭SØ5
	СМРВ	CTUM
	BEQ	POSØ
	LDAB	# Ø7
	СМРВ	CTUM
	BEQ	POSØ
	RTS	
	LDAB	# S8Ø
ő	ORAB	GATV
*	STAB	GATV
	RTS	
ESPCOM	LDAA	# SØ1
	BIT'A .	ACIAST
Annual Control of Control	BEQ .	ESPCOM
	RTS	
	Statement Million Sections of Co.	The same of the sa

ADRESS	0	P. CODE
	7C	ØØ4D
	20	EF
'4C9	C6	Øl
	Dl	4 D
	27	14
	C6	ØЗ
	Dl	4D .
	27	ØE
	C6	Ø5
	Dl	4 D
	27	<b>Ø</b> 3
	C6	Ø7
-	Dl	4D
F4EØ	27	Ø2
	39	
	C6	8 Ø
	DA	45
	D7	45
/=	39	
F4EA	36	Ø1.
	B5	СЙЙА
	27	F9
	39	
NAMES OF THE OWNER, THE OWNER, WHEN THE OWNER, WHEN	- Constitution	or Accommonweal and the second of the common con-

LABEL	MNEM.	OPERANDO		ADRESS	0	P. CODE
ENATVI	JSR	ESPCOM		F4F2	BD	F4EA
	LDAA	ACIARX			B6	СФВ
	LDAB	# S41			C6	41
	СВА				11	••
	BME	ENATVI			26	F5
TRXATV	JSR	TXCRLF	\$ 30		BD	F4ØD
	STAA	OUTSN			97	41
	JSR	TXSNLZ			BD	F4ØØ
	CLR	GATV			7F	ØØ45
PROX	JSR	ESPCOM	<b>8</b> 7		BD	F4EA
	LDAA	USARX			B6	СЙЙВ
	STAA	OUTSN			97	41
	JSR	TXSNLZ		No.	97	41
	JSR	TXSNLZ		A CONTRACTOR OF THE CONTRACTOR	BD	F4ØØ
TSTATV	LDAB	# CR		FS13	C6	3 D
	СВА				11	
	BEQ	FIM			27	28
	LDAB	# SBl			C6	Bl
	СВА				11	
	BEQ	PULO1		AND THE REST	27	2F
,	LDAB	# SB2	34		C6	B2
	СВА			The second secon	11	
	BEQ .	PULO2			27	32
The second secon	LDAB	# S33			C6	33
	СВА				11	
	BEO	PULO3			27	35

LABEL	MNEM.	OPERANDO
	LDAB	♯ SB4
	СВА	
	BEQ	PULO4
	LDAB	# S35
	CBA	
	BEQ	PULO5
	LDAB	# S36
	СВА	
	BEQ	PULO6
	LDAB	# SB7
	СВА	
	BEQ	PULO7
	JSR	TRXBEL
	BRA	TRXATV
FIM	JSR	TXCRLF
	JSR	PARTOT
	LDAA	GATV
	STAA	GEND
	BRA	TXATVI
PULO1	LDAA	
	ORAA	GATV
	STAA	GATV
	BRA	PROX
	LDAA	#S2Ø
	ORAA	GATV
Congestiments, american containing making	STAA	GATV

ADRESS	Prescriptum addition	0	P. CODE
F527	COLUMN AND ADDRESS OF THE PERSON ADDRESS OF THE PERSON AND ADDRESS OF THE PERSON AND ADDRESS OF THE PERSON AND ADDRESS OF THE PERSON ADDRESS OF THE	C6	B4
	The second second	11	
	-	_27_	3.8
	A CONTRACTOR CONTRACTOR	C6	35
		11	
.		27	3B
	A CONTRACTOR OF THE PERSON NAMED IN CONT	C6	36
		11	
	-	27	3E
		C6	B7
		11	
	-	27	41
		BD	F53C
	2	20	AD
F54Ø		BD	F4ØD
		BD_	F4BØ
		95	45
3 <b>.</b> 3		97	44
		20	38
		86	40
		9A	45
-		97	45
		20	B4
		96	20
		9A	45
THE THEORY IN THE		20	AC

LABEL	MNEM.	OPERANDO
	LDAA	# SIØ
	ORAA	GATV
	STAA	GATV
	BRA	PROX
PULO4	LDAA	#-SØ8
	ORAA	GATV
	STAA	GATV
	BRA	PROX
PULO5	LDA	# SØ4
	ORAA	GATV
	STAA	GATV
	BRA	PROX ,
PULO6	LDAA	# SØ2
	ORAA	GATV
	STAA	GAT
	BRA	PROX
PUL07	LDAA	#SØ1
	ORAA	GATV
	STAA	GATV
	BRA	PROX
TSATVI	LDAA	GEND
	STAA	OUTCH
	JSR	TRXCHT
	RTS	
TRXBEL	JSR	TXCRLF
Consumeration of the same and t	LDAA	# 807

ADRESS	A Comment	0	P. CODE
F55C		36	10
		9A	45
		97	45
		2 Ø	A4
		86	Ø8
		9A	45
		97	45
		2 Ø	9C
·		36	Ø4
		9A	4.5
		97	45
		2 Ø	94
		36	Ø2 ·
		9A	45
		97	45
		2 Ø	8C
,		<u>3 E</u>	øl
		9 <u>A</u>	45
-		97	45
		20	84
F584		96	44
	The second second	97	4A
	AND SEE STANK	BD	F98F
	6. crossessional cris	39	
F58C	AND THE PROPERTY OF THE PERSONS AND THE PERSON	BD	F4ØD
a the annihilated that a man interest	State of	86	07

LABEL	MNEM.	OPERANDO	
	STAA	OUTSN	
	JSR	TRSNLZ	
	RTS		
	essential designation of the second		
ENTATV	LDAA	ACIARX	
	STAA	OUTSN	
	JSR	TXSNLZ	
	LDAB	# SCR	
	СВА		
	BEQ	STOP	
	LDAB	# SBl	
	СВА	,	
	BEQ	G01	
	LDAB	⊭SB2	
	СВА		
	BEQ	G02	
*	LDAB	# S33	
	СВА		
	BEQ	G03	
	LDAB	# SB4	
	СВА		
	BEO	G04	
	LDAB	#S35	
	СВА		
and principles and	BEQ	G05	
	LDAB	# S36	

ADRESS	0	O P. CODE	
	97	41	
	BD	F400	
F596	39		
	and the second s	3.	
F59B	В6	СФВ	
	97	41	
	BD	F4ØØ	
	C6	8 D	
	11		
	27.	5.5	
	C6	Bl	
	11		
	27	lF	
	C6	B2	
	11		
	27.	21	
	C6	33	
	11		
	27	23	
	C6	B4	
	11		
	27	25	
	C6	35	
	1.1		
	27	27	
CALABACTORY C	C6	36	

LABEL	MNEM.	OPERANDO
	СВА	in the section of the
	BEQ	G06
	LDAB	#SB7
	СВА	and the control of th
	BEQ	-G07
Unice and the second se	RTS	SACTOR COMPANY COLUMN
G01	LDAA	# S4 Ø
	ORAA	GATV
	STAA	GATV
	RTS	
G02	LDAA	# S2Ø
	ORAA	GATV
	STAA	GATV
	RTS	
G03	LDAA	# S1Ø
	ORAA	GATV
•	STAA	GATV
	RTS	
G04	LDAA	# Ø8
	ORAA	GATV
	STAA	GATV
	RTS	
G05	LDAA	# SØ4
	ORAA	GATV
	STAA	GATV
Management transportation to the state of th	RTS	Comment has necessaries menorinamen

AURESS		0 1	P. CODE
F5C3		11	
		27	29
		C6	В7
		11	•
		27	2 B
		39	
•		86	4 Ø ·
		9 A	45
		97	45
		39	
	ti.	86	2Ø
		9A	45
		97	45
		39	
		86	lø
		9,A	45
		97	45
,	Company of the Paris	39	
à.	CONTRACTOR OF THE PERSON OF TH	86	Ø8 .
	Control Marie Control	9A	45
	decementation.	97	45
	Salara de Caracita	39	
	forteconfinence in	86	Ø4
	therese canbers	9A	45
	denomination of	97	45
	Score Agency	39	

LABEL	MNEM.	OPERANDO
and activities and an expensive state of the control of the contro	ORAA	GATV
	STAA	GATV
	RTS	and
GO 6	LDAA	#SØ2
	ORAA	GATV
	STAA	GATV
e .	RTS	05 See
GO 7	LDAA	#Ø1.
	ORAA	GATV
	STAA	GATV
	RTS	
STOP	JSR	PARTOT
	LDAA	GATV
	STAA	GEND
	LDAA	# SCATV
	STAA	GCOM
	LDAA	# S11
	STAA	ACIACT
	JSR	TRXCOM
	CLR	IDFI
	RTS	
ENTCOM	LDAA	⊭SØ1
	BITA	ACIAST
	BNE	.IDF
	RTS	The city desires inserted actions with the city

ADRESS	0	O P. CODE	
	9A	45	
	97	45	
	39		
	86	Ø2	
	9A	45	
	97	45	
	39		
	86	Ø1	
	9A	45	
	97	45	
,	39		
	BD	F4BØ	
	96	45	
	97	44	
	86	ØF	
-	9.7	49	
4	86	11	
,	В7	CØØA	
	BD	F448	
	7F	ØØ55	
F613	39		
F614	86	Ø1	
	В5	CØØA	
	26	Ø1	
	39		

Date House the state of the sta	CONTRACTOR CONTRACTOR	Company of the Compan
LABEL	MNEM.	OPERANDO
	ORAA	GATV
	STAA	GATV
	RTS	
GO 6	LDAA	#SØ2
e.	ORAA	GATV
6:	STAA	GATV
	RTS	
GO 7	LDAA	#Ø1
	ORAA	GATV
	STAA	GATV
	RTS	
STOP	JSR	PARTOT
	LDAA	GATV
-	STAA	GEND
	LDAA	# SCATV
, i	STAA	GCOM
	LDAA	#S11
	STAA	ACIACT
	JSR	TRXCOM
	CLR	IDFI
,	RTS	
ENTCOM	LDAA	# SØ1
	BITA	ACIAST
	BNE	.IDF
	RTS	

ADRESS	0	O P. CODE		
	9A	4 5		
	97	45		
	39			
	86	Ø2 ·		
	9A	45		
	97	45		
	39			
	86	Ø1		
	9A	45		
	97	45		
	39			
	BD	F4BØ		
	96	45		
	97	44		
	86	ØF		
	97	49		
	86	11		
	В7	CØØA		
	BD	F448		
	7F	ØØ55		
F613	39			
F614	86	Ø1		
4000	В5	CØØA		
	26	Ø1		
April 2	39			

LABEL	MNEM.	OPERANDO
IDF	LDAA	ACIARX
	LDAB	⊭ <sup>2</sup> Ä`
	СВА	
	BEQ	SALTØ
	LDAB	# <sup>*</sup> B''
•	СВА	
	BEQ	SALT1
	LDAB	# "X"
	СВА	
	BEQ	SALT2
	LDAA	#BEL"
	STAA	OUTSN
	JSR	TXSNLZ
	RTS	
SALTØ	STAA	OUTSN
	JSR	TXSMLZ
	LDAA	#SØ1
	STAA	IDFI
	CLR	GATV
	LDAA	#S91
	STAA	ACIAST
	RTS	
SALT	STAA	OUTSN
	JSR	TXSNLZ
	LDAA	#SØ2
	STAA	IDF5

ADRESS	(Constitution)	O P. CODE		
F61C	-Afficial Charles Substitute	В6	СФФВ	
	etheme-avadus	°C6	41	
	THE PROPERTY OF THE PARTY OF	11	-	
	distributed and all the second	27	12	
		С6	42	
	CARTAGO INGO DATA	11		
		27	11 .	
	Section and sectio	С6	D8	
	The state of the s	11		
	-	27	2 D	
•		86	Ø7	
		97	41	
		BD	F4ØØ	
		39		
F636		97	41	
		BD	F4ØØ	
		86	Ø1	
8 1		97	55	
		7 F	ØØ55	
	and the same of th	86	91	
	MI-CI DECEMBRA	В7	CØØA	
	THE PERSON NAMED IN	39		
F748	religional de Service	97	41	
	- Characteristics	BD	F4ØØ	
F65Ø	and the state of the	86	Ø2	
har are a success reason as a success of	The state of the s	97	55	

LABEL	MNEM.	and the same of th	OPERANDO
F651	LDAA	N DOMESTIC OF THE PARTY OF THE	#SCOM1
	STAA		GCOM
	LDAA		#S91
	STAA		ACIAST
	RTS		
SALT2	STAA		OUTSN
	JSR		TXSNLZ
	LDAA	TOTAL PATRICULAR SOCIAL	#SØ3
	STAA	The contract of the contract o	IDFI
	LDAA	National Property of	#S91
	STAA	Commence of the Commence of th	ACIACT
	RTS		
	Available to company	Michael et All	
ENTEND	LDAA	Total Cade Second	ACIARX
	STAA		GEND
	STAA	Special comments	OUTSN
	JSR	Carlon and the second	TXSMLZ
	LDAA	A TOTAL PROPERTY.	#ØF
ACCOUNT OF	ANDA	Andreas and Andreas	GEND
SA AMERICAN	STAA	STATES MAINTING	GEND
, and specific	JSR	THE COLUMN THE PARTY OF THE PAR	CDFCOM
	CLR	Designation of the Control	IDFI
F68Ø	LDAA	Sagaran Contraction of the Contr	#S1.1
	STAA	New Contraction of the Contracti	ACIACT
	JSR	THE RESIDENCE OF THE PARTY OF T	ŢRXCOM
F688	RTS	Section 1	

ADRESS	0	P. CODE
	-	Troubled the services
	86	
	97	49
-	86	91
C. D. San	В7	СØØА
a de la constantion de la cons	39	
F65B	97	41
	BD	F4ØØ
	86	Ø3
	97	55
A COLUMN SALES	86	91
and the second	В7	CØØA
F669	39	
F66A	В6	СФФВ
	97	44
	97	41
	BD	F4ØØ
	86	ØF
	94	44
	97	44
	BD	F44D
	7 F	ØØ55
	86	11
	В7	CØØA
	BD	FA48
	39	

LABEL	MNEM.	OPERANDO
ATDNMI	LDAA	#SØ1
	COMPA	IDFI
	BEQ	ATV
	LDAA	# SØ2
	COMPA	IDFI
	BEQ	ENDR
	LDAA	# SØ3
	СОМРА	IDFI
1	BEQ	DESP
The second secon	LDAA	#SØ4
	СОМРА	IDFI
	BEQ	COM1
	RTI	
	JSR	ENTATV
The second secon	RTI	
ENDR	JSR	ENTEND
	RTI	
DESP	JSR	DSENP
	RTI	
COM1	LDAA	Ø1
	STAA	GEND
	JSR	ENTEND
·	RTI	
-		
DCDADO	CLR	RECA
RECAL	CLR	CTROT

ADRESS	0	O P. CODE	
F689	86	Ø1	
	91	55	
	2.7	13	
	86	Ø2 ·	
	91	5.5	
	27	11	
	86	Ø3	
	91	55	
	27	ØF	
	86	Ø4	
ľ	91	55	
	27	ØD	
F6A1	3B		
	BD	F59B	
	3B		
	BD	F66A	
	3B		
,	BD	F6B2	
F6AD	3B		
	86	Ø1	
F6BØ	97	44	
	BD	F66A	
F6B5	3B		
F742	7 F	ØØ5E	
Compression was a same	7 F	ØØ4C	

LABEL	MNEM.	OPERANDO
	CLR	GPCAL
	CLR	CTINA
	LDAA	GDADO
	ANDA	USATV
	STAA	GV j
Company of the Compan	LDAB	USATV
TEST	LDAA	#SØ8
- Contraction	СМРА	CTROT
	BNE	VAI
	JMP	CMPARI
VAI	ASLB	A CONTRACTOR OF THE CONTRACTOR
	INC	CTROT
	BCS	TEST
	ĪNC	CTINA
	LDAA	#SØ1
	COMPA	CTROT
ė	BEQ	SALTØ
	LDAA	⊭SØ2
	СМРА	CTROT
	BEQ	SALT1
· ·	LDAA	# SØ3
	СМРА	CTROT
	BEQ .	SALT2
	LDAA	# SØ4
	СМРА	CTROT
	BEQ	SALT3

ADRESS	0	P. CODE
F748	7F	ØØ5C
	7 F	ØØ48
	96	5Ø
	94	46
	97	4 F
	D6	46
	86	Ø8 .
	91	4 C
	26	Ø3
	7E.	F8DØ
F75F	58	
	7 C	ØØ4C
	25	F1
	7 C	ØØ48
	86	Ø1
	91	4 C
	27	27
`	86	Ø2
	91	4 C
	27	3Ø
	86	Ø3
	91	4 C
	27	39
	86	Ø4
	91	4 C
	27	4.4

LABEL	MNEM.	OPERANDO
	LDAA	∦SØ5
·	СМРА	CTROT
	BEQ	SALT4
	LDAA	# SØ6
	СМРА	CTROT
	вео	SALT5
	LDAA	#SØ7
	СМРА	CTROT
	BEQ	SALT6
	JMP	CALCP7
SALTØ	CLR	GPRX
	LDAA	GPAD
	ASLA	
	BCC	CALCO
	LDAA	#S8Ø
	STAA	GPRX
CALCO	JMP	CALCPØ
SALT1	LDAA	GDAD
	ASLA	
	ASLA	
	всс	CALC1
	LDAA	#S4Ø
	ORAA	GPRX
	STAA	GPRX
CALC1	JMP	CALCP1
SALT2	LDAΛ	GDAD

ADRESS		O P. CODE		
F78Ø		86	Ø5	
	a de la compansión de l	91	4 C	
		2 7	4 F	
		86	ø6	
		91	4 C	
		27	5B	
		86	Ø7	
		91	4 C	
F79Ø	-	27	68	
		BD	F8B7	
F795		7 F	ØØ5B	
		96	5Ø	
		48		
		24	Ø4	
		86	8Ø	
		97	5B	
F7A1		7E	F824	
F7A4		96	50	
		48	,	
		48		
		27	Ø6	
	وجود عربيداهم	86	4 Ø	
		9 A	5 B	
	A STATE OF S	97	5 B	
F7BØ	L. Salarate Car.	7E	F836	
F7B3.	Lineanand	96	5Ø	

LABEL	MNEM.	OPERANDO
	ASLA	
	ASLA	And the state of t
	ASLA	and the second s
	ВСС	CALC2
,	LDAA	#S2Ø
	MOP	
	ORAA	GPRX
	STAA	GPRX
. CALC2	ЈМР	CALCP2
SALT3	LDAA	GDAD
	ASLA	
	ASLA	
*	ASLA	
	ASLA	
	ВСС	CALC3
-	LDAA	⊭S1Ø
	ORAA	GPRX
	STAA	GPRX
CALC3	JMP	CALCP3
SALT4	LDAA	GDAD
*	ASLA	
	ВСС	CALC4

ADRESS	0	P. CODE
F7B5	48	
	48	
	48	
	24	Ø7
	86	2Ø
	Ø1	
	9A	5B
	97	5 B
F7C1	7E	F849
F7C4	96	5Ø
	48	
	48	
	48	
	48	
	24	Ø6
	86	1Ø
	9A	5B
	97	5B
F7D2	7E	F85D
F7D5	96	5Ø
	48	
	48	
	48	
	48	
	48	
	24	Ø6

LABEL	MNEM.	OPERANDO
	LDAA	#SØ8
	ORAA	GPRX
	STAA	GPRX
CALC4	JMP	CALCP4
SALT5	LDAA	GDAD
	ASLA	
	ВСС	CALC5
	LDAA	#SØ4
	ORAA	GPRX
	STAA	GPRX
CALC5	JMP	CALCP5
SALT6	LDAA	GDAD
	ASLA	
	ASLA ·	
	ASLA	
an antonomorphism - <del>articular gin</del> fran en fragencia (son men) abbelles anton	ВСС	CALC6
COMMUNICIPAL SERVICES OF FEMALES SERVICES SERVICES OF FEMALES.	LDAA	#SØ2

ADRESS	O P. CODE
F7DE	86 68
no company of the second	9A 5B
	97 5B
F7E4	7E F872
A CONTRACTOR OF THE PARTY OF TH	96 5Ø
	48
	48
	48
	48
	48
narios sources.	48
	24 97
	86 Ø4
	9A 5B
The concession	97 5B
F7F7	7E F888
appropriate tra	96 5Ø
	48
	48
	48
	48
	48
	48
	48
	24 Ø7
	86 Ø2

LABEL	MNEM.	OPERANDO
	ORAA	GPRX
6 1	STAA	GPRX
CALC6	JMP	CALCP6
SALT7	LDAA	GDAD
	ASLA	
	ВСС	CALC7
	LDAA	#SØ1
	ORAA	GPRX
	STAA	GPRX
CALC7	JMP	CALCP7
CALCPO	LDAA	⊭W <sub>ô</sub>
	AMDA	GVj
	STAA	GXi
	JSR	CALPAR
	LDAA	GPi
	ORAA ·	GPCAL
	STAA	GPCAL
And the second s	JMP	TEST
CALCP1	LDAA	#W1

ADRESS	0 P. 0	ODE
	9A 5	В
	97 5	В
F8ØC	7E F	89F
F8ØF	96 5	ø.
	48	
	48	
	48	
	48	
	48	
	48	
	48	
	48	
	24 Ø	6
	86 Ø	1
	9A 5	В
	9,7 5	В
F821	7E F	8B7
F824	86 F	F
	94 4	F
	97 5	1
	BD F	48E
	96 5	2
	9A 5	С
	97 5	C
	BD I	756
F836.	86 A	ιA

LABEL	MNEM.	OPERANDO
	AMDA	GV <sub>j</sub>
	STAA	GXi
	JSR	CALPAR
	LDAA	GPi
	LSRA	
	ORAA	GPCAL
	STAA	GPCAL
and a second	JMP	TEST
. CALCP2	LDAA	# W <sub>2</sub>
STATE OF THE PARTY	AMDA	GV <sub>i</sub>
	STAA	GXi
	JSR	CALPAR
	LDAA	GPi
	LSRA	
	LSRA	
	ORAA	GPCAL
	STAA	GPCAL
	JMP	TEST
CALCP3	LDAA	# W 3
	ANDA	GVj
- 1 •	STAA	GXi
	JSR	CALPAR
	LDAA	GPi
	LSRA	
	LRSA	A CONTRACTOR AND A CONT
	LRSA	

ADRESS	O P. CODE
F838	94 4F
	97 51
	BD F48E
	96 52
od can varie do	44
	9A 5C
	97 5C
	BD F756
F849	86 CC
	94 4F
	97 51
	BD F48E
	96 52
	44
	44
	9A 5C
	97 5C
Case Stranger	7E F756
	86 99
	94 4F
	97 51
	BD F48E
	96 52
	44
	44
F86A	44

LABEL	MNEM.	OPERANDO
	ORAA	GPCAL
	STAA	GPCAL
	JMP	TEST
CALCP4	LDAA	#W4
	ANDA	GV j
	STAA	GXi
•	JSR	CALPAR
	LDAA	GPi
	LSRA	
	ORAA	GPCAL
	STAA	GPCAL
	JMP	TEST
CALP5	LDAA	#W <sub>5</sub>
	ANDA	GVj
	STAA	GXi
	JSR	CALPAR
	LDAA	GPi
	LSRA	
Consequence of the second seco	ORAA	GPCAL

ADRESS	O P. CODE	
F86B	9A 5C	Section Contraction
.	97 5C	
	7E F756	The state of the s
F872	86 FØ	Contractor action
	94 4F	SEASON CONTRACTOR
	97 51	COSCONESCONO
· Line	BD F48E	Witness Contraction
	96 52	CHACK POLICES
	44	Course and Appropriate
	44	Proposition of the
÷	44	Carocacoca and
	44	Separation of the Same
	9A 5C	CONCENSION NO.
	97 5C	STOWN CONTRACTOR
	BD F756	ALCOHOLOGICA CONTRACTOR
	86 A5	Secretary Secretary
-	94 4F	
	97 51	
	BD F48E	
	96 52	
	44	
	44	
	44	
	44	16.7
	44	
	9A 5C	

LUPRING THE STATE OF THE PROPERTY OF THE PROPE	<b>ENTERNATION AND PROPERTY OF THE PROPERTY OF T</b>	galanterandum production of the second
LABEL	MNEM.	OPERANDO
	STAA	GPCAL
	JMP	TEST
CALCR6	LDAA	#W <sub>6</sub>
	ANDA	GVj
	STAA	GXi
	JSR	CALPAR
	LDAA	GPi
	LSRA	
	LSRA	
and the same of th	LSRA	
	ORAA	GPCAL
	STAA	GPCAL
,	JMP	TEST
CALCP7	LDAA	#₩ <sub>7</sub>
	ANDA	GV j
	STAA	$\mathrm{GX}_{\mathtt{i}}$
	JSR	CALPAR
	LDAA	GPi
	LSRA	

ADRESS	0	P. CODE
F89A	97	5C
·	7E	F756
F89F	86	C3
	94	4 F
	97	51
	BD	F48E
	96	52
	44	
	44	
	44	
	44	
	44	
	44	
	9A	5 C
The state of the s	97	5 C
	7E	F756
F8B3	86	96
•	94	4 F
	97	51
	BD	F48E
	96	52
	44	
	44	
	44	
	44	
F. C. C.	44	

LABEL	MNEM.	OPERANDO
Transfer and A. Ary	LSRA	
	LSRA	
	ORAA	GPCAL
To deposit or an analysis of the second or analysis of the second or analysis of the second or analysis	STAA	GPCAL
and the second s	JMP	TEST
CMPAR1	LDAA	GPCAL
	СМРА	GPRX
and the same of th	BNE	VRFREC
	JSR	ESCBFR
	JSR	CTDARX
	JMP	CRiS
VRFREC	LDAA	RECA
	BEQ	VRFINA
ARQ	JSR	PEDARQ
	JMP	ESPERA
VRFINA	LDAA	#SØ4
	СМРА	CTINA
	BGT	ARQ
	CLR	GSND
	LDAA	GPRX
	EORA	GPCAL
	STAA	GSND
	ASLA ·	
	ВСС	ARQ
	CLR	СТСМР
	CLR	CTROT

ADRESS	OF	CODE
F8C7	44	
Acquaica as as a	44	
A CONTRACTOR OF THE PARTY OF TH	9A	5C
appe Conc. (Sino ap	97	5 C '
The second second	7E	F756
Control of the Contro	96	5C
	91	5B
	26	Ø9
	BD	F9A7
	ВĎ	F725
to an or and	7E	FSA4
	96	5E
	27	Ø6
	BD	F9F4
	7E	FA7Ø
	8,6	Ø4
	91	48
	2E	F4
	7F	ØØ5D
	96	5 B
	98	5 C
	97	5 D
	48	CONTRACTOR OF THE STREET, STRE
	24	E8
A THE STATE OF THE	7 F	ØØ6Ø
	7F.	ØØ4C

LABEL	MNEM.	OPERANDO
THE CONTRACT OF THE CONTRACT O	LDAA	USATV
	COMA	
	STAA	GATV
	STX	TEMP
	LDX	ENDW1
COMPAR	LDAA	∦SØ7
	COMPA	СТСМР
	BEQ	ARQ
	LDAA	0,X
	ANDA	GATV
	IMC	СТСМР
	IMX	
	СМРА	GSND
	BNE	COMPAR
	LDAA	GDADO
	CLR	CTROT
	LDX	TEMP
REPET	ASLA	
	INC	CTROT
	LDAB	СТСМР
,	СМРВ	CTROT
	BNE	REPEAT
	ЈМР .	AVALIA
ZERO	CLR	CTROT
Charles D	LDAA	#S7F
VOLTA	LDAB	CTCMP

ADRESS	0	O P. CODE	
	96	46	
	43		
	97	5F	
	DF	59'	
	CE	F976	
F9ØB	86	Ø7	
	91	6Ø .	
	27	D2	
	A6	ØØ	
	94	5 F	
	7C	ØØ6Ø	
	Ø8		
	91	5D .	
	26	EE	
	96	5Ø	
	7.F	ØØ4C	
	DE	59	
F924	48		
	7.0	ØØ4C	
	D6	6Ø	
	D1	4 C	
	26	F6	
	7 E	F96E	
F931	71	ØØ4C	
	86	7 F	
	D6	6Ø	

LABEL	MNEM.	OPERANDO
MARKET TO THE PARTY OF THE PART	СМРВ	CTROT
	BEQ	COLOÓ
	SEC.	
	RORA	,
and the state of t	INC	CTROT
O CONTRACTOR OF THE CONTRACTOR	BRA	VOLTA
COLOQ	ANDA	GDAD
The state of the s	STAA	GDAD
	INC	RECA
and the second s	INC	CTFEC
operation and the second	JMP	RECALC
UM	CLR	CTROT
	LDAA	⊭S8Ø
	LDAB	CTCMP
	СМРВ	CTROT
	BEQ	COLUM
	LSRA	
	INC	CTROT
	BRA	VERIF
COLUM	ORAA	GDAD
*	STAA	GDAD .
	INC	REC
	INC	CTFEC
	JMP	RECAL
AVALIA	ANDA	#S8Ø
AND THE SECOND S	BITA	#S8Ø

ADRESS	0	P. CODE
F938	D1	4 C
	27	Ø7
	ØD	
	46	,
	7C	ØØ4C
	2ø	F3
F94 <sup>-</sup> 3	94	5Ø -
	97	5Ø
The comment of the co	7C	ØØ5E
	7 C.	ØØ53
	7E	F745
	7F	ØØ4 C
	86	8Ø .
	D6	6Ø
	D1	4 C
	27	Ø6
	44	
	7 C	ØØ4C
	2Ø	F4
FS61	9A	5Ø
	97	5Ø
	7C	ØØ5E
2	7C	ØØ53
	7E	F745
	84	8Ø
	85	8Ø

LABEL	MNEM.	OPERANDO
	BEQ	UM
	BRA	ZERO
TABB	AA .	
	CC	
	99	
	FØ	
	A5	
	С3	e de la companya de l
	96	
DETSIM	LDAA	#S4Ø
REP	BITA	USAST
	BEQ	REP
	JSR	TXCRLF
	LDAA	= S
	STAA	OUTSN
	JSR	TXSNLZ
	RTS	
TRXCHT	LDAA	OUTCH
	LDAB	#SØ1
VOLTA	ВІТВ	USRST
	BEQ	VOLTA
	STAA	USRTX
	RTS	

ADRESS	0	P. CODE
F972	27	DC
	2Ø	ВВ
F976		$w_1$
7		W <sub>2</sub> .
8		W <sub>3</sub>
9		W <sub>4</sub>
·A	Ne de absolute de la constante	W <sub>5</sub> .
. В	o really assume	W <sub>6</sub>
F97C	Charge (Tree cause)	W <sub>7</sub>
	E) Tourse Sange	
F97D	86	4 Ø
	В5	8ØØ1
	27	FB
	BD	F4ØD
	86	53
	97	41
	BD	F4ØØ
F98E	39	
F98F	96	4 A
	С6	Ø1
	F5	8ØØ1
	27	FB
	В7	8ØØØ
	39	
	Division and the second	

LABEL	MNEM.	OPERANDO	Average services	eceration and
ESCRDF	LDAA	OUTCH	Machiner (Triples (Triples)	
	STAA	0,X	Community of the Control of the Cont	COLORGO AND A
	IMX		CO-JUNEAU PROPERTY CO-JUNEAU PRO	
A PARTIE AND A PAR	CPX	#B32	(Managara) Managara	Andreas California
A CONTRACTOR OF THE CONTRACTOR	BNE	CONTN	A THE STATE OF THE	-
and the state of t	LDX	#B <sub>o</sub>	Commission Control According	The Control Mary Control
CONTN	RTS	The state of the s	in se montación de constantes	alian a sancial and
To desirable the second			Section of the sectio	
RTXCNT	LDAA	⊭ СОМО	Average Control (Control Control Contr	
The second second	STAA	OUTCH	of professional statements of	-
	JSR	TRXCHT	girinani manusuni sana	
ENDRTX	STX	TEMP	(per el chevarie conscionato)	
	LDAA	TEMP + 1		
To the second se	STAA	GEND	Account to the second	
	JSR	CDFCOM		
	LDAA	GEND		
	STAA	OUTCH		
	JSR	TRXCHT		and the same of th
	RTS			and another control
	100000000000000000000000000000000000000			
ESPCHT	LDAA	♯SØ2		
	BITA	USRST	- Commence of the Commence of	
	BEQ ·	ESPCHT	Section 1	- Participation of the Partici
	RTS		No. of the Control of	-
				and the second second
ESPACK	JSR	ESPCHT	the case of the ca	ic wolfast flash

Newson respect to the enterent making	3	POR SOURCE PROPERTY.	ALCOHOL WHEN MANY CHARLES AND COMPANY
ADRESS		0	P. CODE
F9B5		96	4 A
		Α7	ØØ
		Ø8	
		8C	øø2ø
		26	Ø3
		CE	ØØØØ
		39	
2			
	Control of the Contro	96	ØØ
	ALCOHOL: SALAMAN SALAMAN	97.	4 A
	ACTION AND AND AND AND AND AND AND AND AND AN	BD	F98F
	CONTRACTOR SECURITION OF	DF	59
	CONTRACTOR STATES	96	5A .
	AND DESCRIPTION OF THE PERSONS	97	44
	STATE OF THE PARTY	BD	F44D
	Sperifermental Color	96	44
	A COLUMN TO SERVICE SE	97	4 A
	CALL DICTOR STATE	BD	F98F
F9CC	San tant machine	39	
	- Contractor		
F9CD	of secure measure	86	Ø2
	THE REPORT OF THE PARTY OF THE	В5	8ØØ1
	A CONTRACTOR	27	F9
F9D4	oleranapeon.	39	
	advisorski/prose	and the second s	
F9D5	Scramoroma	BD .	F9CD

LABEL	WNEM.	OPERANDO
	LDAA	USARX
	LDAB	# MUDATV
	СВА	
	BEQ	OLE
	LDAB	#RPCOM
	СВА	
	BEQ	OLA
	JSR	RTXCNT
	BRA	ESPACK
OLE	LDAA	GATV
	STAA	USATV
	RTS	
OLA	JSR	TXATVI
	BRA	ESPACK
PEDARQ	INC	CTARQ
	LDAA	#CARQ
	STAA	OUTCH
	JSR	TRXCHT
	JSR	ENDRTX
- *0	RTS	
	Section and the section and th	
IDFCHT	CLR ·	FLAG
	JSR	ESPCHT
	LDAA	#S1Ø
	BITA	USRST

ADRESS		O P. CODE		
F9D8		В6	8ØØØ	
٠		С6	38	
		11		
1		27	ØA	
		С6	ØE	
		11		
٠		27	ØA .	
*		BD	F9B5	
		2Ø	ЕВ	
F9EA	To the same of the	96	4 5	
		97	46	
		39-		
F9EF		BD	F584	
F9F3	A STATE OF THE PARTY OF THE PAR	2Ø	E1	
		The state of the s		
F9F4	DECEMBER STORY	7C	ØØ54	
		86	9E	
		97	4A	
		BD	F98F	
دد	STREET SHAREST STREET	BD	F9BC	
FAØ1	(Actions)	39		
	CHINESENDON			
	(ACTION AND ACTION ACTION AND ACTION ACT	7 F	ØØ4B	
	SAN TOWNSTONE	Вр	F9CD	
	devonters see	86	1Ø	
	Sertonament	В5	8ØØ1	

O P. CODE

25

55

ØE

4 B

Ø5

E5

5Ø

4 B

Ø3

FAØ2

5Ø

F742

FAA1

4B

ØВ

37

F9B5

8ØØ1

FA7Ø

F9F4

F3

F742

ØØ4B

8000

LABEL	MNEM.	OPERANDO	Sparing and a sp	ADRESS	0
SETTIMENTALES	BNE	RTX		FAØD	26
Services and an artist of the services of the	LDAA	USARX	en a de la companya d	19	В6
The second of th	LDAB	# SINC	gi Chandre to muse		C6
and the state of	СВА		Çi de A Şidası Carası		11
- Chinadelino	BNE	IDF	e en constante de la constante		26
and the same of th	LDAB	FLAG	Percentage of the control of the con		С6
and planet and the	BNE	DADO			26
accision management	INC	FLAG	The second secon		7C
A CONTRACTOR OF THE PARTY OF TH	BRA	CHAT	Property of the Control of the Contr		2Ø
- Charles - Char	STAA	GDAD	Propose and the propose and th		97
	JMP	DCDADO	P. Control of the Con		7E
IDF	LDAB	FLAG	and the state of t	FA25	C6
	BEQ	RXDADO	The same of the sa		27
	JMP	IDFCNT	Commence of the commence of th		7E
RXDADO	STAA	GDAD			97
	JMP	DCDADO			7E
CRIS	JMP	COM			7E
RTX	LDAA	FLAG			96
	BEQ	RQDAD	Commence of the Commence of th		27
	JSR	RTXCNT			BD
CIMA	LDAA	# S37		3	86
	STAA	USRCOM			В7
	JMP	ESPERA	designation of the second of t		7E
RQDAD	JSR	PEDARQ	The state of the s		BD
	BRA	CIMA	And the state of t	FA46	2Ø

The TRACK BURNING STREET, STRE	distribution resources and the second					
LABEL	MNEM.	OPERANDO		ADRESS	0 P	CODE
TXCOM	LDAA	GCOM		FA48	96	49
	STAA	OUTCH			97	4 A
	CLI	,			OE	
	JSR	TRXCHT			BD	F98F
	RTS			FA5Ø	39	
	establish to the second	a rendered				
ATDIRQ	LDAA	GEND		FA51	96	17 .
	STAA	OUTCH		and observed the second	97	1C
	SEI				OF	
	JSR	TRXCHT	(**)		BD	F98F
	RTI			FA59	3В	
		and a second sec			J	
IDFCNT	LDAB	TXNORM			C6	EØ .
	СВА	Charles Comment			11	
And a second sec	BEQ	VAØ			27	1 C
	LDAB	# MUDATV			C6	38
	СВА				11	
	BEQ	VA1			27	1A
	LDAB	♯ RPCOM			. C6	ØE
	СВА				11	-
	BEQ	VA2			27	1B
	LDAB	# RPDAD			С6	91
	СВА			1945 A. Marin (1945)	11	
	JSR	RTCNT		CATALOG STATES	BD	F9B5
ESPERA	JSR	DETSIN	* *		BD	F97D
	LDAA	#S37			86	37

C DISTORNESS CONTRACTOR	AMERICAN MANAGEMENT PRINTED AND IN	FROM CHARGODING AND ADDRESS OF THE PARTY OF
LABEL	MNEM.	OPERANDO
The control of the co	STAA	USRCOM
	ЈМР	IDFCHT
VAØ	, JMP	LOOP
VA1	LDAA	GATV
N I	STAA	USATV
	BRA	VAØ
VA2	JSR	RTXCOM
	BRA	VAØ
it.		
PGCONT	CLR	GFEC
	CLR	GARQ
	LDX	#B <sub>o</sub>
	JSR	INICIO
	JSR	ENATVI
***************************************	JSR	ESPACK
	JSR	IMCONT
LOOP	JMP	IDFCHT
СОМ	JSR	EMTCOM
	BRA	LOOP
TAB1	М	
	U	
	X	
	A	
	D	

ADRESS		0 1	P. CODE
THE PERSON NAMED IN COLUMN TWO IS NOT THE OWNER.		Numria mentimentaria	-
FA75		В7	8ØØ1
		7E	FAØ2
FA7B	Same of the same	7E	FA9E
FA7E	изменентомо уживую	96	45'
	701 December	97	46
=======================================	er dan erzegen ander	2Ø	F7
	The same of the sa	BD	FA48
FA87	den sammer den	2Ø	F2
	and the same of the same of		
FA89	Name of the last o	7 F	ØØ53
	Name of the last	7F	ØØ54
	Contraction of the Contraction o	CE	ØØØØ
	THE REPORT OF THE PARTY.	BD	FAAA
10 12 1	and	B.D.	^F4F2
	and the same of th	BD	F9D5
-	September 1997	BD	F739
FA9E	Andrews IV. or Handard	7E	FAØ2
FAA1	ALTERNATION OF THE PARTY OF THE	BD	F614
FAA4	NAC STREET, SALES	2ø	
	TO STATE OF THE ST	Control of the second	
	NEED TO A STREET, STRE	4 D	я
	THE STREET, SPACE	55	
	and the second	58	
	CONTRACTOR OF THE PERSON	2E	
	Constitution of the Consti	41	
	A STREET PROPERTY	44	

LABEL	MNEM.	OPERANDO		ADRESS	O P. CODE
	A A	- Landa Contract Cont		FBE5	41
·	Р				5Ø
					2E
	/ designation	· ·			2F
Chinese	C				43
	Е				45
	N	The state of the s			4E
	Т			•	54
	R				52
The state of the s	0				4 F
ENFM		The second secon		FBFF	
	Stage Could				
			,		
	COMMITTEE OF THE PARTY OF THE P				
	and the first state of the stat				
	The state of the s				
-					
VIII.	- Andrews				
- VANDA	Table (Street			ACTUAL STREET	
	- Acceptance of the Control of the C		٠.		
		- Commission of the Commission		Date and make the United States and Control	Considerate consideration con makes we assume a reconstruction